

FREDERICO LEONI FRANCO KAWANO
ROGÉRIO EDUARDO SILVA SANTANA

8,9 mil e quatro
HOM

SISTEMA PARA LOCALIZAÇÃO ACÚSTICA

Dissertação apresentada à Escola Politécnica
da Universidade de São Paulo para a
obtenção de graduação em Engenharia
Mecânica.

Área de Concentração:
Engenharia Mecatrônica

Orientador:
Professor Doutor Celso Massatoshi Furukawa

SÃO PAULO
2001

Agradecimentos

À Escola Politécnica da Universidade de São Paulo, que durante cinco anos nos acolheu e preparou para nossa futura vida profissional, e também por ter cedido equipamentos para que este trabalho pudesse ser concluído.

Ao Professor Celso Furukawa, que nos orientou durante todo este ano de trabalho.

Ao aluno de mestrado Frederico Vines Faria de Lima, por todo apoio, colaboração e por sua presença nos momentos difíceis deste trabalho, que não foram poucos.

Ao nosso amigo Antônio Fernando Maiorquim por ceder sua sala, equipamentos e conhecimento para que o nosso protótipo pudesse ser construído e funcionasse.

Aos nossos companheiros e amigos de classe, que nos apoiaram, incentivaram e principalmente, reconheceram nosso trabalho, principalmente aos amigos, Celso Ramos de Sousa, Daniel Olioni Anderson, Eduardo Paissanot, Leonardo Lopes Carnellos e Rodrigo de Deus Reinaldo, que nos emprestaram alguns equipamentos e valorizaram o funcionamento do nosso protótipo.

Por fim, às nossas famílias que nunca deixaram de nos incentivar e apoiar e a Deus que nos deu saúde para poder terminar este longo caminho.

Índice

1. Introdução	01
2. Sistema de Localização	02
3. Estudo de Acústica	05
4. Estudo Transdutores	06
4.1. Materiais Piezelétricos	06
4.2. Transdutores	08
4.3. Construção de transdutores	12
4.4. Circuito Equivalente dos transdutores	17
5. Estudo do Microcontrolador PIC	23
5.1. Arquitetura	23
5.2. Estruturação Interna	23
5.3. Periféricos	24
5.4. Memórias do PIC	26
5.4.1. Memória de Programa	26
5.4.2. Memória de Dados	27
5.5. Programação	28
6. Circuito de Emissão	29
7. Acionamento do Transdutor	31
7.1 Cálculo do número de espiras para o veículo móvel	32
7.2. Cálculo do número de espiras para o alvo fixo	34
8. Circuito de Recepção	36
8.1 Esquema Geral	36
8.2 Diodos	37
8.3 Amplificador	37
8.4 Filtro Passa Baixa	39
8.5 Tratamento do sinal	44
8.5.1 Tratamento Analógico (Detector de Limiar)	44
8.5.2 Tratamento Digital (Conversor A/D)	46
9. Softwares Desenvolvidos	51
9.1. Programação do PIC	51

9.1.1 Programação da unidade móvel com tratamento analógico	51
9.1.2 Programação da unidade fixa com tratamento analógico	53
9.1.3 Programação da unidade móvel com tratamento digital	53
9.2. Programação do PC	55
9.2.1 Programação do PC para tratamento analógico	55
9.2.2 Programação do PC para tratamento digital	56
10. Algoritmo da Correlação	58
10.1. Transformada de Fourier para Amostragens Discretas	58
10.2. A Transformada Rápida de Fourier (FFT)	59
10.3. Correlação Usando FFT	60
10.4. Programa Implementado	61
11. Testes Realizados	62
11.1. Testes os Circuitos de Recepção	62
11.2. Testes do tratamento digital	66
11.3. Testes do tratamento analógico	74
12. Conclusões	77
 Anexo A – Projeto do circuito do veículo móvel com tratamento analógico de sinais	79
 Anexo B – Projeto do circuito do veículo móvel com tratamento digital de sinais	80
B.1. Placa Digitalizadora	80
B.2. Controle da Placa Digitalizadora	81
B.3. Circuito do Veículo Móvel Com Tratamento Digital de Sinais	82
 Anexo C - Projeto do circuito do alvo fixo	83
 Anexo D – Listagem do programa do PIC para o veículo móvel com tratamento digital de sinais	84

Anexo E – Listagem do programa do PIC da unidade móvel para tratamento analógico de sinais	97
Anexo F – Programa do PIC para a unidade fixa	110
Anexo G – Programa de interface com o PIC – Unidade de Comando (PC), para o tratamento analógico de sinal	113
Anexo H – Programa de interface com o PIC – Unidade de Comando (PC), para o tratamento digital de sinais	120
Anexo I – Programa de correlação de sinais utilizando a Transformada Rápida de Fourier (FFT)	129
Referências Bibliográficas	131

1. Introdução

O projeto consiste na implementação de um sistema de medição de distância, de um veículo móvel em relação a objeto fixo (chamado de alvo), ambos imersos no mar. Esta medição é feita através da cronometragem do tempo entre a emissão de um sinal acústico pelo veículo móvel e a recepção pelo mesmo de um sinal acústico de resposta emitido pelo alvo. Assim, conhecida a velocidade do som no mar, pode-se calcular a distância entre o veículo móvel e o alvo.

Este sistema a ser implementado tem por finalidade ser um sensor para realizar o controle de posicionamento de um veículo submarino autônomo. Para que se possa realizar este controle de posicionamento, é necessário a existência de três sensores de distância localizados em pontos distintos do veículo móvel. Assim, com a leitura dos três sensores o controlador determina a posição exata do alvo em relação ao veículo móvel.

O esquema geral do projeto está na figura a seguir:

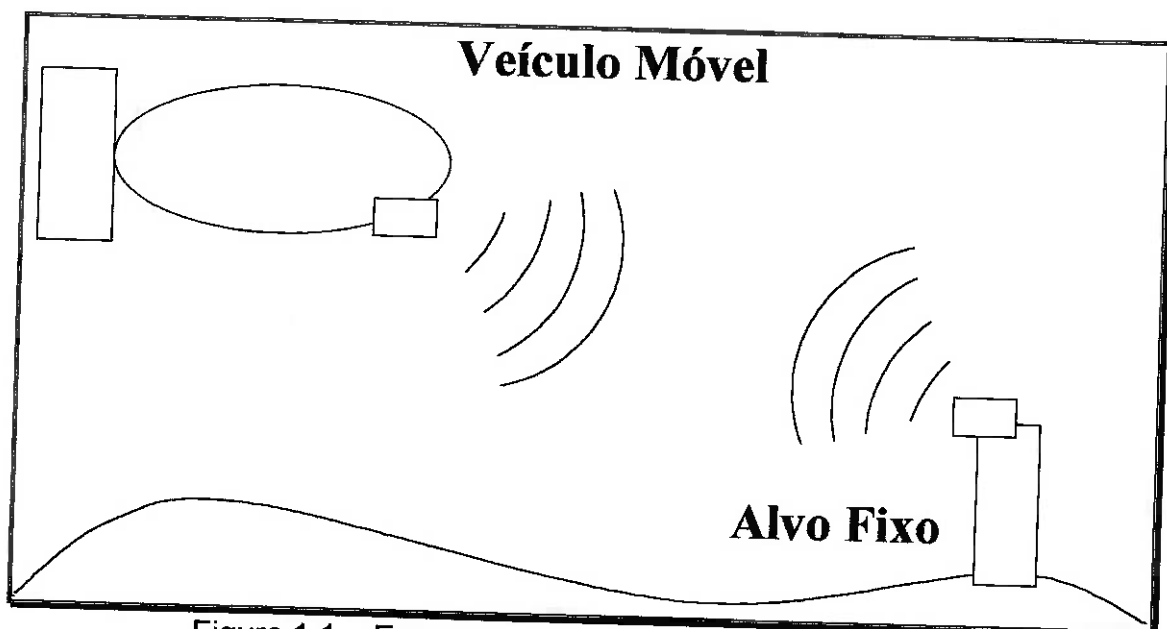


Figura 1.1 – Esquema do projeto a ser implementado

2. Sistema de Medição

O projeto consiste em cronometrar o tempo entre a emissão de uma onda pelo veículo móvel e a recepção por este mesmo dispositivo de uma resposta do veículo fixo, que por sua vez só emite esta resposta assim que excitado pela emissão do veículo móvel. Assim sendo, para que se possa realizar uma boa medição, sem interferência de eventuais ecos, que possam provocar cronometragens equivocadas, cada unidade emite sinais em freqüências distintas, sendo 150 kHz para o veículo móvel e 170 kHz para o alvo fixo.

Para realizar a emissão e recepção de ondas acústicas serão utilizados transdutores piezelétricos, que são capazes de converter uma excitação elétrica em uma onda ou uma excitação mecânica (produzida por uma onda) em diferença de potencial elétrico nos terminais do transdutor.

A fim de produzir a excitação elétrica necessária para a emissão da onda pelo transdutor será implementado um circuito elétrico, bem como um circuito para receber a tensão potencial produzida pelo transdutor. O esquema destes circuitos está ilustrado na figura 2.1.

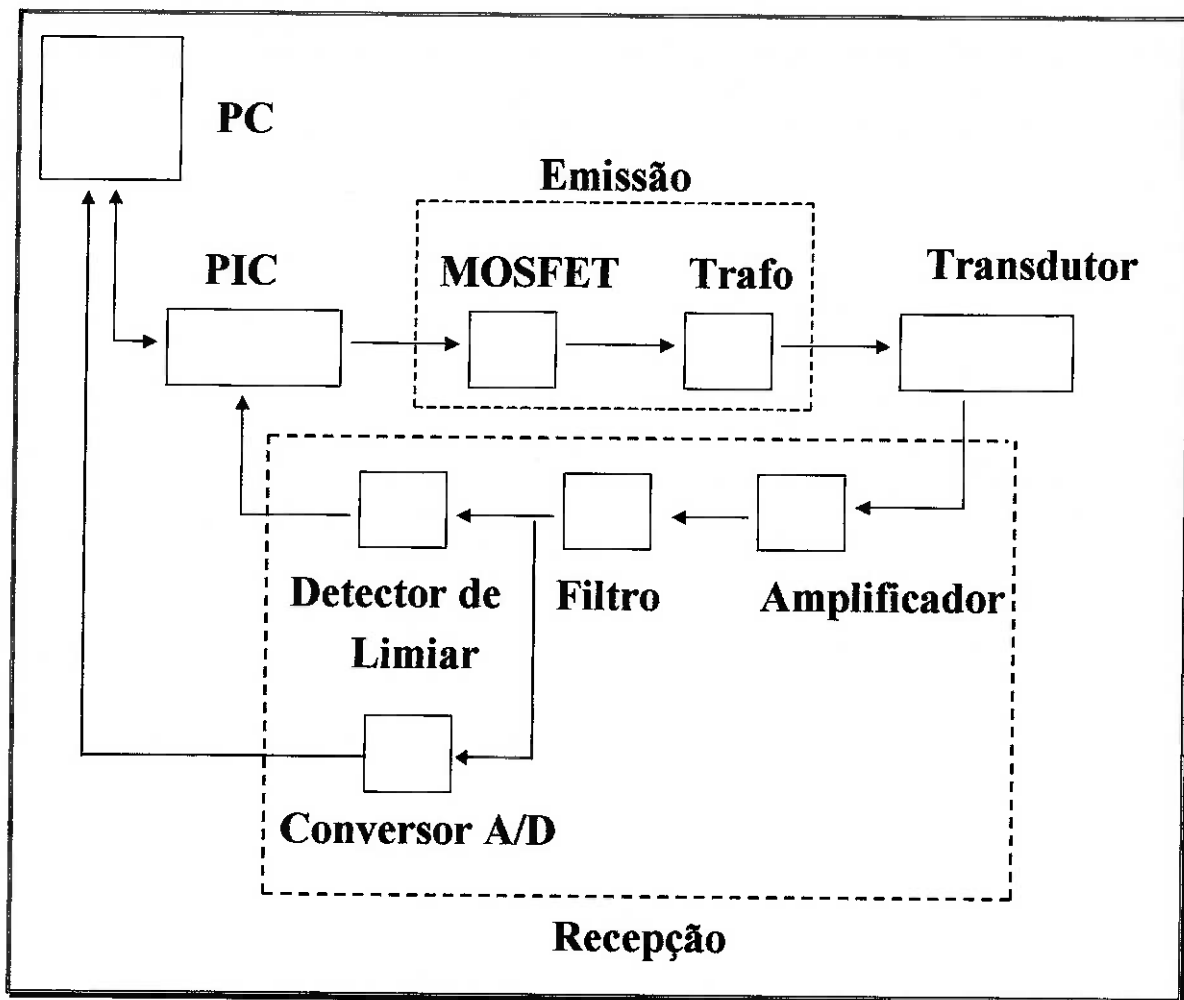


Figura 2.1. – Esquema do circuito do projeto

O circuito de emissão, consiste em uma fonte de tensão, um gerador de pulsos, um dispositivo capaz de chavear a fonte de tensão a partir dos pulsos emitidos pelo gerador e finalmente um transformador capaz de adequar a tensão fornecida com a tensão admissível no transdutor. Convém explicar que cada circuito de emissão, tanto do veículo móvel como o veículo fixo, possuem seus respectivos geradores de pulsos que possibilitam que estes emitam sinais em freqüências distintas.

Já o circuito de recepção consiste num amplificador para que o sinal (tensão) produzido pelo transdutor seja amplificado, um filtro para se eliminar o ruído de alta freqüência e, finalmente, para tratar o sinal, o circuito pode realizá-lo de duas formas: uma através de um dispositivo analógico, que nada mais é que um detector de limiar, cuja função é informar a chegada do sinal de

resposta. E a outra maneira, através de um conversor A/D, que digitalizará a onda de saída do filtro, para que esta seja analisada por software.

No veículo móvel será utilizado um microcontrolador PIC, que no caso de uma recepção analógica tem a função de produzir os pulsos, cronometrar o tempo entre a emissão do mesmo e a recepção da resposta do veículo fixo, diferenciando esta resposta de ecos da sua própria emissão, e posterior realização do cálculo da distância e envio deste valor para o PC. Já para o caso de tratamento de sinal digital, será utilizado um mesmo controlador PIC, porém com a função de gerar os pulsos para a emissão, habilitar a leitura do sinal digitalizado pela placa A/D e manter a comunicação entre este veículo e um PC que seria o seu controlador central.

No alvo, também será utilizado um microcontrolador PIC a fim de emitir uma onda de resposta, segundo uma freqüência desejada (170 KHz), a partir do recebimento da onda emitida pelo veículo móvel, e como no sistema analógico do veículo móvel, diferenciando este sinal esperado de eventuais ecos que possam ser detectados. Convém mencionar que o circuito do alvo fixo é idêntico ao circuito da unidade móvel com tratamento analógico, porém sem possuir uma comunicação com o PC.

3. Estudo de Acústica

Para conhecer o comportamento de ondas acústicas no mar, foi realizado um estudo sobre acústica, baseado na referência [2].

Para calcular a distância entre o veículo móvel e o alvo, cronometrando o tempo entre a missão e a recepção de um onda, foi admitido que a onda possui uma velocidade constante durante todo o percurso. Através do estudo realizado, verificou-se que a velocidade da onda no mar depende apenas da pressão, temperatura e salinidade do meio. Considerando que a área de atuação do veículo móvel é pequena, de modo que a variação destes fatores pode ser desconsiderada, assumi-se que a velocidade da onda é constante em todo o percurso da mesma, o que valida o método de cálculo da distância empregado.

A existência de perdas na intensidade acústica durante sua propagação no mar, foi outro fator estudado, afim de estimar a intensidade acústica da onda emitida necessária para que o transdutor de recepção possa detectá-la. Verificou-se então que o coeficiente de absorção de intensidade acústica por unidade de distância percorrida depende das condições do meio e da freqüência da onda, sendo que quanto maior a freqüência da onda, maior será o coeficiente de absorção.

4. Estudo de Transdutores

Os estudos para este capítulo foram baseados na referência [1].

4.1. Materiais Piezelétricos

Materiais Piezelétricos são aqueles que tem a propriedade de se deformarem a partir de um campo elétrico aplicado, mudando assim suas dimensões; e de produzirem um diferença de potencial a partir de uma deformação provocada.

A variação do momento do dipolo por unidade (P) de volume é:

$$\Delta P = P \cdot S = e \cdot S \quad (1)$$

Onde, 'e' é chamado de constante de tensão piezelétrica e S é a deformação do material do piezelétrico na direção do campo elétrico, que foi adotada em z.

O deslocamento elétrico por unidade de área, devido ao campo elétrico aplicado, é dado pela seguinte expressão:

$$D = \epsilon^s \cdot E + \Delta P \quad (2)$$

onde ϵ^s é a constante dielétrica para deformação nula ou constante e E é o campo elétrico aplicado.

A tensão interna resultante, devido ao campo elétrico é dada por:

$$T_E = e \cdot E \quad (3)$$

A tensão total é dada por:

$$T + T_E \quad (4)$$

onde T é a tensão aplicada externamente ao material piezelétrico. Pela lei de Hooke:

$$T + T_E = c^E \cdot S \quad (5)$$

onde c^E é a constante elástica na presença de um campo elétrico constante (E).

Os principais materiais piezelétricos são os material ferroelétricos, como as cerâmicas PZT e alguns cristais. Alguns materiais não ferroelétricos, como o quartzo, podem ser piezelétricos, porém, possuem uma constante de tensão piezelétrica (e) baixa, em relação aos ferroelétricos.

Considerando um deslocamento elétrico nulo, pode-se obter uma nova constante de elasticidade (c^D) definida por:

$$c^D = c^E (1 + K^2) \quad (6)$$

onde

$$K^2 = \frac{e^2}{c^E \cdot \epsilon_s} \quad (7)$$

E a tensão externa para $D = 0$, fica:

$$T = c^E \left(1 + \frac{e^2}{c^E \cdot \epsilon_s} \right) \cdot S = c^D \cdot S \quad (8)$$

Considerando que a tensão externa (T) for nula obtém-se a constante dielétrica (ϵ^T), que vale:

$$\epsilon^T = \epsilon_s (1 + K^2) \quad (9)$$

e

$$D = \epsilon^T \cdot E \quad (10)$$

4.2. Transdutores

Os transdutores piezelétricos consistem num dispositivo que converte energia mecânica em elétrica, e vice-versa. Como visto anteriormente, o material piezelétrico se deforma ao aplicarmos um campo elétrico ao mesmo, assim utilizando uma fonte de tensão variável, o transdutor produziria uma onda mecânica. O oposto também é válido, produzindo uma diferença de potencial variável entre os terminais do transdutor.

Para que se melhore a potência transmitida do transdutor para o fluido costuma-se utilizar uma camada de “matching”, cuja a impedância acústica está entre a do material piezelétrico e a do meio, de modo que se atenua a diferença acústica entre estes materiais.

Para que se atenue a ressonância do material piezelétrico costuma-se utilizar uma camada de material de grande perda acústica na face do material piezelétrico que não está em contato com o meio fluido.

Considerando um transdutor uniforme com seção transversal de muitos comprimentos de onda e os eletrodos posicionados nas faces opostas do material piezelétrico e normais à direção z (figura 4.1), só haverá campo elétrico na direção z e ondas longitudinais nesta mesma direção.

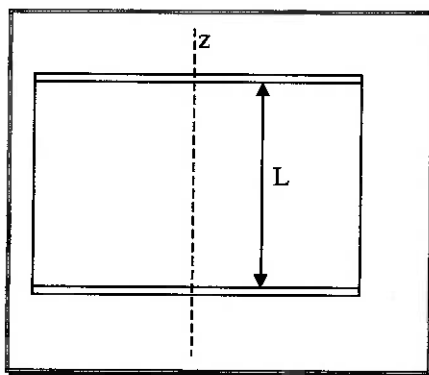


Figura 4.1. – Material piezelétrico e eletrodos

Se mostrar-se o transdutor como sendo uma caixa preta de uma porta elétrica e duas portas mecânicas, definido a força aplicada na superfície do transdutor e a voltagem do circuito elétrico, assim como a velocidade de partícula nesta mesma superfície e a corrente no mesmo circuito (figura 4.2).

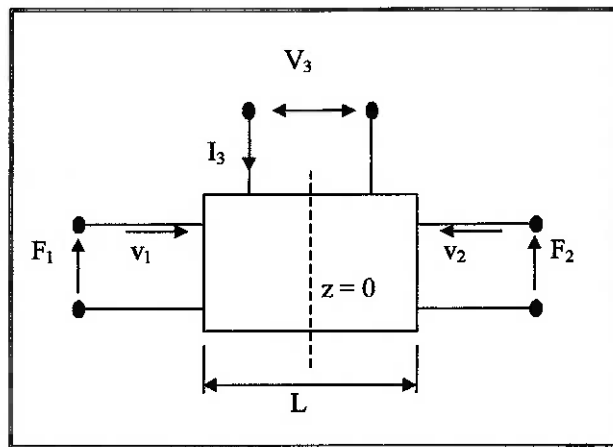


Figura 4.2. – Esquema do transdutor como caixa preta

Assim, as condições de contorno para as forças e as velocidades mostradas acima:

$$\begin{aligned}
 F_1 &= -AT\left(\frac{-L}{2}\right) \\
 F_2 &= -AT\left(\frac{L}{2}\right) \\
 v_1 &= v\left(\frac{-L}{2}\right) \\
 v_2 &= -v\left(\frac{L}{2}\right)
 \end{aligned} \tag{11}$$

Considerando um volume infinitesimal, as grandezas variam em z da seguinte forma:

$$\frac{dT}{dz} = \rho_{m0} \cdot v \quad (12)$$

$$\frac{dv}{dz} = S$$

Como as grandezas variam harmonicamente (proporcionais a $e^{j\omega t}$):

$$\frac{dT}{dz} = j \cdot \omega \cdot \rho_{m0} \cdot v; \quad (13)$$

$$\frac{dv}{dz} = j \cdot \omega \cdot S \quad (14)$$

e

$$I_3 = j \cdot \omega \cdot A \cdot D \quad (15)$$

onde ρ_{m0} é a densidade mássica do meio de propagação sem perturbação.

A voltagem do circuito é obtida por:

$$V_3 = \int_{-\frac{L}{2}}^{\frac{L}{2}} Edz \quad (16)$$

Escrevendo a equação da tensão externa em função de c^D e D , obtém-se:

$$T = c^D \cdot S - hD \quad (17)$$

onde

$$h = \frac{e}{\epsilon_s} \quad (18)$$

Utilizando as equações (13) e (15):

$$\frac{d^2v}{dz^2} + \frac{w^2 \cdot \rho_{m0} \cdot v}{c^D} = 0 \quad (19)$$

cuja solução é:

$$v = v_F \cdot e^{-j\bar{\beta}_a \cdot z} + v_B \cdot e^{j\bar{\beta}_a \cdot z} \quad (20)$$

e

$$T = T_F \cdot e^{-j\bar{\beta}_a \cdot z} + T_B \cdot e^{j\bar{\beta}_a \cdot z} - h \cdot D \quad (21)$$

onde os sub-índices F e B correspondem, respectivamente, as ondas se propagando no sentido positivo e negativo de z; e $\bar{\beta}_a$ é a constante de propagação para $D = 0$.

Definindo:

$$\begin{aligned} \bar{\beta}_a &= \omega \cdot \left(\frac{\rho_{m0}}{c^D} \right)^{\frac{1}{2}} \\ \bar{Z}_0 &= \left(\rho_{m0} \cdot c^D \right)^{\frac{1}{2}} \\ T_F &= -\bar{Z}_0 \cdot v_F \\ T_B &= \bar{Z}_0 \cdot v_B \end{aligned} \quad (22)$$

onde \bar{Z}_0 é a impedância acústica.

Usando as condições de contorno e a solução da equação diferencial anterior:

$$v = \frac{-v_2 \cdot \sin\left(\bar{\beta}_a \left(z + \frac{L}{2}\right)\right) + v_1 \cdot \sin\left(\bar{\beta}_a \left(\frac{L}{2} - z\right)\right)}{\sin \bar{\beta}_a \cdot L} \quad (23)$$

substituindo nas equações (11), (14) e (17) obtém-se a seguinte matriz:

$$\begin{bmatrix} F_1 \\ F_2 \\ V_3 \end{bmatrix} = -j \cdot \begin{bmatrix} Z_C \cdot \cot g(\bar{\beta}_a \cdot L) & Z_C \cdot \cosec(\bar{\beta}_a \cdot L) & \frac{h}{\omega} \\ Z_C \cdot \cosec(\bar{\beta}_a \cdot L) & Z_C \cdot \cot g(\bar{\beta}_a \cdot L) & \frac{h}{\omega} \\ \frac{h}{\omega} & \frac{h}{\omega} & \frac{1}{\omega \cdot C_0} \end{bmatrix} \cdot \begin{bmatrix} v_1 \\ v_2 \\ I_3 \end{bmatrix} \quad (22)$$

onde

$$C_0 = \frac{\varepsilon_2 \cdot A}{L} \quad (23)$$

e

$$Z_C = \bar{Z}_0 \cdot A \quad (24)$$

4.3. Construção de Transdutores

Para este projeto, foram construídos dois transdutores piezelétricos. O esquema de montagem e principais componentes dos dois transdutores construídos estão ilustrados na figura a seguir.

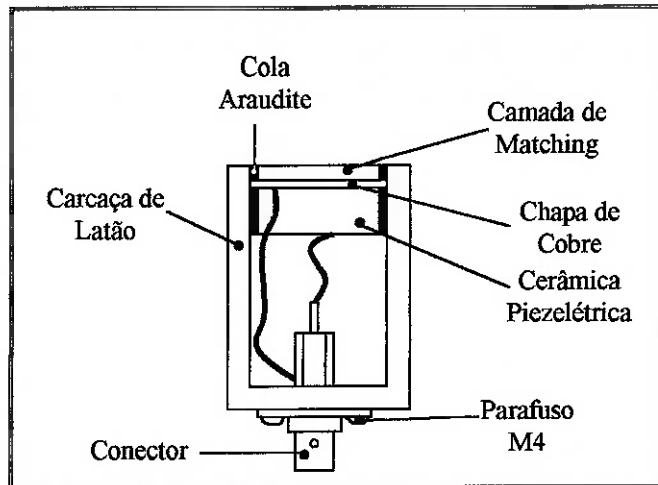


Figura 4.3. – Esquema de construção do transdutor 1

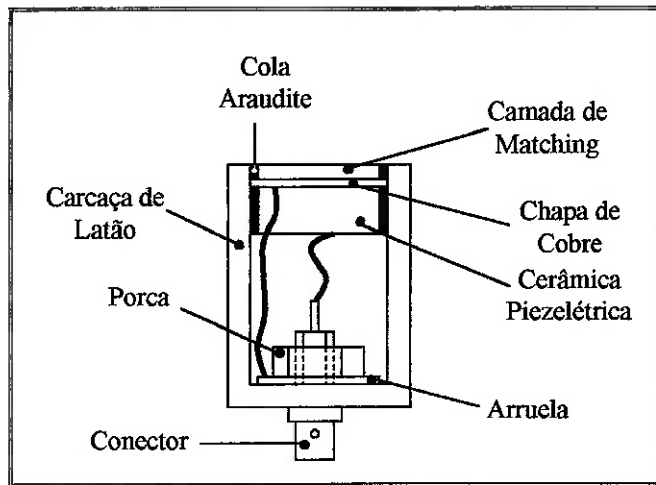


Figura 4.4. – Esquema de construção do transdutor 2

Sobre a construção destas peças é importante ressaltar que carcaça de latão é usinada, e serve como o “terra” do circuito, conectado por um fio soldado à placa de cobre, que serve como eletrodo para a cerâmica piezelétrica (como o discutido no item anterior). Após a usinagem da carcaça, foi feita a soldagem dos fios condutores no conector – cerâmica e terra – cobre, como mostram as figuras anteriores. Após completa esta etapa, a camada de matching, a placa de cobre e a cerâmica piezelétrica são fixadas entre si por uma cola condutora. Após feita esta colagem, o conector foi preso à carcaça, externamente ou internamente, como é o caso dos transdutores 1 e 2.

respectivamente. Enfim, o conjunto matching, cobre e cerâmica é colado na carcaça por uma cola epoxi (Araudite). Esta colagem é feita da seguinte maneira: é feita uma aplicação da cola na parte lateral do conjunto e após a isto, este é encaixado na abertura da carcaça, possibilitando a colagem. Após o encaixe o a carcaça é virada de modo que o conjunto colado fique em contato com um plástico, inerte a este tipo de cola, apoiado em uma mesa (por exemplo) para possibilitar que a cola seque de forma que o conjunto cerâmica, cobre e matching fiquem em uma posição correta em relação à carcaça.

Foram, então feitas medidas dos dois transdutores construídos, de modo se verificar a freqüência de ressonância dos mesmos. Assim, as curvas de impedância e fase para os dois transdutores foram respectivamente:

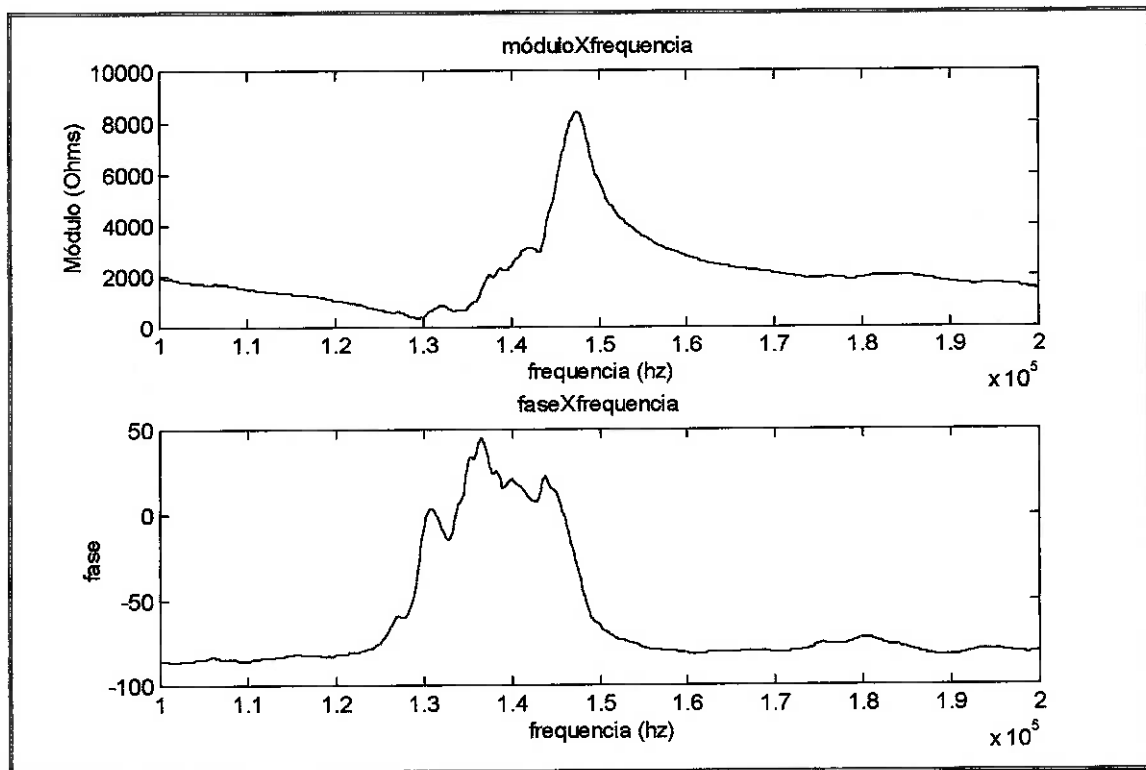


Figura 4.5 - Módulo e Fase do transdutor 1 em função da freqüência

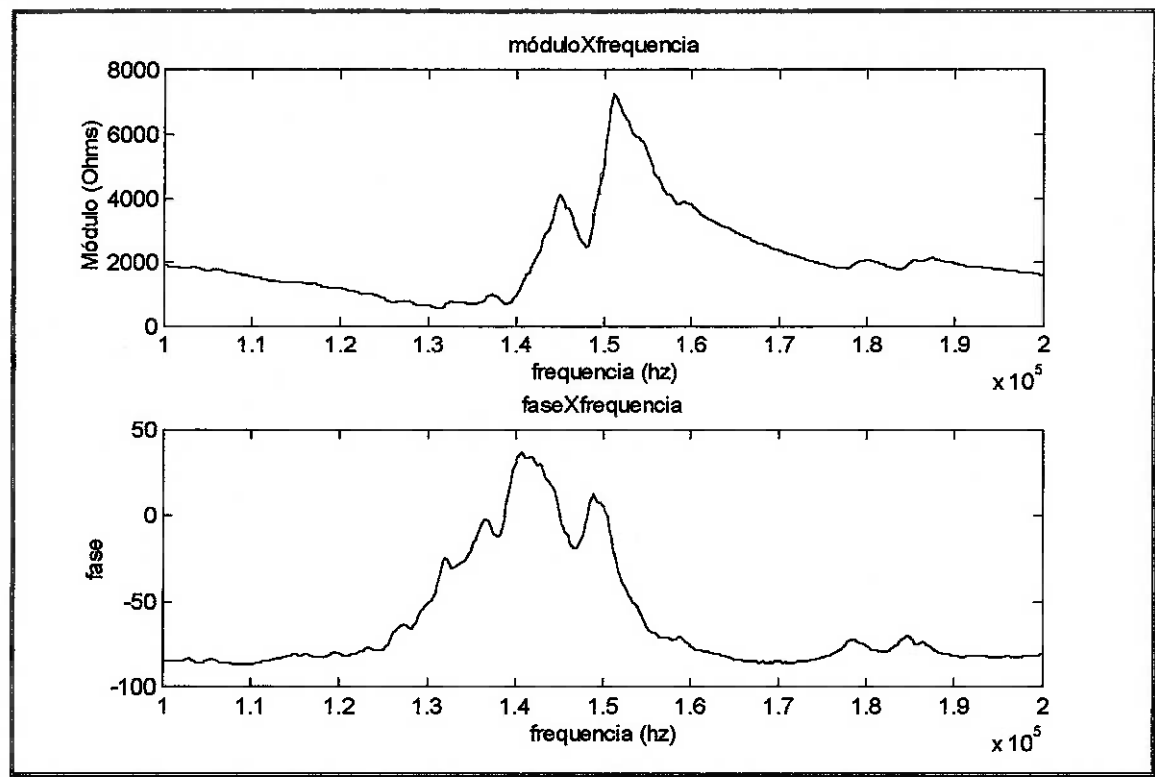


Figura 4.6. - Módulo e fase do transdutor2 em função da freqüência

Pode-se perceber que as curvas encontradas foram muito semelhantes. Verifica-se a ressonância próxima dos 150 kHz, como era de se esperar. Observa-se uma pequena diferença entre os módulos de impedância na ressonância para os dois transdutores, mas para este projeto esta diferença não tem magnitude considerável.

Também foram ensaiados os dois transdutores imersos na água. Assim as curvas foram:

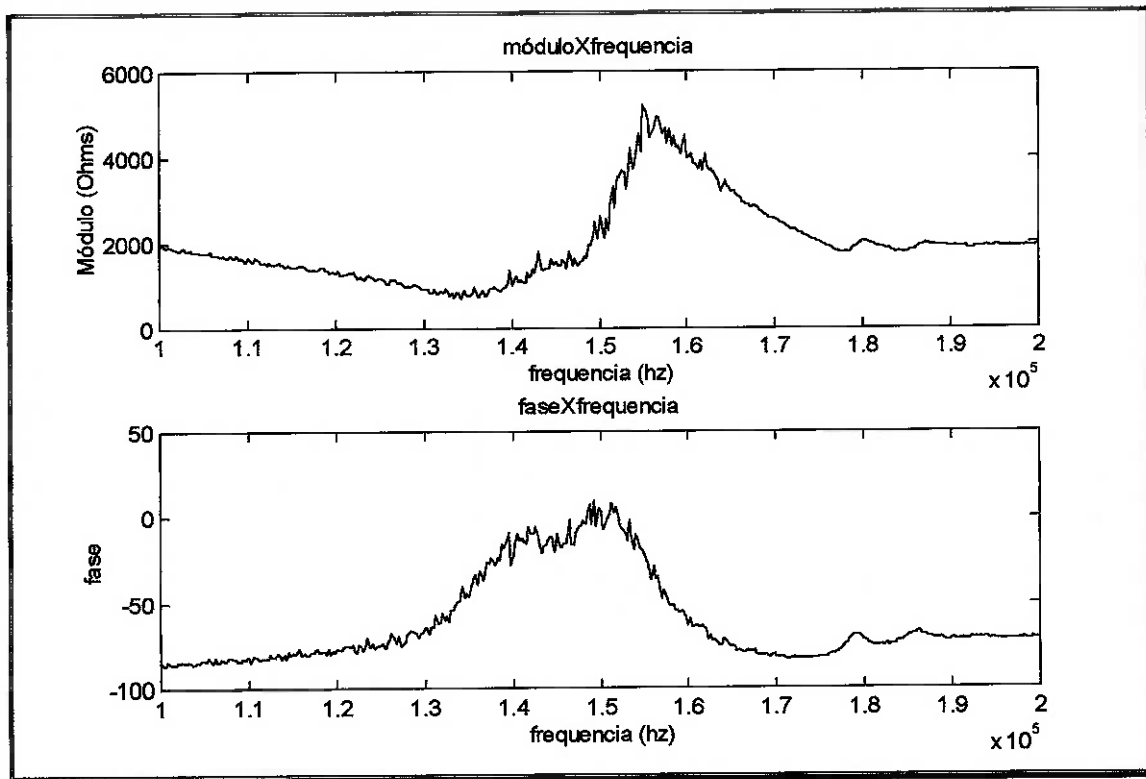


Figura 4.7. - Módulo e fase em função da freqüência do transdutor 1 imerso

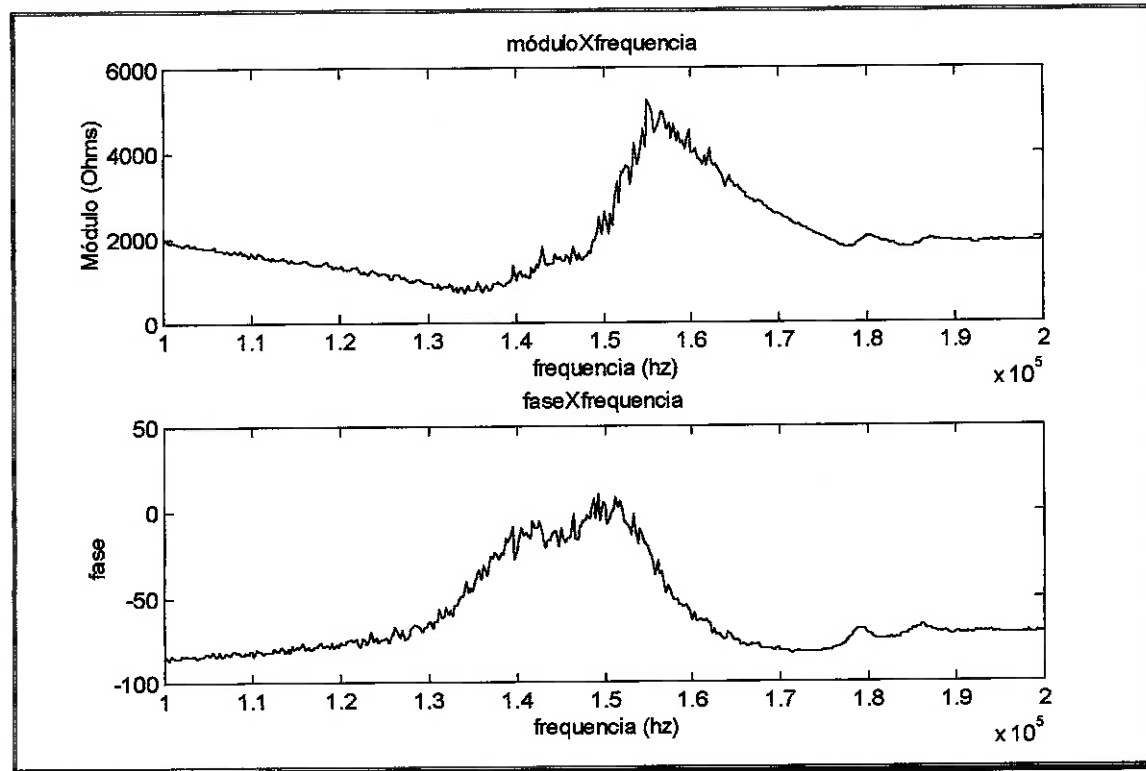


Figura 4.8. - Módulo e fase em função da freqüência para o transdutor 2 imerso

A partir destes gráficos, observa-se que apesar do módulo diminuir para os dois casos, e o sinal se mostrar mais ruidoso, os transdutores mantiveram a freqüência de ressonância na água, o que é de suma importância para este projeto.

4.4. Circuito equivalente dos Transdutores

Para os dois transdutores, no caso deles imersos ou não imersos, foi calculado um circuito equivalente, ou seja um circuito que apresentasse uma resposta semelhante da impedância em função da freqüência. Para o caso do transdutor 1 não imerso (em contato com o ar), o circuito equivalente foi:

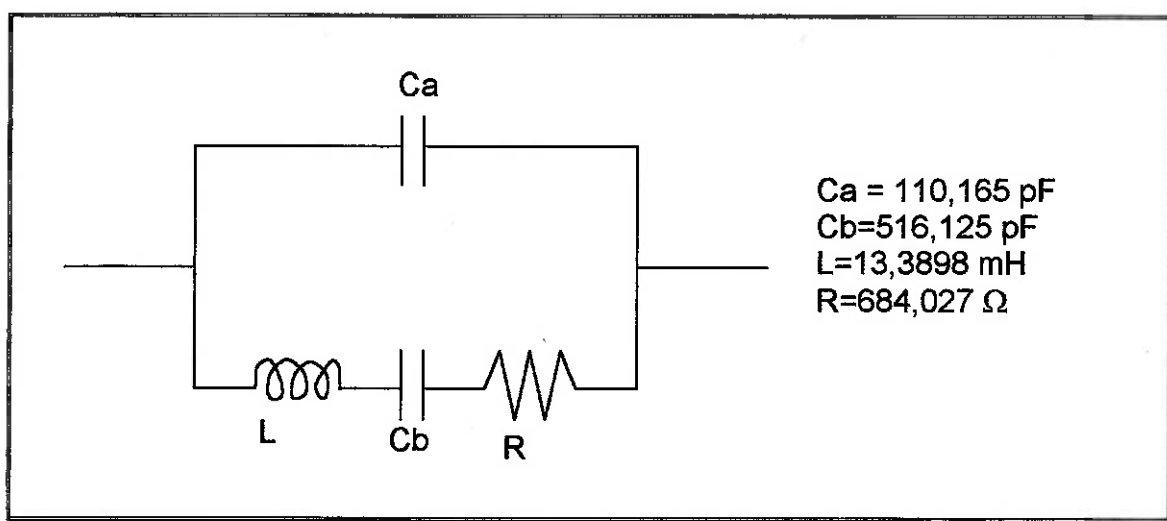


Figura 4.9. - Circuito equivalente para o transdutor 1 imerso no ar

Assim, o respectivo gráfico de módulo e fase em função da freqüência para este circuito é:

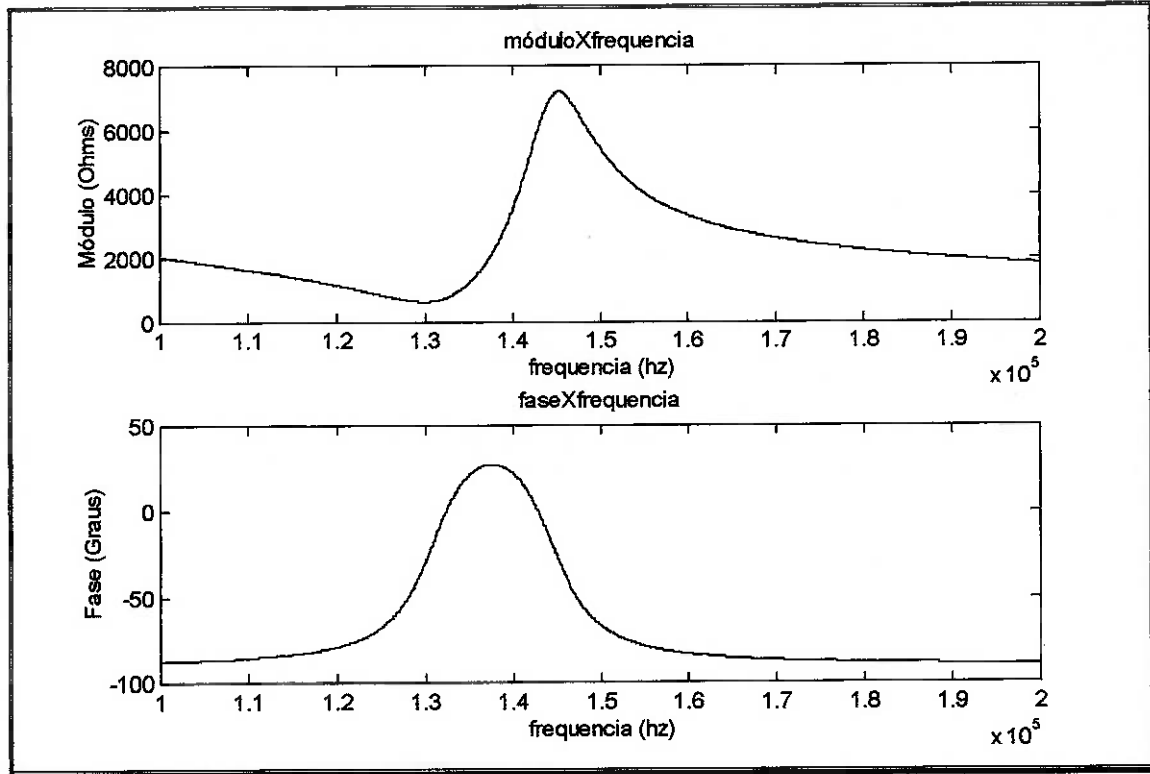


Figura 4.10. - Curvas do circuito equivalente para o transdutor 1 no ar

Já para o mesmo transdutor imerso na água, o circuito equivalente ficou:

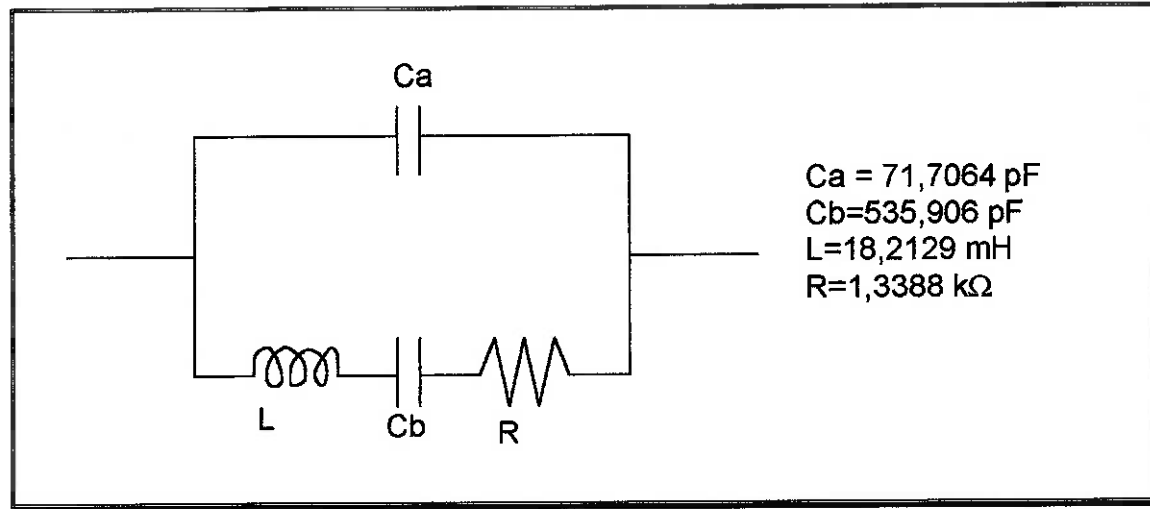


Figura 4.11. - Circuito equivalente para o transdutor 1 imerso na água

E a respectiva curva ficou:

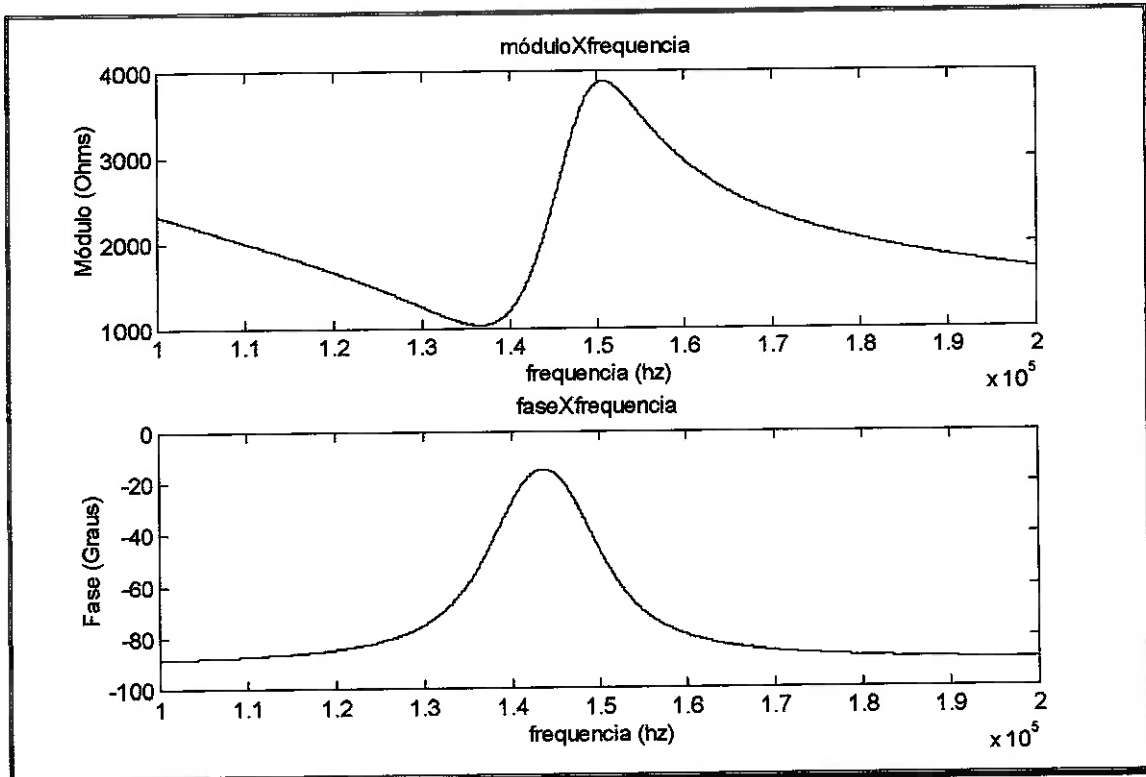


Figura 4.12. - Curvas do circuito equivalente para o transdutor 1 imerso

Verifica-se assim, que para este transdutor, os resultados obtidos referentes aos circuitos equivalentes pelo impedômetro foram satisfatórios, pois as curvas entre o real medido e a simulação do circuito equivalente apresentaram as mesmas características.

Já para o transdutor 2, foram calculados os circuitos equivalentes deste imerso e não imerso na água da mesma forma, através do impedômetro. Assim sendo, o circuito equivalente para o transdutor 2 não imerso ficou:

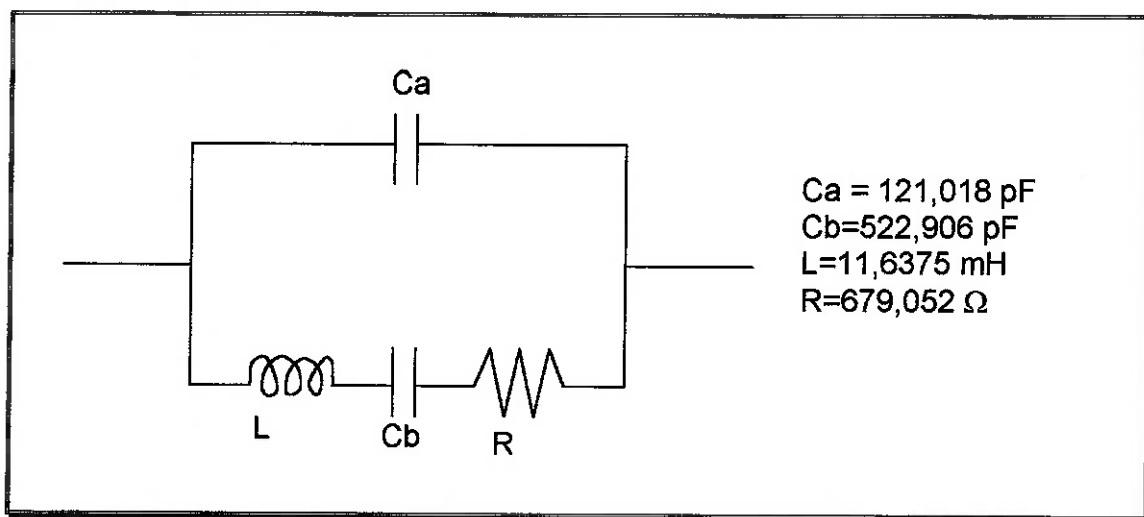


Figura 4.13. - Circuito equivalente para o transdutor 2 não imerso

E as curvas deste circuito:

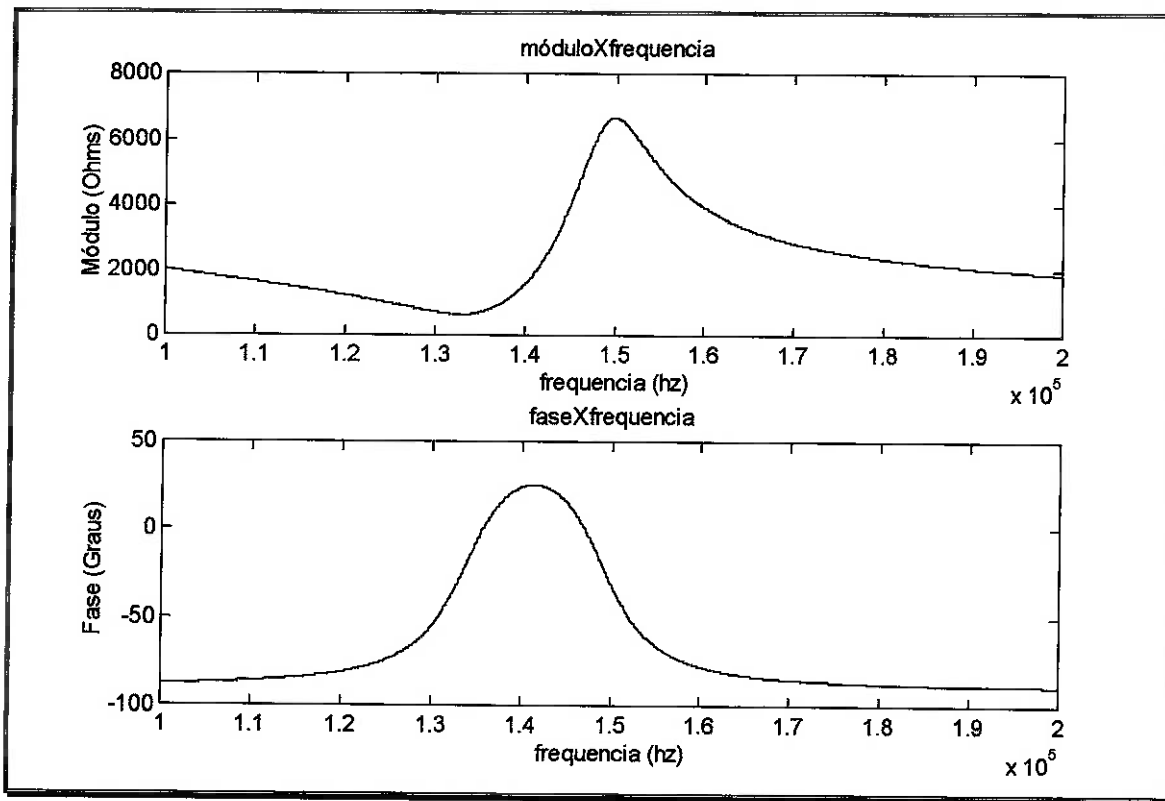


Figura 4.14. - Curvas do circuito equivalente do transdutor 2 não imerso

Já para este transdutor imerso na água, o circuito equivalente ficou:

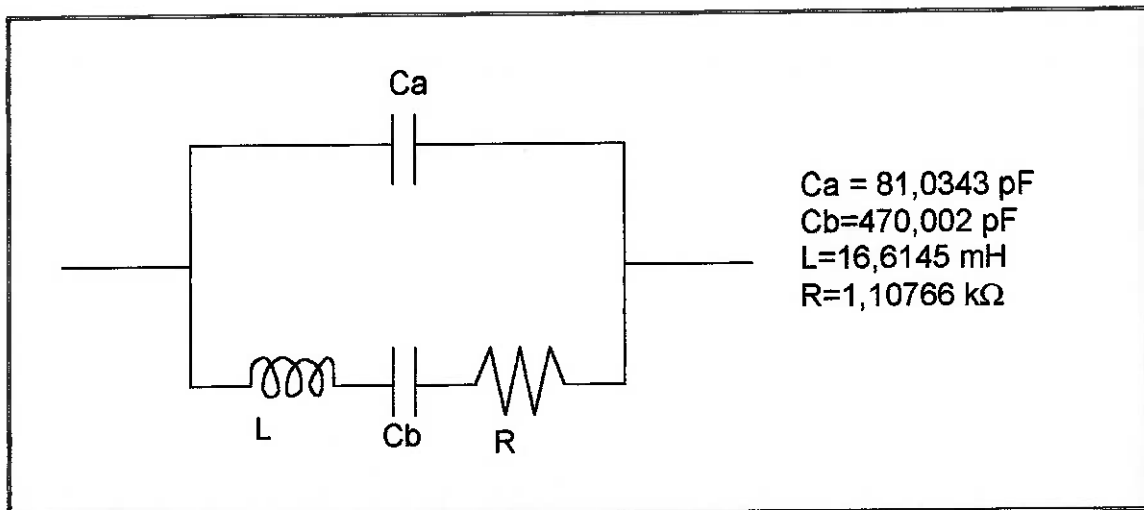


Figura 4.15. - Circuito equivalente para o transdutor 2 imerso na água

E, a curva obtida foi:

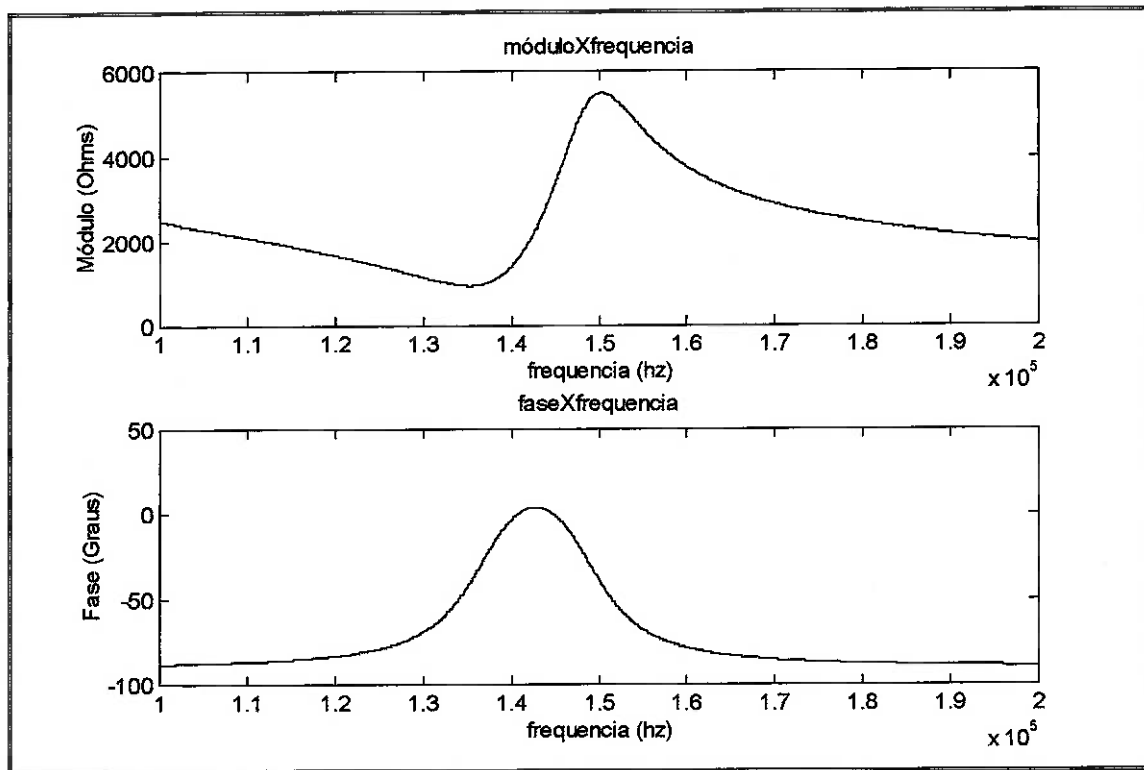


Figura 4.16. - Curvas do circuito equivalente do transdutor 2 imerso na água

Concluindo, para os dois transdutores construídos, foram obtidos bons resultados, referentes a freqüência de ressonância pretendida, para os

mesmos imersos na água. Além disso, foram calculados circuitos equivalentes para estes transdutores tanto imersos como não imersos na água. Estes circuitos, por sua vez, foram testados, onde verificou-se que o circuito equivalente calculado está próximo ao real medido (direto no impedômetro).

5. Estudo do Microcontrolador PIC

Primeiramente deve-se esclarecer que um microcontrolador corresponde a um microprocessador com os seus periféricos típicos (RAM,ROM, Timers, Serial, etc.), todos num só chip. O microcontrolador PIC escolhido foi o PIC16C73B (Microship, EUA), devido ao fato de ser de fácil acesso para alunos e por ser completo para as necessidades do projeto. O estudo, descrito em seguida, foi realizado a partir do datasheet do PIC16C73B [3], obtido através do site oficial da microchip.

5.1 Arquitetura

Os microcontroladores PIC apresentam uma estrutura de máquina interna do tipo Havard, enquanto a maioria dos microcontroladores tradicionais apresenta uma arquitetura tipo Von-Neumann. Na arquitetura tradicional, existe apenas um barramento (bus) interno por onde passam as instruções e os dados. Já na arquitetura tipo Havard existem dois barramentos internos, sendo um de dados e outro de instruções. Para o microcontrolador PIC estudado o barramento de dados é sempre de 8 bits e o de instrução é de 14 bits. Isto permite que enquanto uma instrução está sendo realizada uma outra seja “buscada” da memória. Como o barramento de instruções é maior do que 8 bits, a operações de códigos da instrução já inclui o dado e o local de onde operará, implicando na utilização de apenas uma posição da memória, economizando memória de programa.

5.2 Estruturação Interna.

A figura a seguir ilustra a estruturação interna do PIC16C73B, retirada diretamente do datasheet.

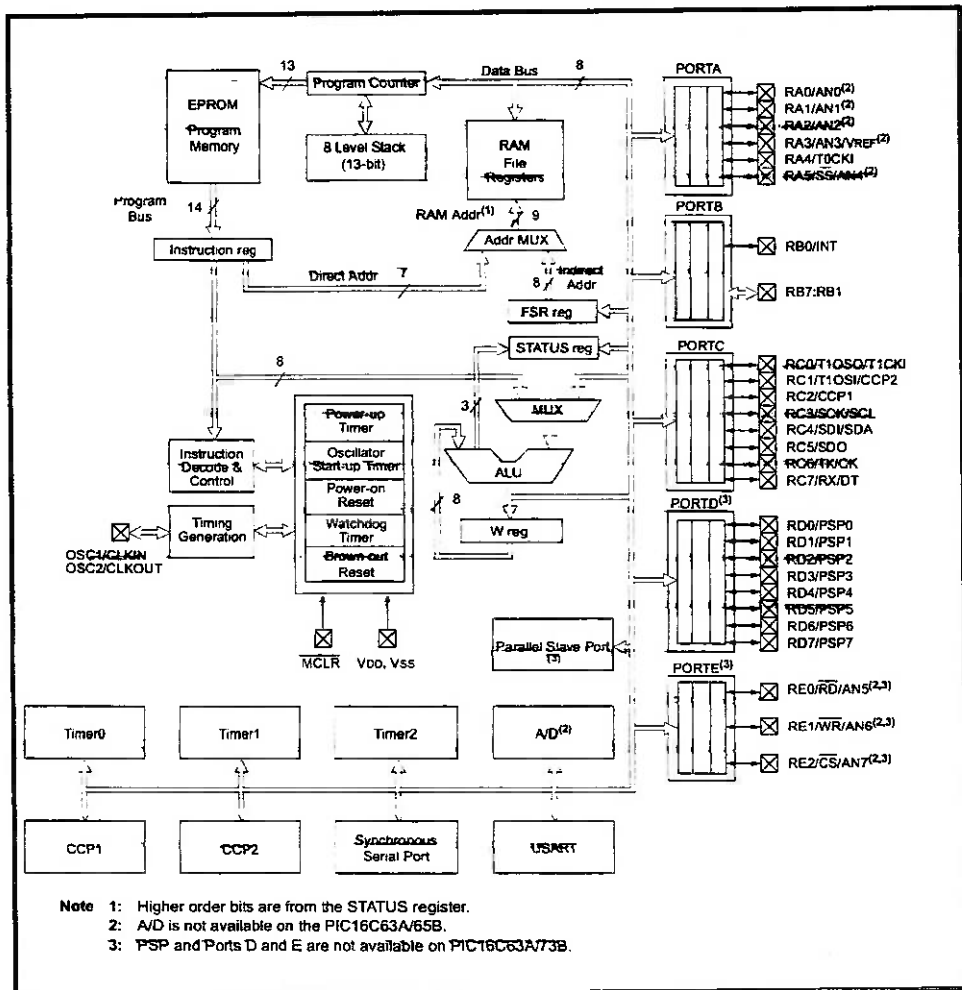


Figura 5.1. – Esquema da arquitetura interna do PIC

A ULA é o componente no qual são realizadas as operações aritméticas entre os valores da memória de dados e o do registrador de trabalho (W), que está diretamente ligado à ULA.

5.3 Periféricos.

Timer0: Um timer de 8 bits, que através do Prescaler, pode ser programado para dividir a freqüência do clock em 1, 2, 4, 8, 16, 32, 64, 128, 256. Sendo que esta freqüência do clock pode ser a da máquina (interna) ou externa. Este timer seta um flag e pode realizar uma interrupção (se esta

estiver habilitada), quando a contagem estoura, ou seja, passa de 0XFF para 0X00.

Timer1: Um timer/contador de 16 bits, pois pode operar como timer ou como contador. Por ser um Timer/Contador de 16 bits possuí dois registradores de 8 bits (TMR1H e TMR1L). No primeiro caso o clock é interno (clock da máquina) e no segundo é externo, ou seja, incrementando o contador a cada borda de subida do clock externo. A freqüência do clock pode ser dividida 1, 2, 4, 8 pelo prescaler. Quando a contagem estoura um flag é setado e pode se realizar uma interrupção.

Timer2: Um timer de 8 bits, que pode ser programado para dividir a freqüência do clock por 1, 4, 16. Este timer tem o período dado pelo registrador de 8 bits PR2, cujo valor default é 0XFF. Ou seja, o timer conta de 0X00 até o valor de PR2 e estoura, quando isto ocorre um flag é setado e pode se realizar uma interrupção.

Capture/Compare/PWM- CCP1 e CCP2: Os módulos CCP podem trabalhar nos modos Capture, Compare e PWM. No primeiro modo, o valor do timer1 é capturado por dois registradores de 8 bits (CCRP1H e CCRP1L) quando ocorre um evento externo no pino CCP1 ou CCP2. Quando ocorrer a “captura” um flag é setado e pode ocorrer interrupção. No modo compare o valor do timer1 é comparado constantemente com o valor dos registradores de um dos CCP e, quando os valores forem iguais, um dos pinos CCP é alterado, um flag é setado e pode ocorrer uma interrupção. No modo PWM, pulsos são gerados num dos pinos CCP, sendo que o período e a largura destes são controlados pelo Timer2.

SYNCHRONOUS SERIAL PORT (SSP): Uma interface serial síncrona útil para comunicar com outros periféricos (Serial EEPROMs, Displays, conversores A/D, Cls, etc) ou microcontroladores.

UNIVERSAL SYNCHRONOUS ASYNCHRONOUS RECEIVER

TRANSMITTER (USART): É uma interface serial que pode operar no modo

assíncrono, utilizado para comunicar com um PC, por exemplo, ou operar no modo síncrono, para se comunicar com outros periféricos.

A/D: Converte uma entrada analógica para um sinal digital de 8 bits. A sua freqüência de amostragem máxima é de aproximadamente 65kHz.

5.4 Memórias do PIC.

Existem dois tipos de memórias existentes no PIC: a memória de programa (EPROM para o PIC estudado) e memória de dados (RAM).

5.4.1 Memória de programa

A memória de programa do PIC16C73B é uma EPROM de 14 bits, ou seja, pode ser gravada várias vezes, já que podem ser apagados por meio de luz ultra violeta. A organização desta memória é ilustrada através da seguinte figura:

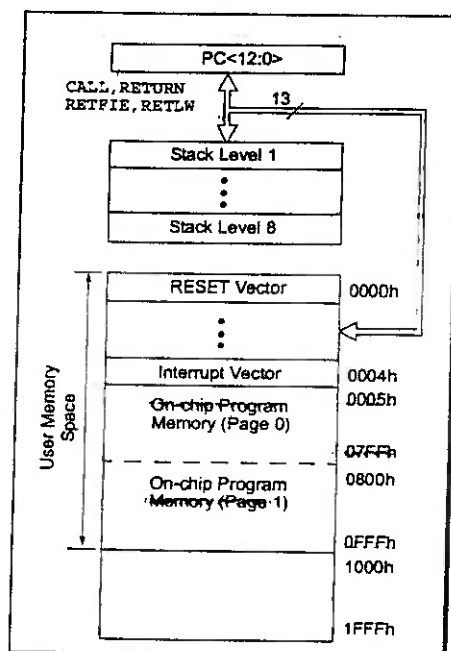


Figura 5.2. – Esquema da memória EPROM

O vetor de reset nada mais é do que o primeiro endereço da memória de programa que será executado quando o PIC começa a rodar, ou seja, quando o mesmo for alimentado ou resetado.

O vetor de interrupção é o endereço (0x04) no qual ocorrerá o início do tratamento de todas as interrupções, ou seja, onde estará as rotinas de todas as interrupções.

A pilha (stack) é um local, separado da memória de programação, no qual serão armazenados os endereços de retorno quando se utilizar instruções de chamada de rotina.

5.4.2 Memória de dados

A memória de dados é a RAM, que é utilizada para guardar todas as variáveis (registradores de uso geral) e registradores especiais utilizados pelo programa. Esta memória armazena dados de 8 bits e é volátil, ou seja, os dados são perdidos quando o PIC é desligado.

Os registradores especiais são aqueles que permitem configurar os periféricos internos do PIC (ports, conversores, timers, seriais, interrupções, etc), conhecer status de operações e portas, dentre outras funções.

Os registradores de uso geral são utilizados para armazenar as variáveis definidas pelo usuário.

A figura a seguir mostra como esta memória está organizada

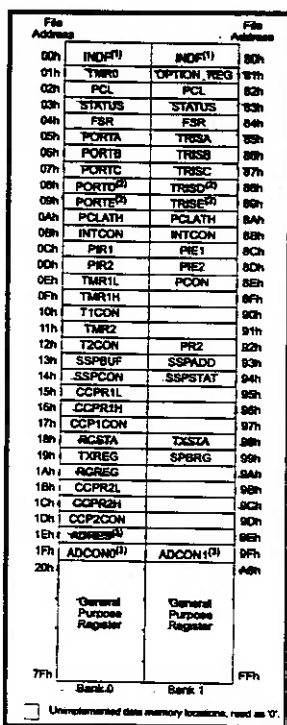


Figura 5.3. – Esquema da memória RAM

5.5 Programação

A linguagem de programação a ser utilizada será a Assembler, pois o sistema de compilação, simulação e gravação a ser utilizado é o software MP lab, que se utiliza desta linguagem.

6. Circuito de emissão

Este circuito é o responsável pelo acionamento do transdutor. Para acioná-lo, o circuito deve fornecer uma voltagem variável e cuja módulo seja suficiente para excitá-lo. Tendo isto em vista foi elaborado o seguinte circuito de emissão:

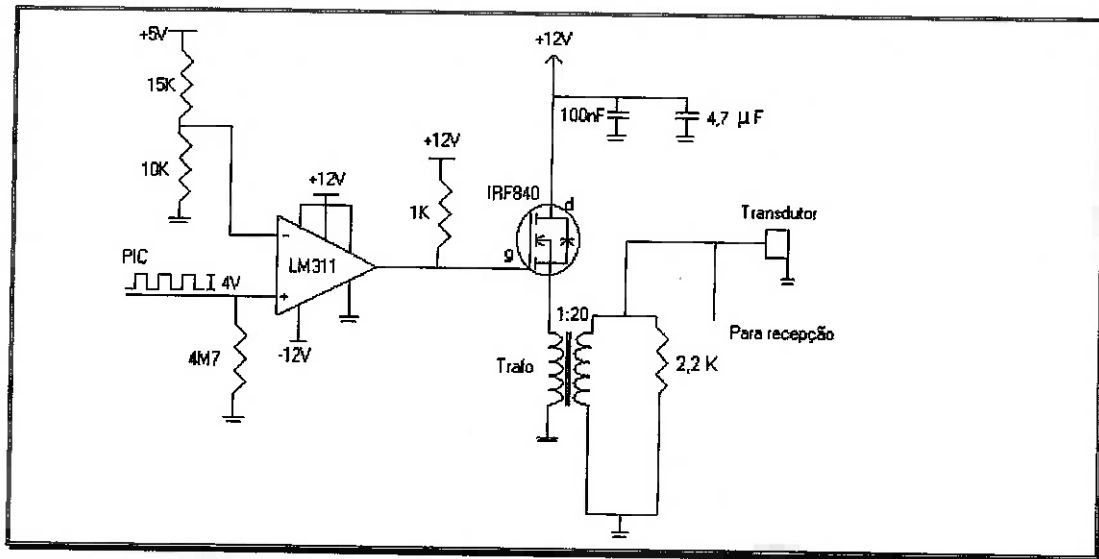


Figura 6.1. – Circuito de emissão

O circuito funciona da seguinte forma: o PIC gera um trem de pulsos de amplitude de no mínimo 4 V, alimentando o terminal positivo do comparador LM311 (Texas Instruments, EUA). O terminal negativo do mesmo (tensão de referência) é alimentado por um divisor de tensão, que fornece 2 V. Quando a tensão no terminal positivo for 4V, portanto, maior que a tensão de referência, o sinal de saída do comparador será de 12 V. Quando a entrada no terminal positivo for zero o sinal de saída do comparador será 0V. Este sinal irá chavear o POWER MOSFET (International Rectifier, EUA), chaveando, desta forma, o primário do transformador, propiciando a voltagem variável. O transformador transformará a tensão pico a pico num valor considerável (200V) para poder acionar o transdutor.

Tanto o comparador como o POWER MOSFET estão sendo utilizados para chavear tensão. Porque, então, não usar apenas um deles? Isto se deve ao fato de ao se utilizar apenas o comparador para chavear o primário do transformador, este exigirá uma corrente que o queimará. Agora, se apenas o POWER MOSFET fosse utilizado, o sinal do PIC não seria suficiente para chaveá-lo.

Os capacitores de $4,7\mu\text{F}$ e 100 nF são usados para estabilizar a fonte em 12 V, já que a mesma possui uma resistência interna e pode ocorrer uma queda momentânea de tensão quando altas correntes são exigidas.

Para o transformador do circuito foi utilizado um núcleo de ferrite modelo RM-6S da fabricante Thornton, o fio do primário de bitola 28 AWG e do secundário de 32 AWG. Sendo que para o veículo móvel foram utilizadas 3 espiras no primário e 60 espiras no secundário e no alvo fixo foram utilizadas 2 espiras no primário e 40 espiras no secundário.

O circuito de emissão do veículo móvel é acionado por um comando do PC, via comunicação serial, ou seja, pelo canal serial. O PC envia um comando para que o PIC comece a gerar o trem de pulsos para que a emissão ocorra. Para que esta comunicação se realize é necessário uma conversão de tensões, já que o PC trabalha com voltagens de comunicação do padrão RS-232 e o PIC usa tensões TTL. Para a finalidade de se adequar estas tensões de comunicação foi utilizado o conversor MAX232 (MAXIM, EUA).

O cabo serial utilizado foi de 25 pinos e foi ligado na porta COM1 do PC.

O circuito foi montado com todos os componentes necessários, segundo os datasheets do PIC e do MAX232. O projeto deste circuito se encontra nos anexos A e B, juntamente com o projeto de todo o circuito de emissão.

Já para o alvo fixo, o trem de pulsos do PIC, é iniciado assim que um sinal do veículo móvel for recebido.

7. Acionamento do transdutor

O sinal do acionamento do transdutor do veículo móvel, realizando o teste com este dentro de um tanque de água, e com a voltagem sendo fornecida pelo seu transformador (já descrito no item anterior), porém com 9 espiras no primário e 160 espiras no secundário, é mostrado na figura a seguir:

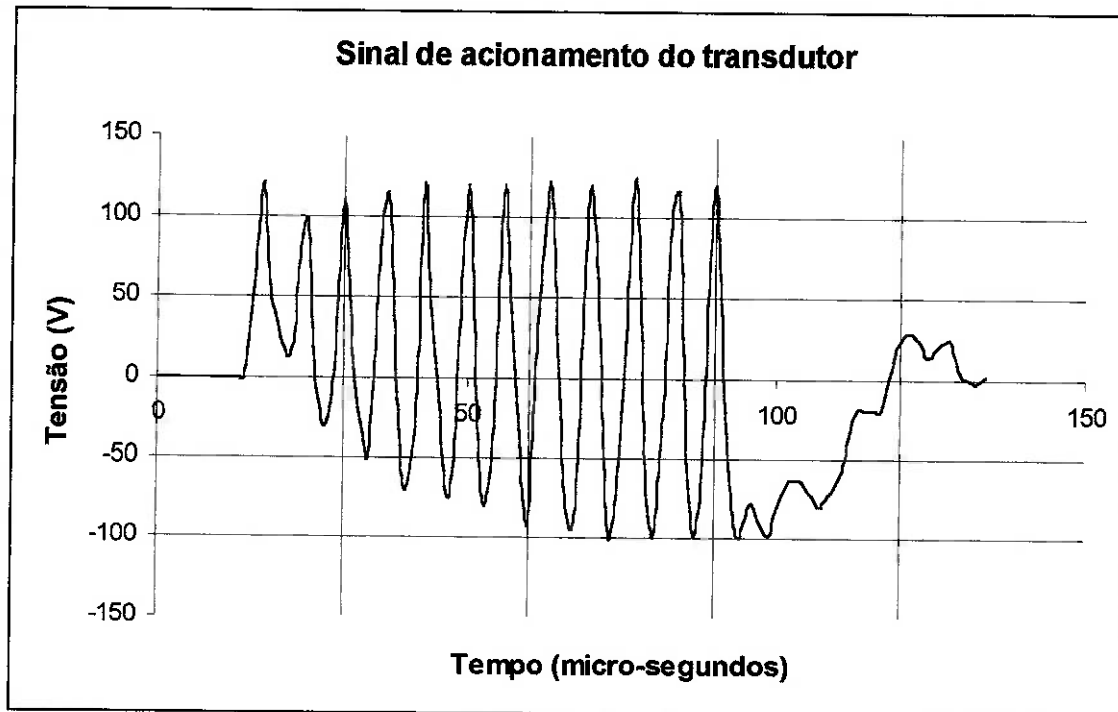


Figura 7.1. – Tensão na entrada do transdutor

Pode-se observar que o sinal apresenta um transiente nos seus instantes iniciais e apresenta um comportamento oscilatório aproximadamente senoidal no restante do sinal. Este fenômeno não é desejável para o acionamento do transdutor.

A causa desse transitório é o não “casamento” entre as partes imaginárias do secundário do transformador e do transdutor, na freqüência de operação, ou seja, a indutância do secundário do transformador não cancela a parte capacitiva do transdutor [6].

Para se resolver este problema, poderia-se adotar duas soluções. Uma seria escolher outro transformador de forma a casar a indutância, a outra seria adicionar em série com o transdutor capacitores ou indutores.

A solução adotada foi utilizar o mesmo núcleo de ferrite já utilizado, calcular o número de espiras necessários para promover o casamento e montar o transformador, de acordo com a referência [6].

7.1. Cálculo do número de espiras para o veículo móvel

O primeiro passo foi calcular o A_L para o núcleo de ferrite utilizado (modelo RM-6S), através da seguinte expressão:

$$A_L = \frac{L}{n^2} \quad (25)$$

onde: L é a indutância do primário ou secundário e n é o número de espiras, também, no primário ou no secundário.

Medindo-se a impedância do secundário do transformador, através do impedômetro, obteve-se:

$$Z_{\text{imaginário}} = 34,5 \text{ k}\Omega \quad (26)$$

Mas:

$$Z_{\text{imaginário}} = \omega \cdot L = 2 \cdot \pi \cdot f \cdot L \quad (27)$$

onde: f é a freqüência de operação e L é a indutância

Para a freqüência de operação da unidade móvel, que é de 150 kHz, e sabendo que o número de espiras no secundário é 160 (ver item 7), obtém-se:

$$A_L = \frac{L}{n^2} = \frac{34,5 \cdot 10^3}{2 \cdot \pi \cdot 150 \cdot 10^3 \cdot 160^2} = 1430 \cdot 10^{-9} \quad (28)$$

Através do impedômetro, sabe-se que na freqüência de 150 kHz (freqüência de operação) o transdutor possui uma impedância imaginária de:

$$Zt_{\text{imaginário}} = -5 \text{ k}\Omega \quad (29)$$

Portanto, o número de espiras no secundário será:

$$\begin{aligned} \omega \cdot L_{\text{secundário}} &= -Zt_{\text{imaginário}} = 5 \cdot 10^3 \Rightarrow \\ \omega \cdot n_{\text{secundário}}^2 \cdot A_L &= 5 \cdot 10^3 \Rightarrow \\ n_{\text{secundário}} &= \sqrt{\frac{5 \cdot 10^3}{1430 \cdot 10^{-9} \cdot 2 \cdot \pi \cdot 150 \cdot 10^3}} = 60,90 \end{aligned} \quad (30)$$

Como a relação do transformador é de 1:20, escolhe-se que o secundário terá 60 espiras e o primário 3.

Um novo transformador, com núcleo de ferrite RM-6S, foi construído e montado no circuito de emissão. O sinal de acionamento do transformador fica agora:

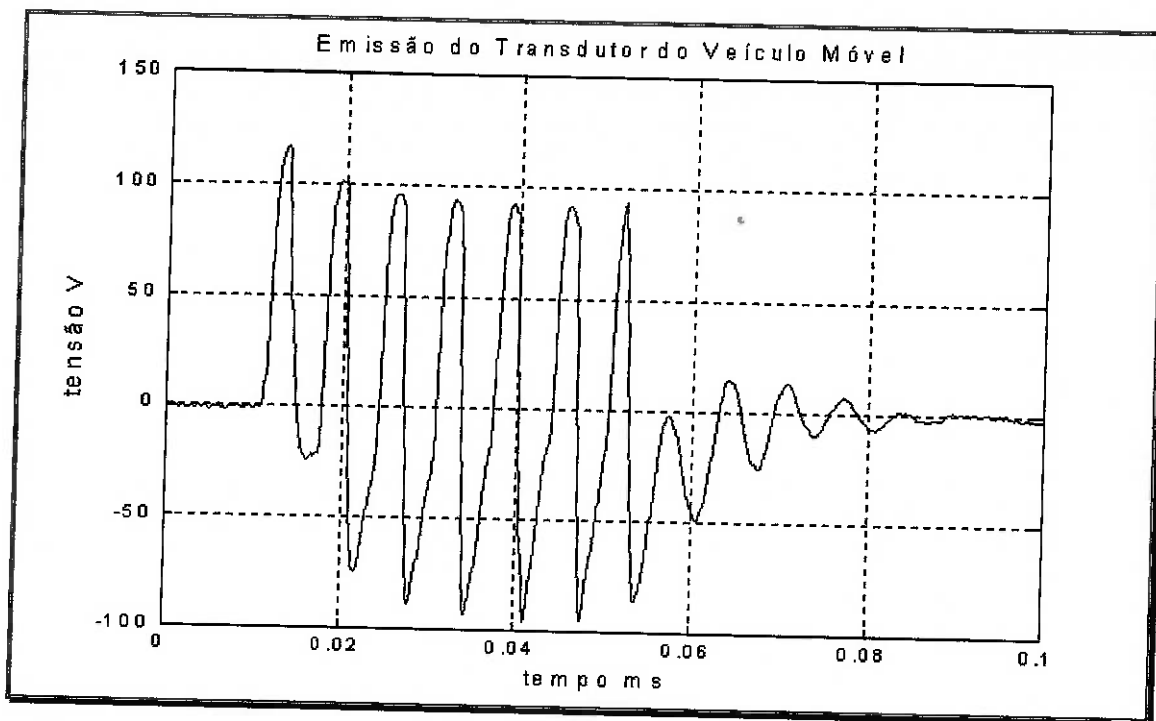


Figura 7.2. – Esboço da tensão na entrada do transdutor do veículo móvel, acionado pelo novo transformador

Assim, verificou-se que o transitório praticamente desapareceu. Analisando a figura anterior observa-se que o transitório se resume a um único ciclo, o que representa uma melhora muito grande, em relação ao transformador utilizado anteriormente.

7.2. Cálculo do número de espiras para o alvo fixo

Para o alvo fixo, foi adquirido um transformador RM-6S cujo AL é igual a $2000 \cdot 10^{-9}$ H.

Agora, medindo-se através do impedômetro, sabe-se que na freqüência de 170 kHz (freqüência de operação) o transdutor possuí uma impedância imaginária de:

$$Z_{t_{\text{imaginário}}} = -2,6176 \text{ k}\Omega \quad (31)$$

Portanto, o número de espiras no secundário será:

$$\begin{aligned}\omega \cdot L_{\text{secundário}} &= -Zt_{\text{imaginário}} = 2,6176 \cdot 10^3 \Rightarrow \\ \omega \cdot n_{\text{secundário}}^2 \cdot A_L &= 2,6176 \cdot 10^3 \Rightarrow \\ n_{\text{secundário}} &= \sqrt{\frac{2,6176 \cdot 10^3}{2000 \cdot 10^{-9} \cdot 2 \cdot \pi \cdot 170 \cdot 10^3}} = 35,01\end{aligned}\quad (32)$$

Como a relação do transformador é de 1:20, escolhe-se que o secundário terá 40 espiras e o primário 2.

Assim, acurva de excitação do transdutor acionado por este novo transformador fica:

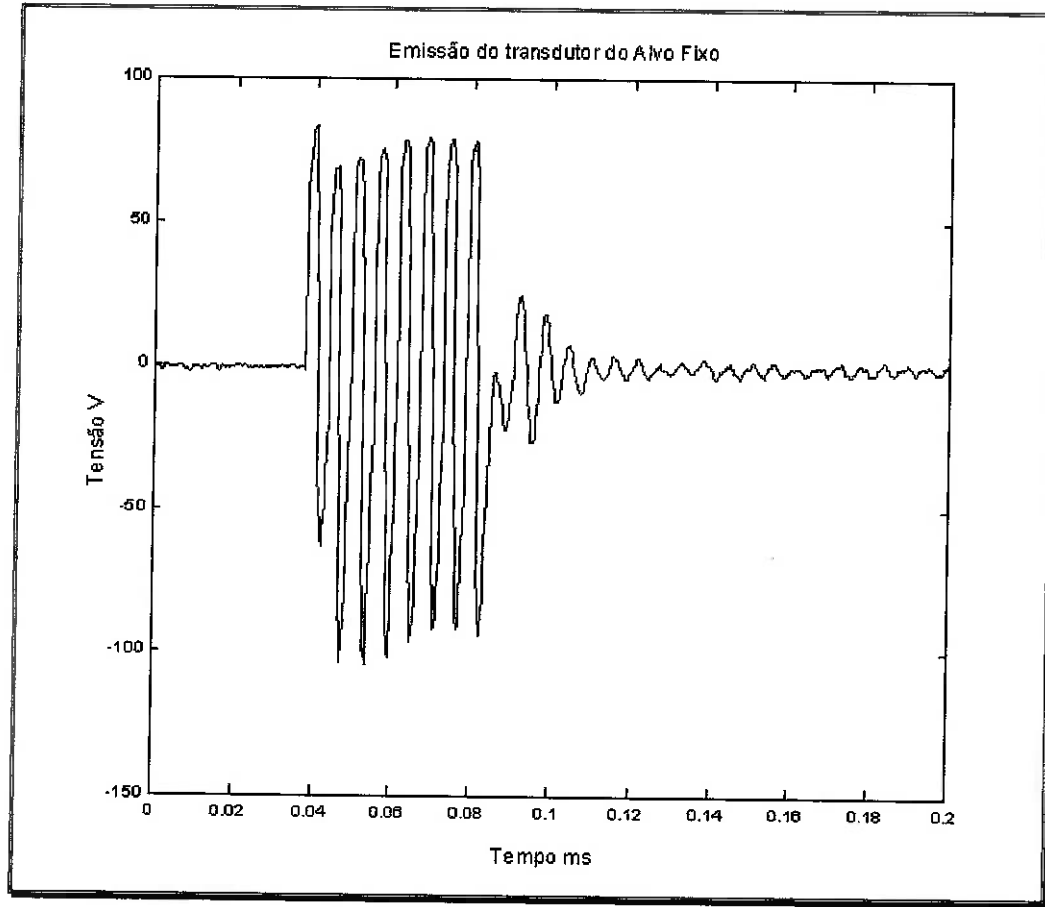


Figura 7.3. – Esboço da tensão na entrada do transdutor do alvo fixo

8. Circuito de recepção

8.1. Esquema Geral

O circuito de recepção é o responsável pela detecção do sinal de resposta, que é uma diferença de potencial (tensão), proveniente dos terminais do transdutor e, de informar ao microcontrolador PIC para parar de cronometrar o tempo e realizar o cálculo da distância, no caso do tratamento de sinal analógico, ou fornecer dados para serem digitalizados pela placa A/D, no caso de tratamento digital do sinal. O circuito de recepção, para ambos os tratamentos de sinal, é ilustrado pela figura a seguir:

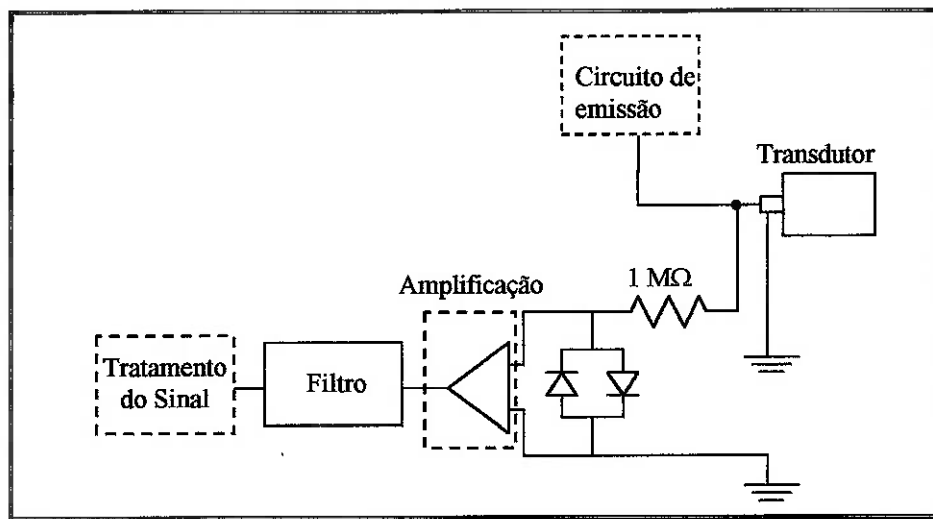


Figura 8.1. – Esquema do Circuito de recepção

O circuito funciona da seguinte forma: sobre os terminais dos diodos cairá toda a tensão de resposta proveniente do transdutor, esta tensão será amplificada, pois esta é da ordem de mV. Em seguida ela será filtrada, a fim de eliminar os sinais de alta freqüência e, finalmente, a tensão proveniente do filtro será tratada para que se possa calcular a distância desejada.

A seguir será explicado individualmente os componentes do circuito de recepção.

8.2 Diodos

Como já explicado, os diodos são os responsáveis por delimitar a tensão de resposta proveniente do transdutor. A idéia da utilização de diodos retificadores é a seguinte: a tensão de resposta é da ordem de mV, não sendo, portanto, maior que a tensão de Joelho de um diodo retificador de silício (0,7V). Desta forma, o diodo ficará reversamente polarizado e toda a tensão de resposta cairá sobre o mesmo. Utiliza-se dois diodos em paralelo, pois o sinal de resposta possui um ciclo positivo e outro negativo.

Por outro lado, na emissão, os diodos conduzirão, fixando a tensão de entrada do amplificador em 0,7V, evitando que o mesmo seja queimado (lembre que a tensão de excitação do transdutor é da ordem de 200V pico a pico). A utilização de um resistor elétrico de $1M\Omega$ em série aos diodos é para que, durante a emissão, a menor quantidade de corrente seja desviada do transdutor para os diodos, evitando, assim, perdas significativas de potência para o transdutor.

8.3 Amplificação

Para realizar a amplificação optou-se por utilizar um amplificador simples o TL081 (Texas Instruments, EUA). O circuito utilizado foi o amplificador não inversor, como ilustra a figura a seguir.

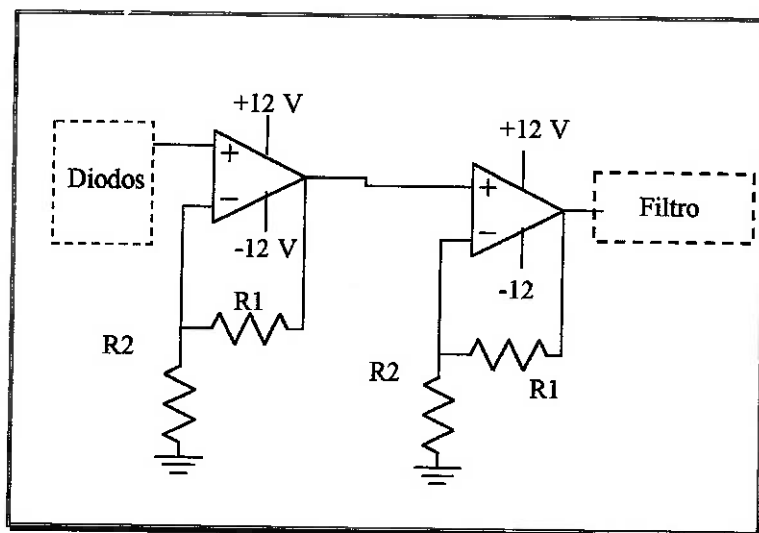


Figura 8.2. – Esquema do Amplificador não inversor.

Através da referência [5], o ganho é dado por:

$$A = 1 + \frac{R_1}{R_2}$$

Como não se sabe exatamente o ganho necessário, ao invés de se soldar diretamente resistores na placa do circuito, foram soldados conectores, a fim de se poder mudar o ganho do amplificador conforme a necessidade, pois devido a perda de intensidade que a onda acústica sofre pela distância percorrida, não se pode saber qual o ganho necessário para que o sinal possa ser percebido pelo detector de limiar no tratamento analógico ou pela digitalização no tratamento digital.

Assim sendo, a idéia seria a imposição de um ganho grande, de modo que possibilitasse o tratamento de sinais a uma distância de algumas dezenas de metros e trabalhasse na saturação do TL081 para pequenas distâncias. Esta idéia porém foi descartada pela distorção no sinal que ocorre com a saturação do amplificador, caso esta ocorra. Este problema é crucial para a medida de distância, pois com a distorção não se pode garantir que a freqüência esperada será satisfeita para o tratamento analógico e que o sinal de referência será observado para o tratamento digital. Assim, é necessário que se ajuste os ganhos dos amplificadores para cada ordem de grandeza que se queira medir.

Outro problema observado na amplificação do sinal de recepção, foi a dificuldade de se obter grandes ganhos (necessários para medições de grandes distâncias) com o tipo de amplificador operacional utilizado. Isto ocorre devido a largura de banda destes componentes, isto é, para a freqüência de excitação utilizada (150 kHz para o veículo móvel e 170 kHz para o alvo fixo) o TL081 não consegue aplicar ao sinal amplificações muito maiores que 26 vezes com muita eficiência. Por isso, optou-se por realizar a amplificação em

duas etapas, para que se possa aplicar amplificações menores que 15 vezes em cada estágio, de modo a se obter uma amplificação final de até 225 vezes.

8.4 Filtro Passa Baixa

Este filtro será o responsável por filtrar os ruídos de alta freqüência tanto para o veículo móvel como para o alvo fixo, portanto, será utilizado um filtro passa baixa. Escolheu-se por utilizar um filtro Butterworth de 4 pólos, apresentando uma atenuação de 80 dB por década, cujo circuito está ilustrado pela figura 8.3.

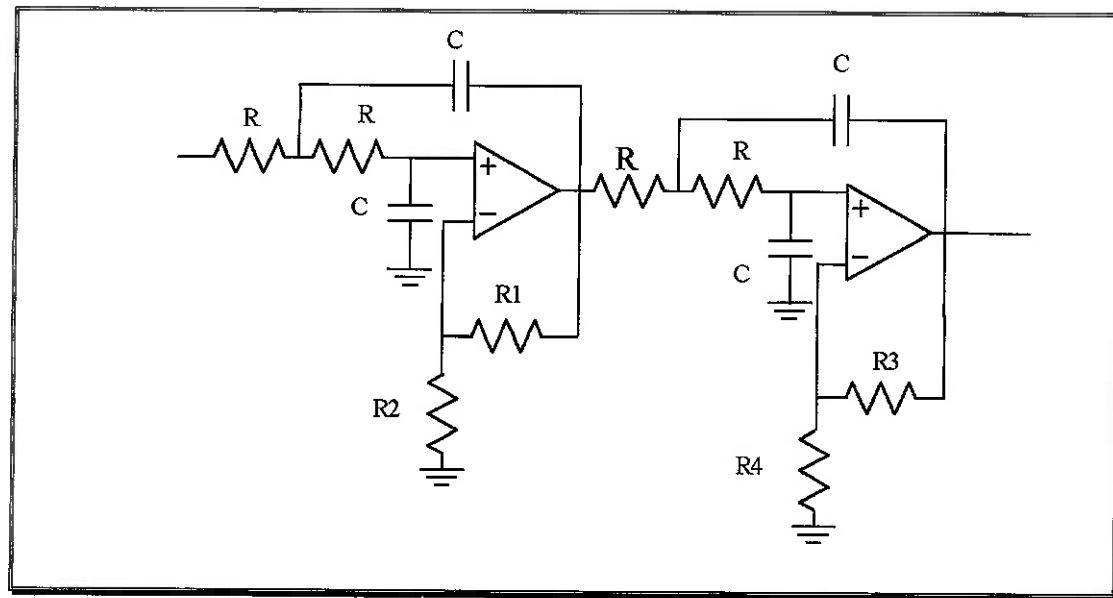


Figura 8.3. – Filtro Butterworth de 4 pólos

Através da tabela de ganhos para filtros Butterworth (ver referência [5]), sabe-se que para o filtro possuir uma resposta maximamente plana o ganho da primeira seção, ou seja, do primeiro filtro deverá ser de $A_1=1,152$ e da segunda seção deverá ser de $A_2=2,235$. Sendo os ganhos são dados por:

$$A_1 = \frac{R_1}{R_2}$$

$$A_2 = \frac{R_3}{R_4}$$

Escolhendo-se $R1=1,5\text{ k}\Omega$, $R2=10\text{ k}\Omega$, $R3=2,7\text{k}\Omega$ e $R4=2,2\text{ K}\Omega$, obtém-se os seguintes ganhos:

$$A1 = 1 + \frac{1,5}{10} = 1,150$$

$$A2 = 1 + \frac{2,7}{2,2} = 2,227$$

A freqüência de corte é dado por:

$$f_c = \frac{1}{2 \cdot \pi \cdot R \cdot C}$$

Como a faixa de freqüência de operação do transdutor pode variar entre 130 a 170 kHz, escolheu-se que a freqüência de corte do filtro deveria ser em torno de 200 kHz. Escolhendo-se $R=390\text{ }\Omega$ e $C=2,1\text{ nF}$, obtém-se:

$$f_c = \frac{1}{2 \cdot \pi \cdot 390 \cdot 2,1 \cdot 10^{-9}} = 194,3\text{ kHz}$$

A figura 29 ilustra o filtro com os valores dos componentes:

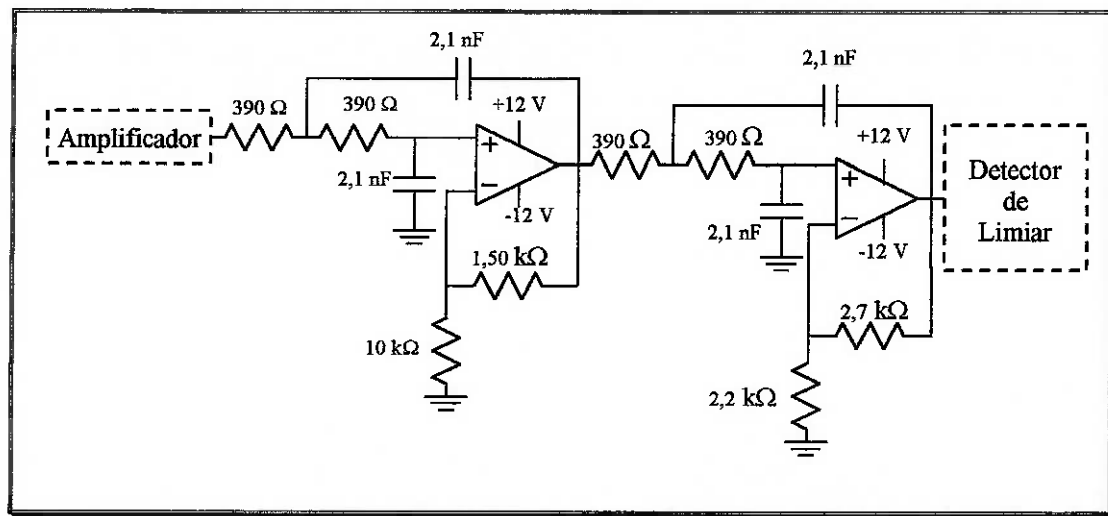


Figura 8.4. – Esquema do Filtro utilizados em ambos os veículos

Levantou-se a curva da resposta em freqüência dos filtro, através de dados experimentais, utilizando-se o gerador de funções. As curvas obtidas para o veículo móvel e o alvo fixo estão ilustradas nas figuras 8.5 e 8.6 respectivamente.

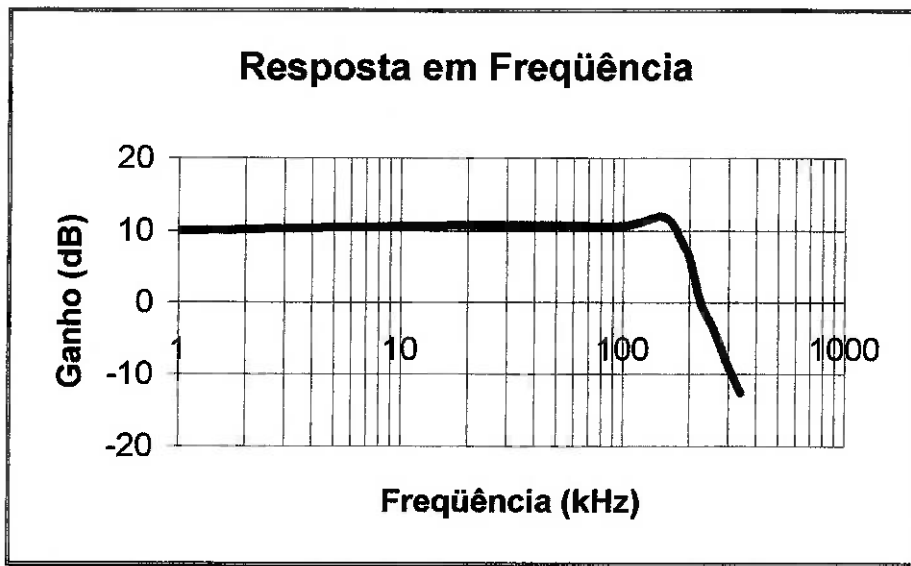


Figura 8.5 - Resposta em freqüência do filtro do veículo móvel

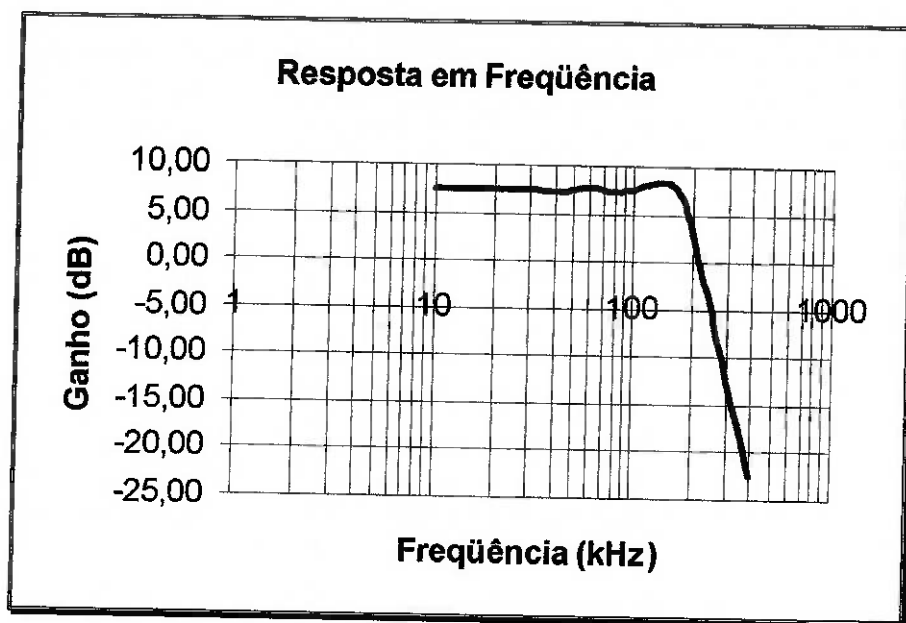


Figura 8.6. - Resposta em freqüência do filtro do alvo fixo

E os dados obtidos foram:

Freqüência	Ganho (dB)
1,00	9,97
10,00	10,58
50,00	10,63
80,00	10,50
100,00	10,58
110,00	10,81
120,00	11,13
130,00	11,43
140,00	11,87
145,00	11,93
150,00	11,95
155,00	11,84
160,00	11,53
165,00	11,27
170,00	10,63
175,00	10,13
180,00	9,25
190,00	7,82
200,00	6,40
225,00	0,00
250,00	-2,97
275,00	-5,85
300,00	-8,87
340,00	-12,58

Tabela 1 Dados obtidos para o filtro do veículo móvel

Freqüência	Ganho (dB)
10,00	7,52
30,00	7,52
40,00	7,25
50,00	7,52
60,00	7,60
70,00	7,43
80,00	7,34
90,00	7,43
100,00	7,52
110,00	7,78
120,00	8,03
130,00	8,20
140,00	8,28
150,00	8,20
155,00	8,12
160,00	7,86
165,00	7,60
170,00	7,15
175,00	6,85
180,00	6,44
185,00	5,80
190,00	4,98
195,00	4,22
200,00	2,92
210,00	1,12
220,00	-0,45
230,00	-2,07
240,00	-3,41
250,00	-4,81
300,00	-12,77
400,00	-22,50

Tabela 2 Dados obtidos para o filtro do alvo fixo

Pelas tabelas mostradas acima, percebe-se que a freqüência de corte realmente se encontra por volta 190 kHz para os dois filtros utilizados, como mostravam os cálculos teóricos descritos anteriormente. Assim, conclui-se que os filtros construídos estão de acordo com o projetado.

Outra importante característica desta etapa de filtragem do sinal, é que o sinal ao “passar” pelo filtro sofre um atraso, em relação à saída da etapa de amplificação. Assim, deve-se descontar este atraso no momento de cronometrar o tempo de recebimento da resposta do alvo fixo. O atraso do

na saída do filtro em relação à saída do amplificador está mostrado na figura seguinte:

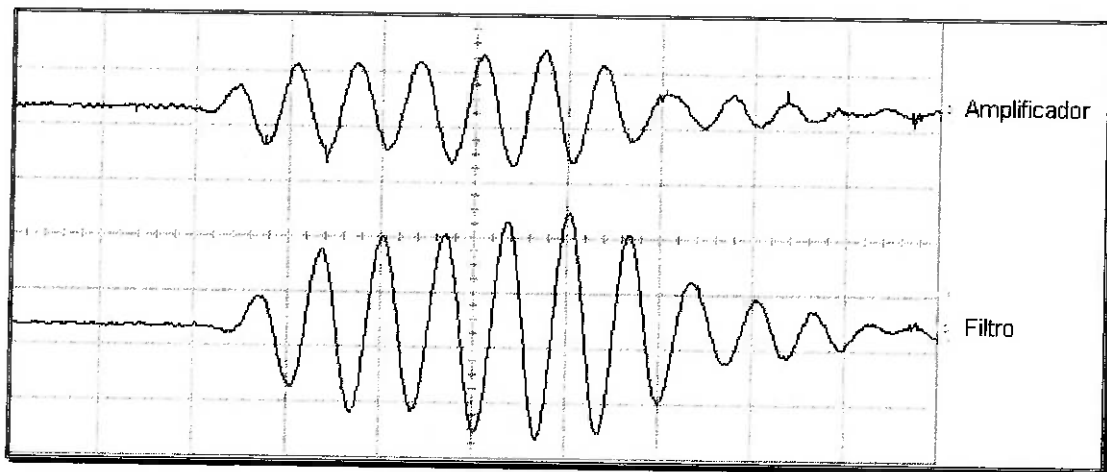


Figura 8.7. - Atraso do sinal na saída do filtro do alvo fixo

8.5 Tratamento do Sinal

8.5.1. Tratamento Analógico (Detector de Limiar)

O detector de limiar só excitará o PIC se a tensão proveniente do filtro for maior que uma tensão mínima estipulada (tensão de referência), isto para evitar que sinais de ruído excitem o mesmo. O circuito do detector de limiar está ilustrado pela figura 8.8.

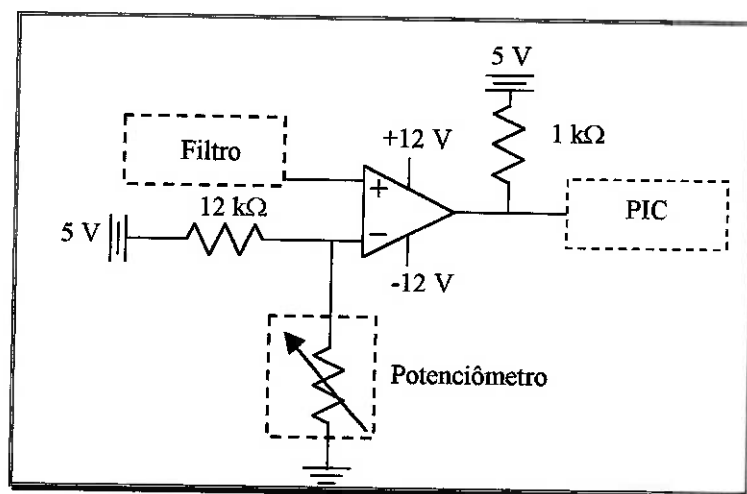


Figura 8.8. – Esquema do detector de Limiar

O circuito funciona da seguinte forma: a tensão proveniente do filtro alimentará o terminal positivo do comparador, já o terminal negativo do mesmo é alimentado pela tensão de referência. Se o primeiro for maior que o segundo a saída do comparador será de 5 V, porém, se for menor a saída será zero.

A tensão de referência é determinada pelo divisor de tensão sendo dada por:

$$V_{ref} = \frac{5}{12 + R_{pot}} \cdot R_{pot}$$

onde R_{pot} é a resistência do potenciômetro em $K\Omega$, que pode variar de 0 a 50.

Optou-se por utilizar o potenciômetro por não se conhecer exatamente qual o valor de tensão que deverá ser utilizado como referência, sendo este a ser determinado experimentalmente.

Assim, se o sinal de recepção, amplificado e filtrado pelas etapas anteriores, excitar o detector de limiar com uma freqüência "f" e amplitude "A", com "A" > "V_{ref}", o comparador de tensão produzirá uma onda quadrada com amplitude de 5 Volts e freqüência "f".

Então, assim que o sinal excitar o comparador de tensão, este produzirá a onda quadrada, cuja freqüência será analisada pelo PIC, isto para identificar se este sinal é o da resposta do transdutor da outra unidade, ou se é proveniente do próprio eco da emissão desta unidade.

Para melhor entendimento, a figura a seguir ilustra a relação entre a saída do filtro e saída do detector de limiar, mostrando, desta forma, a relação entre as freqüências destes dois sinais. Esta figura foi adquirida pelo circuito do alvo fixo durante um teste de recepção do mesmo:

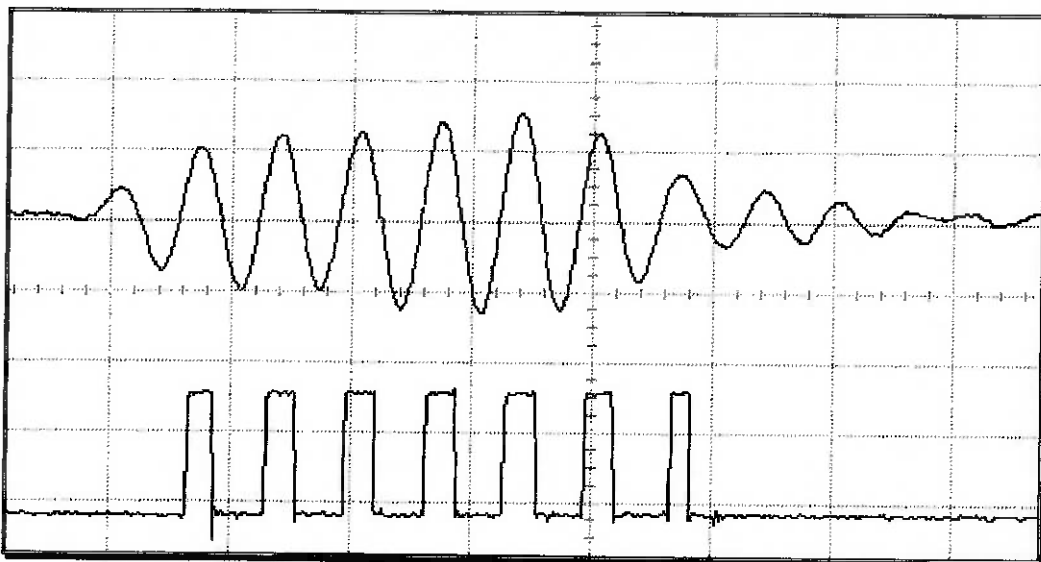


Figura 8.9. - Relação entre os sinais provenientes do filtro e detector de limiar

Um dos grandes problemas do tratamento analógico do sinal, é a não percepção, pelo comparador de tensão, do primeiro pulso do sinal recebido, erro tal que pode causar perdas na precisão da medição de distâncias. Concluindo, há a necessidade de, para uma faixa pequena de distâncias, ajustar o ganho dos amplificadores ou o potenciômetro do detector de limiar, ou ambos, de modo a permitir que o LM311 consiga “perceber” o primeiro pulso do sinal e torne a medição mais correta.

8.5.2. Tratamento Digital (Conversor A/D)

A idéia central, para este tratamento, é a de digitalizar o sinal de saída do filtro, através de um conversor A/D, e realizar um tratamento do mesmo via software a fim de determinar quando o sinal esperado de resposta chegou. Para isto é necessário se obter um sinal de referência, que represente o sinal esperado de resposta, através do qual o software “procurará” onde o sinal de resposta se encontra no sinal digitalizado. A idéia de se utilizar um sinal de referência é valida, pois o formato do sinal de recepção do transdutor sempre será o mesmo, independente da distância entre as unidades, variando apenas a sua amplitude. O sinal de referência será obtido experimentalmente.

Para realizar um teste inicial de todo o projeto, optou-se em realizar o tratamento do sinal digitalizado via PC devido à maior facilidade em desenvolver o software de correlação dos sinais (ver capítulo 10). A figura a seguir ilustra a idéia central do tratamento digital do sinal:

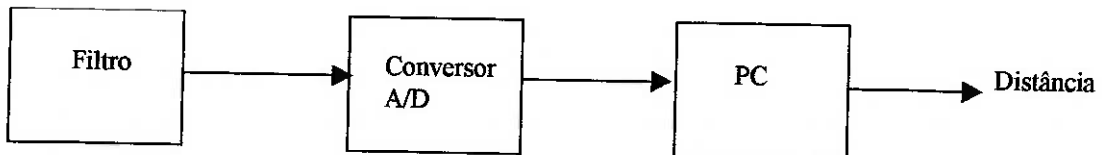


Figura 8.10. – Tratamento digital do sinal

O circuito que realizará a digitalização do sinal da saída do filtro, precisará possuir um conversor analógico digital, uma memória que armazene o sinal digitalizado a ser posteriormente transmitido ao PC e de um clock programável a fim de se poder variar a taxa de amostragem do conversor A/D. O circuito de digitalização é ilustrado na figura a seguir:

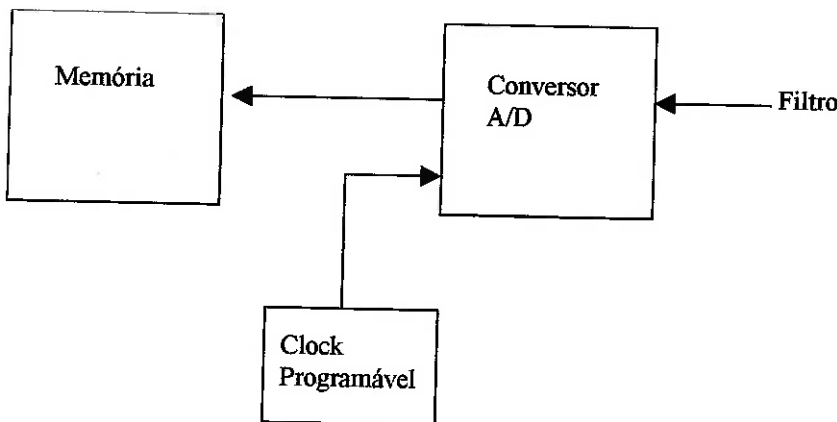


Figura 8.11. – Circuito de digitalização.

O conversor analógico digital escolhido foi o de 12 bits (AD6640) da Analog Devices. O clock deste conversor é fornecido pelo Clock Generator ICD2061A da CYPRESS, cuja freqüência é programável serialmente. Para armazenar os dados digitalizados utilizou-se da memória FIFO CY7C4261 da

CYPRESS de 9 bits e 16 K de memória, portanto, foi necessária a utilização de duas memórias FIFO.

Para controlar o circuito de digitalização escolheu-se utilizar o microcontrolador PIC. Este possui a função de programar o Clock Generator, de controlar a escrita e a leitura da memória FIFO e enviar os dados para o PC, não possuindo nenhum controle sobre o conversor A/D que funciona o tempo todo. O clock da escrita da FIFO é feito pelo próprio Clock Generator e a habilitação da mesma é realizada pelo PIC. Para realizar a leitura da FIFO é necessário que o PIC habilite a memória para leitura e que produza o clock de leitura. Já para a programação do Clock Generator, o PIC precisa enviar os dados de programação e realizar o clock de leitura destes dados.

Buffers são utilizados para manter a saída das memórias, a fim de permitir que o PIC leia estes dados e os envie serialmente para o PC. O esquema do circuito de digitalização completo é ilustrado pela figura a seguir:

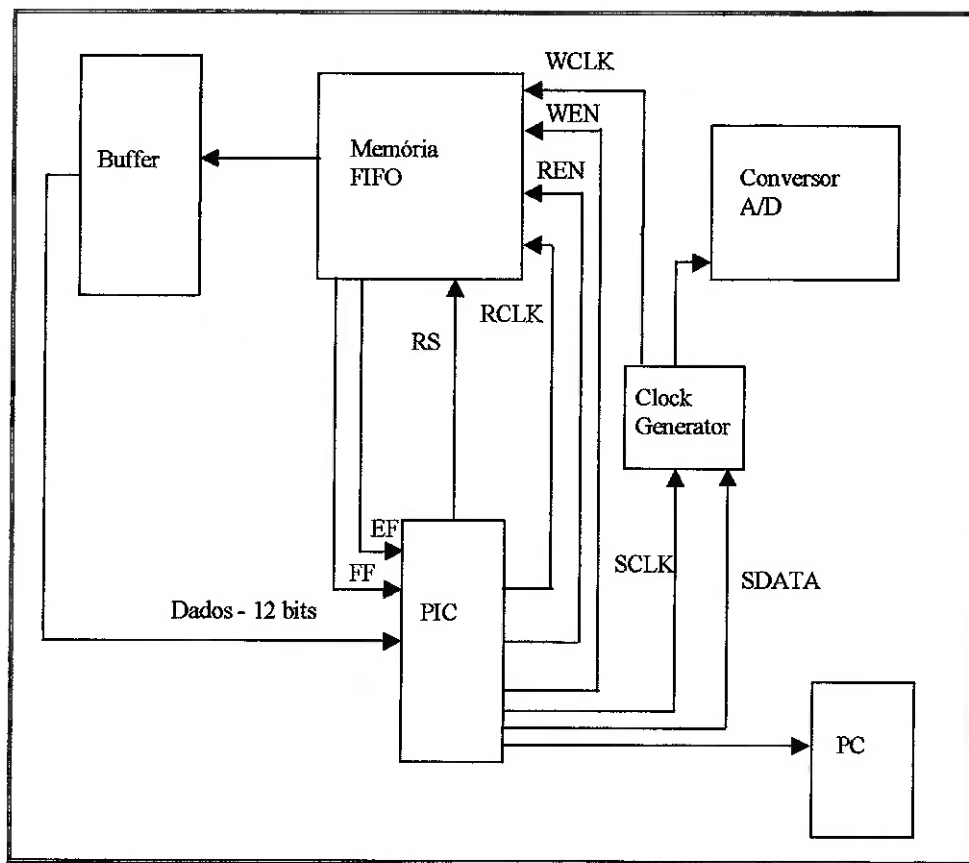


Figura 8.12. – Esquema do circuito de digitalização

Onde :

WCLK: clock da escrita na FIFO;
WEN: habilitação da escrita na FIFO;
REN: habilitação da leitura da FIFO;
RCLK: clock de leitura da FIFO;
EF: flag que indica se a memória está vazia;
FF: flag que indica se a memória está cheia;
RS: reset da FIFO;
SDATA: envia dados de programação para o Clock Generator;
SCLK: produz o clock de leitura dos dados de programação.

O microcontrolador PIC necessita de 12 pinos de entrada para ler os dados, 2 pinos para ler os flags (EF e FF) da memória, 2 pinos para habilitar leitura e escrita, 1 pino para realizar o clock da leitura, 1 pino para realizar o reset da FIFO, 2 pinos para realizar a comunicação serial com o PC e mais 2 pinos para realizar a programação do clock.

Este PIC além de realizar o controle do circuito de digitalização ele terá que também efetuar a emissão da unidade, ou seja, produzir o trem de pulsos. Desta forma são necessários 23 pinos, porém o PIC 16C73B utilizado possuí apenas 22 pinos I/O (ports A, B e C). Portanto, foi necessário o compartilhamento de pinos, que foi feito através da utilização de dois Buffer e de uma porta inversora, como ilustra a figura a seguir:

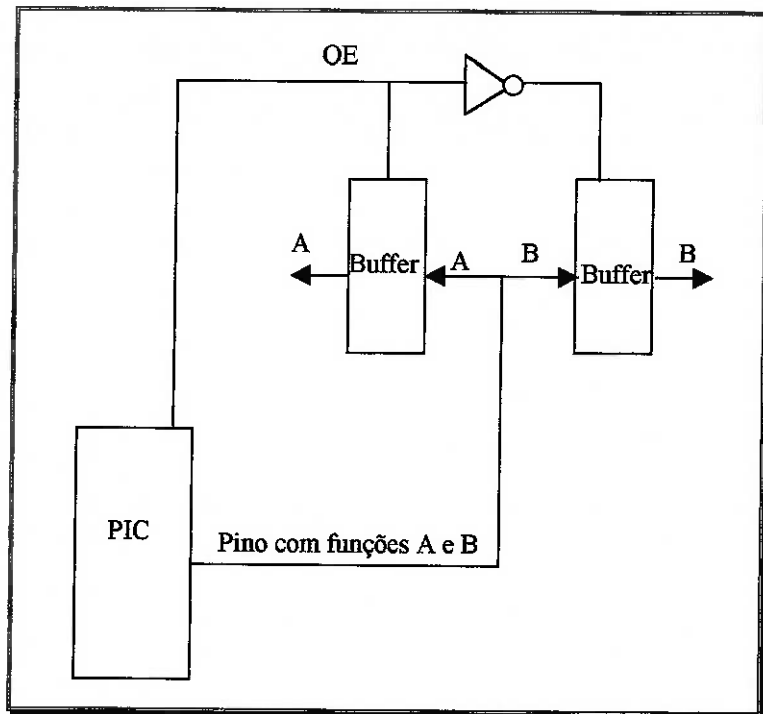


Figura 8.13. – Compartilhamento de pinos do PIC

O compartilhamento funciona da seguinte forma: um pino do PIC, que possui duas funções A e B, alimenta dois Buffer, cujas habilitações são feitas por outro pino (OE), de forma que quando um dos Buffer estiver habilitado o outro estará desabilitado, sendo isto obtido através da utilização da porta inversora.

Os circuitos completos do circuito de digitalização e do circuito responsável pelo seu controle estão no anexo B, bem como a sua conexão com a unidade móvel.

9 Softwares desenvolvidos

Nesta seção será discutida os programas feitos para o PIC e para o PC.

9.1 Programação do PIC

Para a unidade móvel realizaram-se dois tipos de programação, uma para o tratamento digital e outro para o tratamento analógico. Já para a unidade fixa foi realizada apenas a programação para o tratamento analógico. A seguir será explicada a programação dos microcontroladores de cada unidade para os seus diferentes tipos de tratamento.

9.1.1 Programação da unidade móvel com tratamento analógico

O PIC da unidade móvel deve ser capaz de realizar as seguintes operações:

- Inicializar o sistema de emissão, ou seja, deve gerar o trem de pulsos.
- Cronometrar o tempo entre a emissão e o sinal de resposta, que receberá do circuito de recepção.
- Ser capaz de ler o sinal produzido pelo sistema de recepção da unidade móvel e analisar a sua freqüência, a fim de diferenciar o sinal de resposta da unidade fixa com possíveis ecos provenientes da emissão da própria unidade móvel.
- Cálculo da distância, ou seja, ser capaz de realizar a multiplicação entre o tempo cronometrado e a velocidade do som na água.
- Comunicar com o PC (unidade de comando), a fim de receber novas configurações e enviar o valor da distância.

Para cada uma das operações foram escolhidos os periféricos necessários do PIC a fim de realizá-las.

Emissão: Para gerar o trem de pulsos utilizou-se a excitação do pino 2 do PORTB, configurado como saída. O período, a largura do pulso e a duração do trem de pulsos são determinados através de constantes previamente programadas.

Cronometragem: Para realizar a cronometragem utilizou-se o Timer 1 (2 bytes) e quando este estoura, ocorre uma interrupção e um registrador de uso geral de 1 byte (variável) é setado. Portanto, a cronometragem é de 3 bytes, a fim de se obter uma faixa de medida de tempo adequada.

Leitura do sinal de resposta: Para que seja possível a análise da freqüência do sinal de resposta foi utilizado o Timer0 com sua freqüência de clock obtida externamente, ou seja, pelo pino 4 do PORTA, que será a entrada do sinal de resposta.

Multiplicação: Como o PIC não possui instrução de multiplicação, essa operação foi implementada por software através de uma macro que realiza multiplicação de 8 bits por 8 bits. Como a multiplicação é de 24 bits por 24 bits, os números são decompostos em bytes, as operações são feitas e a resposta de 48 bits é composta. Foi decidido usar 3 bytes para armazenar a velocidade do som. Pode ser programada uma velocidade de até 1670 m/s com precisão de 0,1 mm/s.

Comunicação com o PC: Para a comunicação com o PC, foi decidido usar uma comunicação serial assíncrona, portanto, o periférico USART foi utilizado. Foram implementadas macros para a comunicação serial: uma macro para receber dado do PC e armazenar na memória do PIC, uma macro para enviar um byte para o PC e uma macro para enviar o conteúdo de um endereço para o PC.

A listagem do programa implementado para esta função se encontra no anexo E deste trabalho.

9.1.2 Programação da unidade fixa com tratamento analógico

O PIC da unidade fixa deve, ao receber o sinal de recepção, gerar o trem de pulsos. Porém, antes de enviar a resposta, o mesmo deve esperar um certo tempo, isto para evitar situações nas quais a unidade móvel receba a resposta antes de terminar o sinal de emissão, podendo isto ocorrer quando a unidade móvel está muito perto da fixa.

Para realizar a emissão e a análise do sinal de resposta, utilizou-se o mesmo software da unidade móvel com tratamento analógico. Já para realizar o tempo de espera utilizou-se o Timer0 com prescaler de 1:64, ou seja, o tempo de espera para o clock de 20 MHz, é obtido por:

$$t_{\text{espera}} = \frac{256 \cdot 16}{20000000} = 8,19 \cdot 10^{-4} \text{ s} \quad (33)$$

4

A listagem do programa implementado para esta função se encontra no anexo F deste trabalho.

9.1.3 Programação da unidade móvel com tratamento digital

O PIC da unidade móvel deve ser capaz de realizar as seguintes operações:

- Programar serialmente o clock da placa A/D.
- Realizar a amostragem do sinal recebido, ou seja, habilitar a escrita na memória FIFO.
- Ser capaz de limpar a FIFO.
- Realizar a emissão, ou seja, a geração do trem de pulsos.
- Realizar a leitura da memória FIFO e transmitir estes dados ao PC.
- Verificar os flags da memória FIFO que indicam se a mesma está cheia (Full Flag) ou vazia (Empty Flag).

- Comunicar com o PC (unidade de comando), a fim de receber novas configurações e enviar o conteúdo da memória FIFO.

Para cada uma das operações foram escolhidos os periféricos necessários do PIC a fim de realizá-las.

Programação do clock: Para este procedimento foram necessários dois pinos, ambos programados como output, um para enviar os dados de programação (pino 0 do PORTA) e outro para ser o clock de leitura destes dados (pino 1 do PORTA).

Escrita na memória FIFO: Como o clock de escrita da FIFO é produzido pelo clock generator, para realizar a sua escrita é necessária apenas a utilização de um port para habilitar a escrita (pino 2 do PORTA), programado como output.

Limpar a FIFO: Utiliza-se o pino 3 do PORTA como reset da FIFO, sendo programado como output.

Emissão: Para realizá-la utiliza-se o pino 2 do PORTA, programado como output.

Leitura: Para este procedimento foram necessários dois ports, um para habilitar a leitura (pino 0 do PORTA) e outro para realizar o clock de leitura (pino 1 do PORTA), ambos programados como output. Os 12 bits fornecidos pela FIFO são lidos por todos os pinos do PORTB (8 pinos) e pelos pinos 0 a 3 do PORTC, todos programados como input.

Verificar flags: Utiliza-se os pinos 4 e 5 do PORTC, ambos programados como input, para verificarem respectivamente o Empty Flag e o Full Flag da FIFO.

A listagem do programa implementado para esta função se encontra no anexo D deste trabalho.

9.2 Programação do PC

O software utilizado para realizar a interface entre o PC e o PIC foi o Pacific C. A programação da interface do PC com a unidade móvel para os diferentes tipos de tratamento de sinal, será explicada nos próximos itens.

9.2.1 Programação do PC para tratamento analógico

Este programa realizará a interface entre o PC e o PIC da unidade móvel com tratamento analógico.

O programa do PC é um programa simples. A função dele é receber comandos do usuário, verificar sua validade, enviar os comandos ao PIC e receber respostas. Está preparado para enviar/receber dados das portas COM1, COM2, COM3 e COM4.

O programa do PC e da unidade móvel foram desenvolvidos em conjunto e ambos só funcionam se estiverem rodando ao mesmo tempo e se a comunicação serial estiver ligada corretamente.

Lista de Comandos:

Os comandos reconhecidos pelo PIC são todos enviados pelo PC. A seguir, encontra-se uma lista dos comandos disponíveis ao usuário:

Realizar localização: o PC envia um comando ao PIC. O comando é reconhecido e o microcontrolador gera o trem de pulsos para acionamento do transdutor. A cronometragem do tempo começa e a unidade móvel se prepara para receber o sinal de resposta. Se a resposta da unidade fixa é recebida, a distância é calculada e enviada ao PC, que imprime a resposta na tela

Modo de teste: através desse modo o PIC fica enviando trens de pulsos continuamente, existindo um espaçamento entre eles. Este modo é utilizado para que se possa analisar, por exemplo, o sinal de resposta da unidade fixa.

Reiniciar comunicação: se por algum motivo o PIC é resetado durante a execução do programa da unidade de comando ou o programa da unidade de comando é reiniciado quando o programa do PIC já está rodando,

esse comando permite o reestabelecimento da comunicação entre o PIC e o PC.

Verificar Parâmetros programados: esse comando é enviado ao PIC, que envia os valores programados na sua memória de velocidade, largura de pulso, período dos pulsos e duração do trem de pulsos.

Programar velocidade: esse comando permite que um novo valor de velocidade do som seja programado no PIC. Quando o PIC é inicializado, o valor default de 1500m/s é armazenado na memória. Esse valor pode ser modificado através desse comando.

Programar largura de pulso: esse comando permite que um novo valor de largura de pulso seja programado no PIC.

Programar período dos pulsos: esse comando permite que um novo valor de período seja programado no PIC.

Programar duração do trem de pulsos: esse comando permite que um novo valor de duração do trem de pulsos seja programado no PIC.

Ajuda: esse comando exibe uma lista dos comandos e sua sintaxe.

Finalizar programa: termina a execução do programa da unidade de comando. O programa da unidade móvel, no entanto, permanece rodando.

A listagem do programa implementado para esta função se encontra no anexo G deste trabalho.

9.2.2 Programação do PC para tratamento digital

Este programa realizará a interface entre o PC e o PIC da unidade móvel com tratamento digital.

O programa é similar ao anterior, mudando apenas alguns comandos, que serão comentados a seguir:

Lista de Comandos:

Os comandos reconhecidos pelo PIC são todos enviados pelo PC. A seguir, encontra-se uma lista dos comandos disponíveis ao usuário:

Programar clock: o PC envia a palavra de programação, obtida pelo software BITCALC, e o microcontrolador programa serialmente o clock.

Realizar localização: o PC envia um comando ao PIC. O comando é reconhecido e o microcontrolador gera o trem de pulsos para acionamento do transdutor. Logo em seguida o PIC escreve na memória FIFO até a mesma encher.

Limpar FIFO: permite resetar a memória FIFO.

Ler memória FIFO: permite ler os dados armazenados na memória e transmiti-las para o PC. Convém mencionar, que para não existir erro de leitura por parte do PC, realizou-se o seguinte protocolo: para cada dado enviado pelo PIC o PC responde se recebeu ou não corretamente, se o primeiro ocorrer o PIC envia outro dado, porém, se o segundo ocorrer o PIC envia novamente o mesmo dado enviado anteriormente.

Modo de teste: idem ao programa anterior.

Reinicializar comunicação: idem ao programa anterior.

Verificar Parâmetros programados: esse comando é enviado ao PIC, que retorna os valores programados da freqüência do clock, do status da FIFO (cheia, vazia, não cheia e erro).

Ajuda: esse comando exibe uma lista dos comandos e sua sintaxe.

Finalizar programa: termina a execução do programa da unidade de comando. O programa da unidade móvel, no entanto, permanece rodando.

A listagem do programa implementado para esta função se encontra no anexo H deste trabalho.

10. O Algoritmo da Correlação

Os estudos realizados para entendimento da teoria contida neste capítulo, foram baseados na referência [4].

Este algoritmo tem por finalidade a determinação do início de uma onda de referência, com um determinada freqüência, que se encontra em algum lugar de um sinal amostrado.

O algoritmo se baseia na Transformada de Fourier, cujo conceito está explicado no próximo item.

10.1. Transformada de Fourier para Amostragens Discretas

Nas comuns situações, a transformada de Fourier deve ser aplicada a uma função $h(t)$, amostrada por algum meio de aquisição de dados, como é o caso do tratamento digital realizado neste trabalho. Assim, conclui-se que os pontos amostrados são adquiridos a uma determinada taxa de amostragem (Δ), que deve ser constante entre dois pontos amostrados consecutivos.

Pelo teorema de Nyquist, a freqüência de amostragem (f_c) do sinal deve ser de no mínimo 2 vezes a freqüência do sinal a ser amostrado, para que se possa evitar o aliasing da amostra.

Definidos estes conceitos, supondo que há uma função de amostragem dada por:

$$h_k \equiv h(t_k), \text{ onde } t_k \equiv k\Delta, \text{ e } k = 0, 1, 2, K, N - 1 \quad (34)$$

a transformada de Fourier para os N pontos amostrados, seria:

$$H_n = \sum_{k=0}^{N-1} h_k \cdot e^{-\frac{2\pi i k n}{N}} \quad (35)$$

onde o índice "n" varia de $-\frac{N}{2}$ até $\frac{N}{2}$, já que a freqüência da transformada, dada por:

$$f_n = \frac{n}{N\Delta}, \quad (36)$$

deve seguir o teorema de Nyquist, limitando o valor de "n" entre os valores acima especificados.

A partir da equação (35), define-se a transformada inversa de Fourier como:

$$h_k = \frac{1}{N} \sum_{n=0}^{N-1} H_n \cdot e^{-\frac{2\pi i kn}{N}} \quad (37)$$

10.2. A Transformada Rápida de Fourier (FFT)

A partir da formulação mostrada no item anterior, definiu-se um algoritmo para o cálculo das transformadas de Fourier por meio de computadores. O principal meio de produzir este cálculo rapidamente, é por meio da Transformada Rápida de Fourier.

Este algoritmo pode ser explicado da seguinte forma:

Primeiramente, dividindo-se a equação (35) em dois termos:

$$\begin{aligned} F_k &= \sum_{j=0}^{N-1} \left(e^{\frac{2\pi i j k}{N}} \right) f_j = \\ &= \sum_{j=0}^{\frac{N}{2}-1} \left(e^{\frac{2\pi i k(2j)}{N}} \right) f_{2j} + \sum_{j=0}^{\frac{N}{2}-1} \left(e^{\frac{2\pi i k(2j-1)}{N}} \right) f_{2j+1} \Rightarrow \\ &\Rightarrow F_k = F_k^e + W^k \cdot F_k^o \end{aligned} \quad (38)$$

onde F_k^e e F_k^o são as parcelas pares e ímpares e "W" é definido por:

$$W = e^{\frac{2\pi i}{N}} \quad (39)$$

Assim, ainda pose-se dividir cada termo da equação (38) por mais dois termos, usando a transformada para $\frac{N}{4}$. A grande vantagem deste método é a possibilidade do cálculo recursivo.

10.3. Correlação Usando FFT

A correlação consiste num método de se comparar duas funções distintas mas representadas por um mesmo tipo de dado. A correlação é verificada, sobrepondo-se as duas funções, com uma delas se “movimentando” sobre a outra.

A correlação entre duas funções $g(t)$ e $h(t)$ pode ser denotada como:

$$\text{Corr}(g,h)(t) = \text{Corr}(h,g)(-t) \quad (40)$$

O valor da correlação é maior no instante de tempo onde a função $g(t)$ é próxima de uma cópia de $h(t)$

A correlação de funções discretas g_k e h_k , ambas com período n , é dada por:

$$\text{Corr}(g,h)_j = \sum_{k=0}^{N-1} g_j \cdot h_k \quad (41)$$

Esta correlação pode ser escrita em termos da transformada discreta de Fourier, de modo que tem-se:

$$\text{Corr}(g,h)_j = G_k \cdot H_k^* \quad (42)$$

onde G_k e H_k são as transformadas de Fourier de g_i e h_i , e o asterisco denota conjugado da função.

Concluindo, pode-se computar a correlação entre duas amostras, utilizando FFT. O procedimento para isto seria a obtenção da Transformada Rápida das duas funções, a multiplicação da transformada de uma pelo conjugado da transformada da outra e a posterior obtenção da transformada inversa deste produto. Assim, a partir dos valores da correlação obtidos para cada ponto da função discretizada g_i , conclui-se que o ponto com o maior valor da correlação é o ponto onde a sobreposição desta onda com a função h_i obteve melhor resultado.

10.4. Programa Implementado

Para se fazer o tratamento digital do sinal de resposta do alvo fixo, como já explicado anteriormente, foi implementado um programa que realiza a correlação entre o sinal recebido pelo o veículo móvel e o sinal de referência da resposta do alvo fixo. Este programa foi feito pelo software MATLAB, de forma que a determinação do ponto de máximo valor da correlação foi feito a partir de um interpolação por um função do segundo grau dos três pontos de maior valor da correlação. A listagem deste programa esta contida no anexo I deste trabalho.

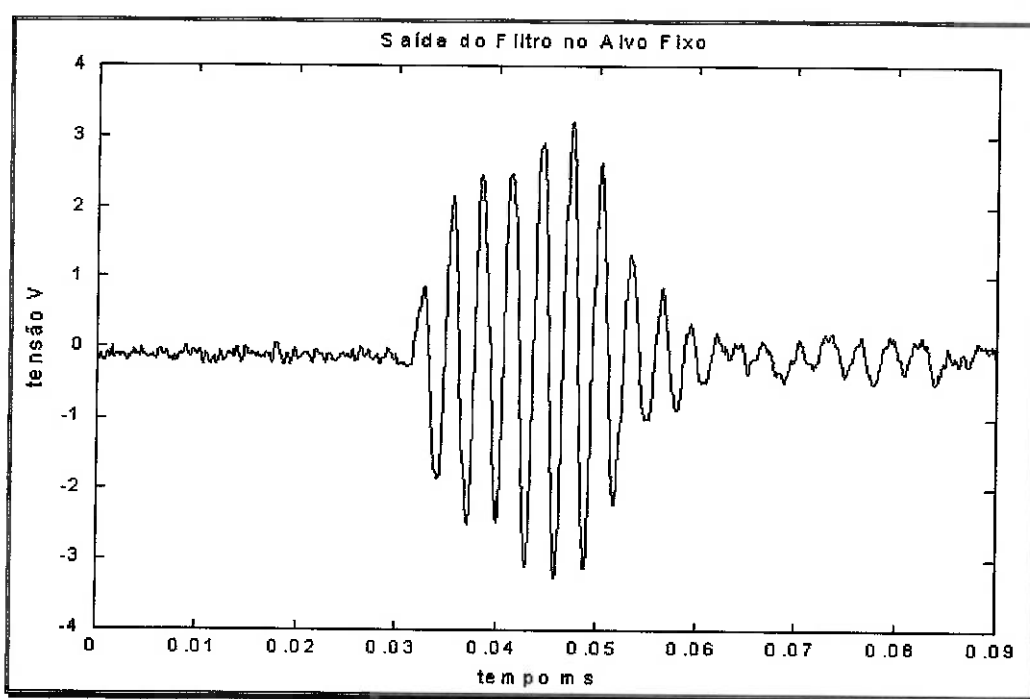
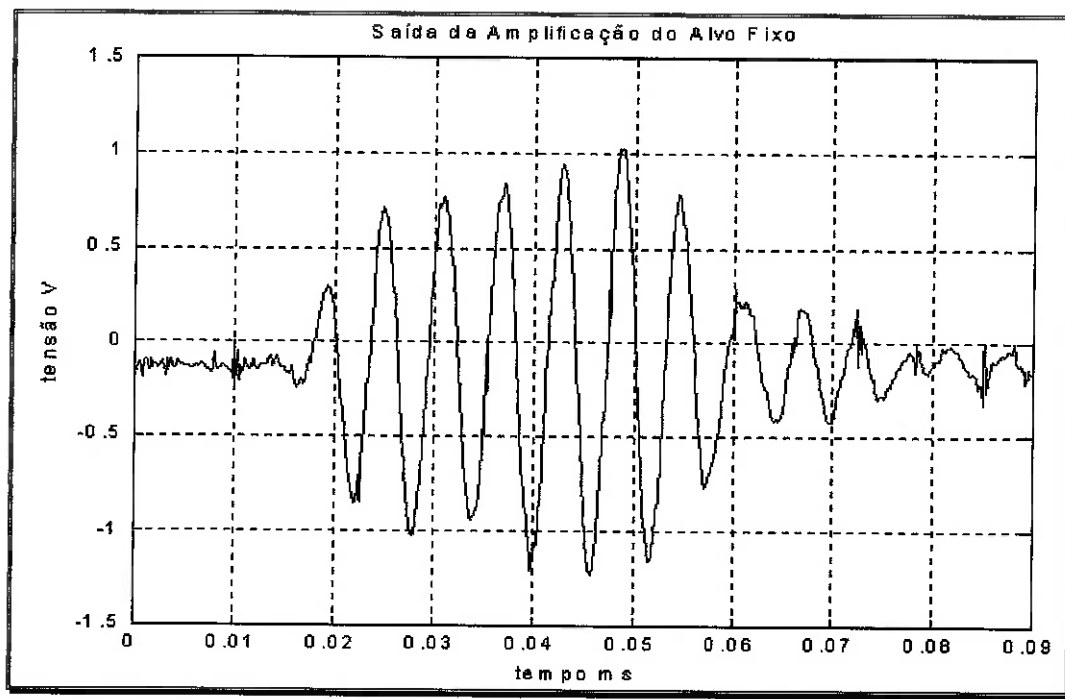
11. Testes Realizados

A fim de testar os circuitos do veículo móvel e do alvo fixo, bem como analisar a acurácia e precisão dos métodos digital e analógico de tratamento de sinais, vários testes foram realizados, sendo que os projetos dos circuitos utilizados para estes testes (realizados em um tanque com dimensões bem definidas), juntamente como os ganhos utilizados nas etapas de amplificação, estão mostrados nos anexos A, B e C.

A determinação da acurácia do circuito analógico é muito importante, visto que não foi possível realizar o tratamento digital no circuito do alvo fixo. Deste modo, erros como o mostrado na figura 8.9., onde um pulso é “perdido” pelo detector de limiar, podem ocorrer na medição da distância.

11.1 Teste dos circuitos de recepção

Para se realizar este teste, primeiramente, colocou-se a unidade móvel a emitir sinais seguidamente, segundo um intervalo de tempo pré - determinado, de modo a se poder adquirir dados do circuito de recepção do alvo fixo. Assim sendo, os sinais recebidos estão mostrados nas figuras 11.1., 11.2., 11.3. para a saída do segundo estágio da etapa de amplificação, o filtro e o detector de limiar respectivamente:



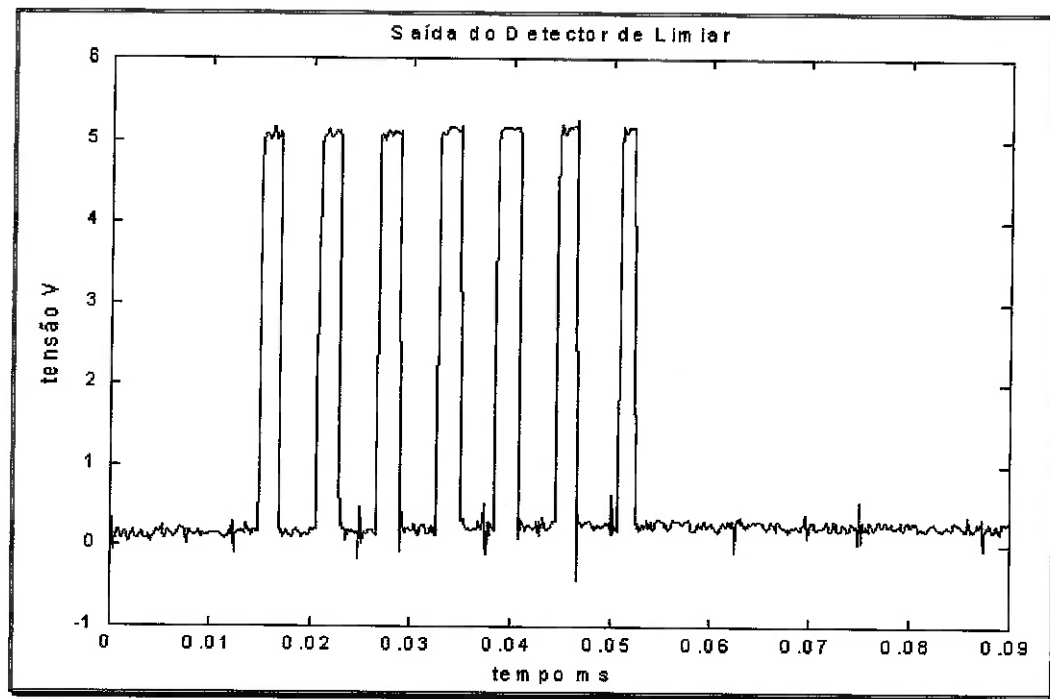


Figura 11.3. - Sinal na saída do detector de limiar

Feito isso, preparou-se o teste para o circuito de recepção do veículo móvel. Para isso, colocou-se um gerador de funções no lugar do comparador de tensão da recepção do alvo fixo, de modo que o circuito perceba a existência de um sinal de resposta à uma freqüência regulada pelo gerador de funções, que estará dentro da faixa esperada pelo controlador deste circuito. Assim sendo, os sinais amostrados no amplificador, filtro e detector de limiar do veículo móvel, estão mostrados nas figuras a seguir:

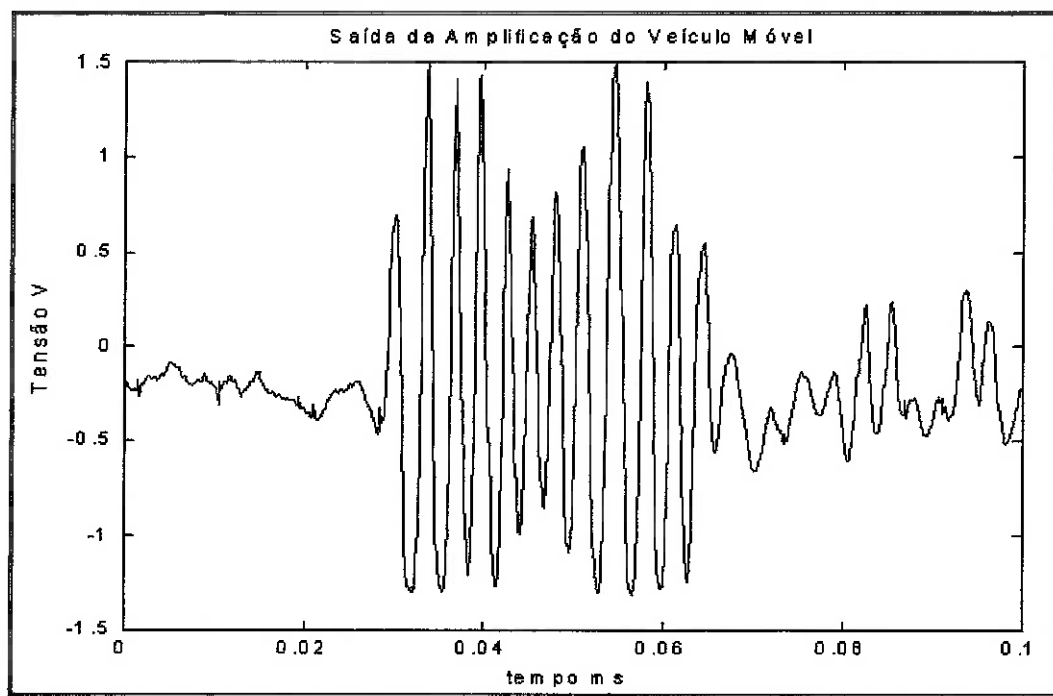


Figura 11.4. - Sinal na saída do segundo estágio de amplificação

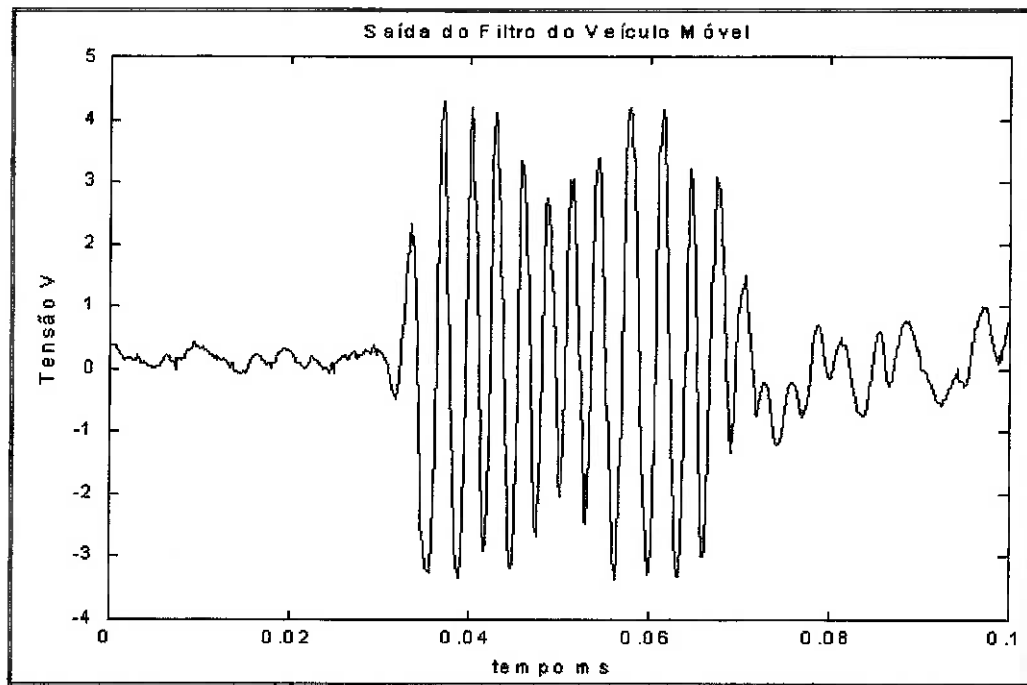


Figura 11.5. - Sinal na saída do filtro

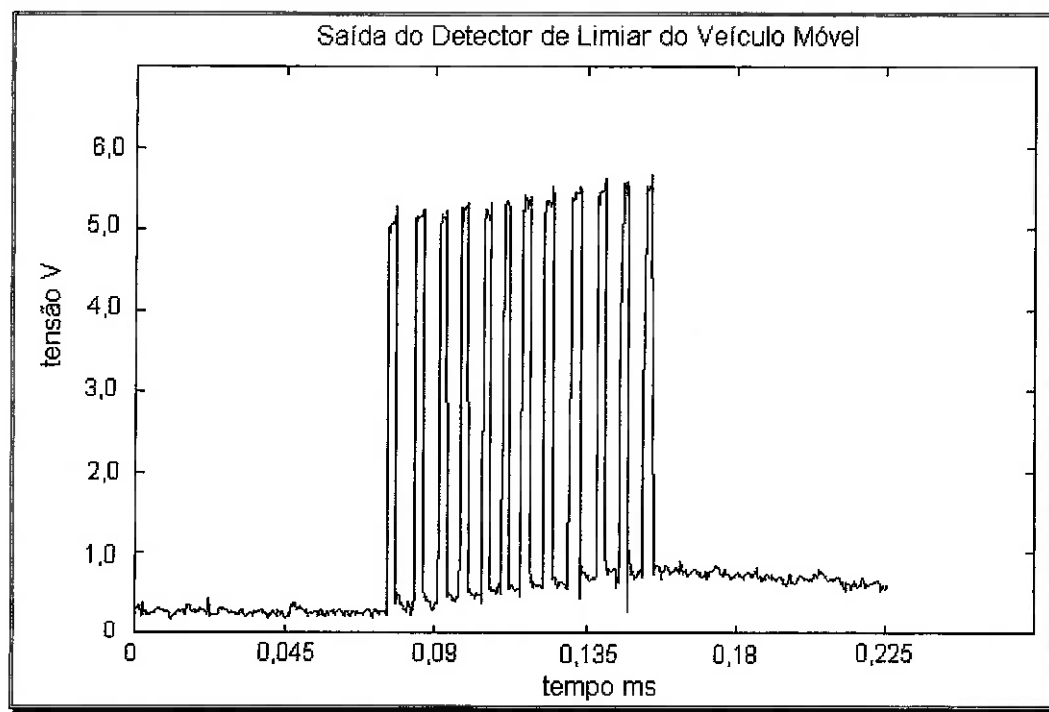


Figura 11.6. - Sinal na saída do detector de limiar

11.2 Testes do tratamento digital

Para averiguar a acurácia e precisão do tratamento de sinal digital no cálculo da distância, realizou-se um experimento, no qual os dois transdutores conectados às suas respectivas placas foram postos submersos em lados opostos de um reservatório de água de 47 cm de comprimento, 32 cm de largura e 26 cm de profundidade. A disposição do experimento está esquematizada na figura a seguir:

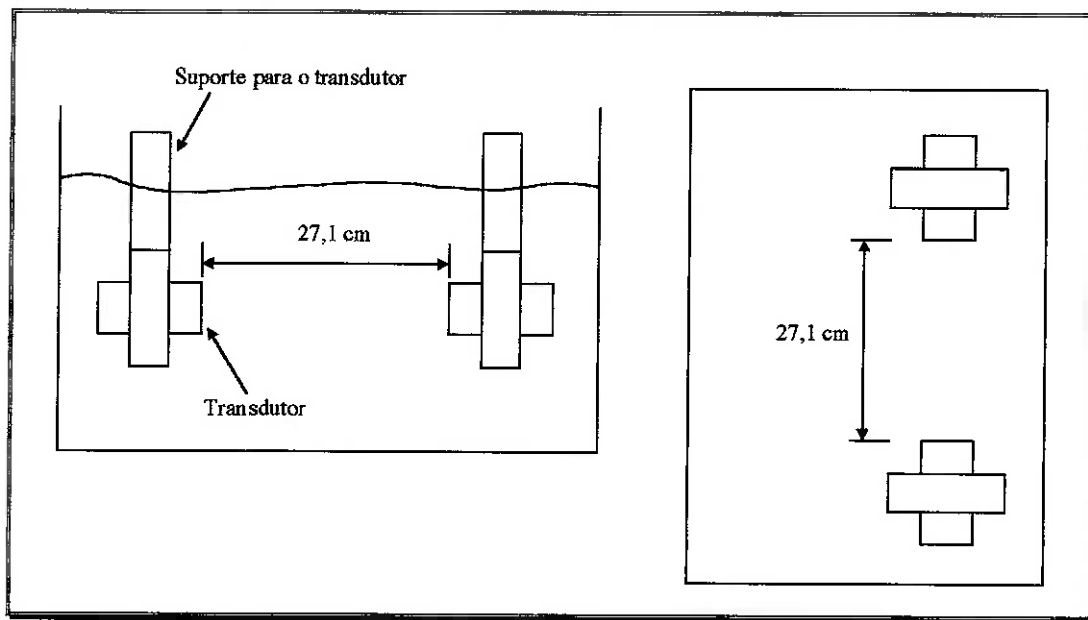


Figura 11.7. - Esquema da disposição dos transdutores no experimento

Convém mencionar que para a realização deste experimento, apenas a unidade móvel possuí tratamento de sinal digital, sendo o tratamento da unidade fixa analógico. Desta forma, para que a determinação da acurácia do tratamento de sinal digital não seja comprometida pelo tratamento analógico, os ganhos dos amplificadores bem como a tensão de referência do detector de limiar foram ajustados, de forma que o erro ilustrado pela figura 8.9 não ocorra.

O primeiro passo para realizar o teste, foi a obtenção de um onda de referência para que se possa realizar o algoritmo da correlação no tratamento do sinal amostrado pelo conversor A/D. Para isto, induziu-se o alvo fixo a emitir o sinal de resposta utilizando-se um gerador de função, que cria uma onda quadrada com freqüência entre 130 kHz e 155 kHz, que nada mais é que a faixa onde estará contida a freqüência do sinal emitido pelo veículo móvel. A unidade móvel ficou amostrando o sinal de resposta, e a partir desta amostragem, selecionou-se experimentalmente, os pontos que representam a recepção deste sinal. Concluindo, este conjunto de pontos serão a referência para que se possa realizar o algoritmo da correlação. O sinal de referência amostrado foi:

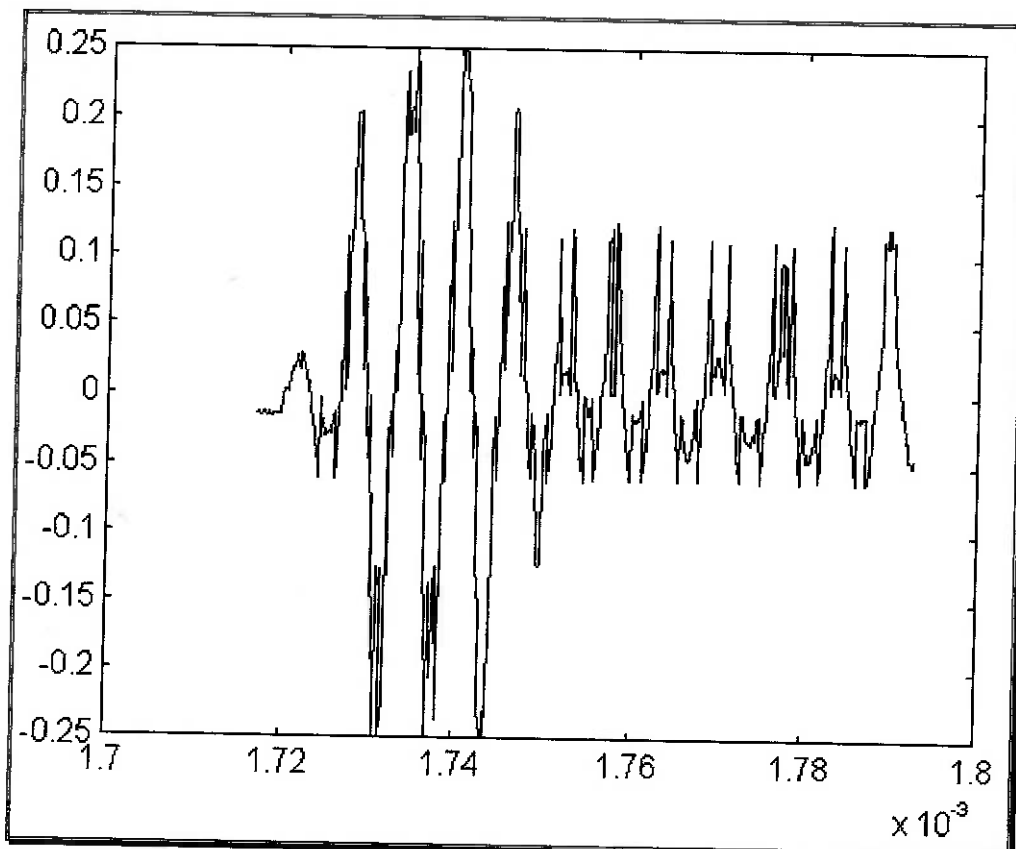


Figura 11.8. – Sinal de referência para o algoritmo da correlação

Feito isso, o próximo passo foi a determinação da velocidade do som na água que preenche o reservatório, submetidas às condições do local. Para isto, realizou-se uma medida de distância, apenas com o intuito de amostrar os sinais de retorno no transdutor do veículo móvel. Assim, o que se observou foi:

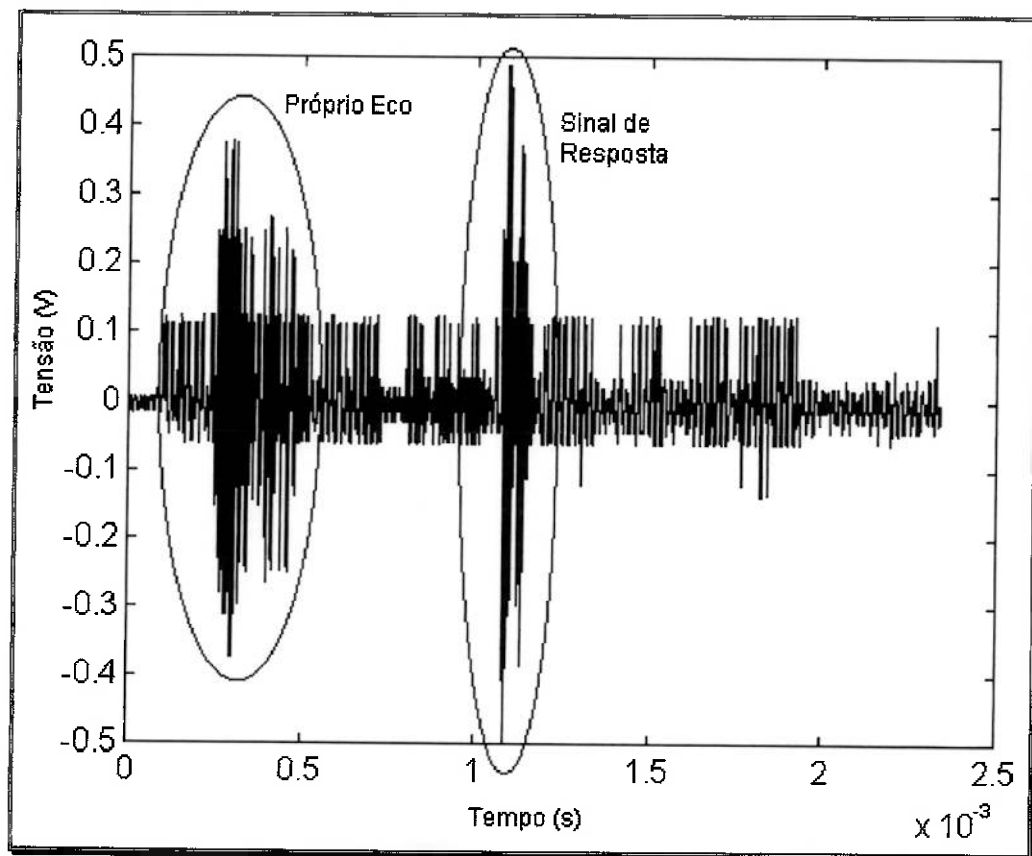


Figura 11.9. - Sinal amostrado no veículo móvel na disposição inicial

Assim, observa-se que antes da resposta emitida pelo alvo fixo, existem ecos, provenientes da própria emissão do sinal do veículo móvel. Observando-se o gráfico, verificou-se que o tempo do início da amostragem e a percepção do primeiro eco (que seria da reflexão da onça acústica no transdutor do alvo fixo) foi de 0,22 ms. Porém, o tempo entre o início da amostragem e o início da emissão pelo veículo móvel é de 0,155 ms (tempo programado), portanto o tempo entre a emissão do sinal e a recepção do próprio eco foi de 0,375 ms. Sabendo-se que a distância entre os transdutores é de vinte e seis centímetros, conclui-se que a velocidade do som na água é de 1400m/s.

Possuindo a velocidade do som na água e o sinal de referência, agora é possível realizar o cálculo da distância a partir dos sinais amostrados. Para a disposição indicada pela figura 11.7, foram realizadas dez amostragens, de modo a verificar a repetibilidade e acurácia do projeto. Os resultados estão contidos na tabela a seguir:

Medida	Distância (m)
1	0,2666
2	0,2688
3	0,2689
4	0,2687
5	0,2691
6	0,2691
7	0,2690
8	0,2690
9	0,2689
10	0,2687
Média	0,2689
Desvio	0,0002

Tabela 3 – Distâncias medidas para o primeiro experimento

Agora, utilizando-se a mesma velocidade do som calculada anteriormente, realizou-se uma nova medida de distância, porém com uma mudança na disposição dos transdutores, que está mostrada na figura a seguir:

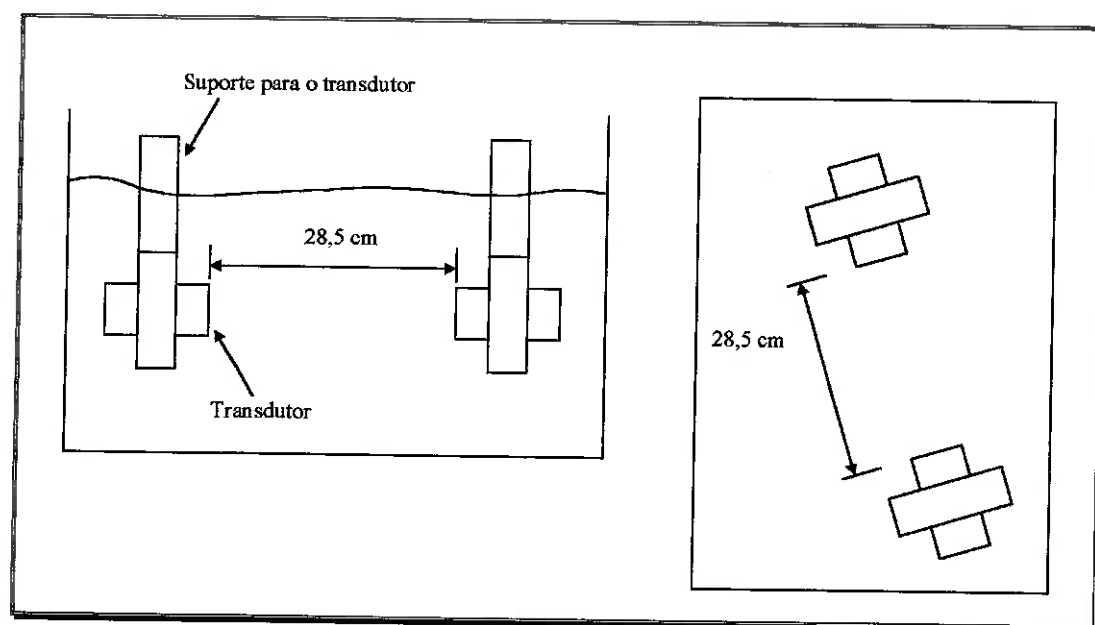


Figura 11.9. - Disposição dos transdutores para o novo experimento

Assim, o sinal amostrado foi o seguinte:

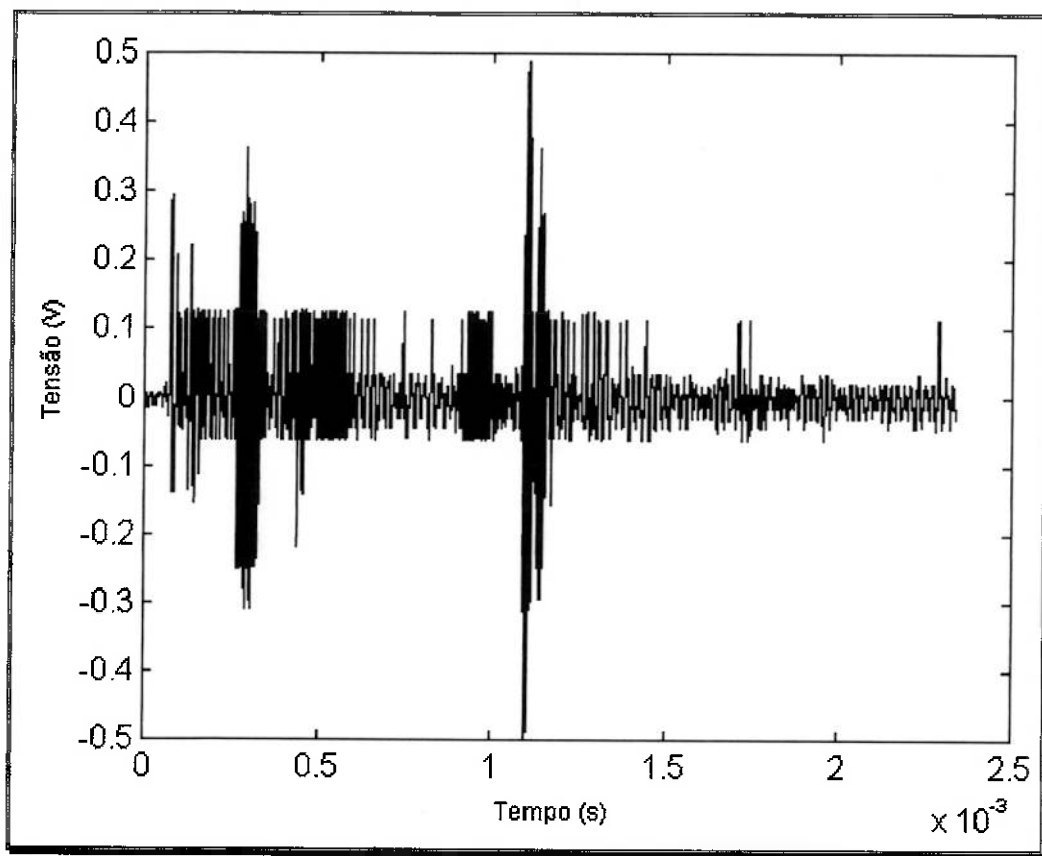


Figura 11.10. - Sinal amostrado no segundo experimento

E aplicando-se o mesmo algoritmo do primeiro experimento, com a mesma onda de referência, obteve-se as seguintes medidas:

Medida	Distância (m)
1	0,2777
2	0,2770
3	0,2774
4	0,2776
5	0,2776
6	0,2778
7	0,2777
8	0,2775
9	0,2773
10	0,2770
Média	0,2774
Desvio	0,0003

Tabela 4 – Distâncias medidas para o segundo experimento

Agora, uma outra medida foi realizada, com os transdutores posicionados segundo a figura a seguir:

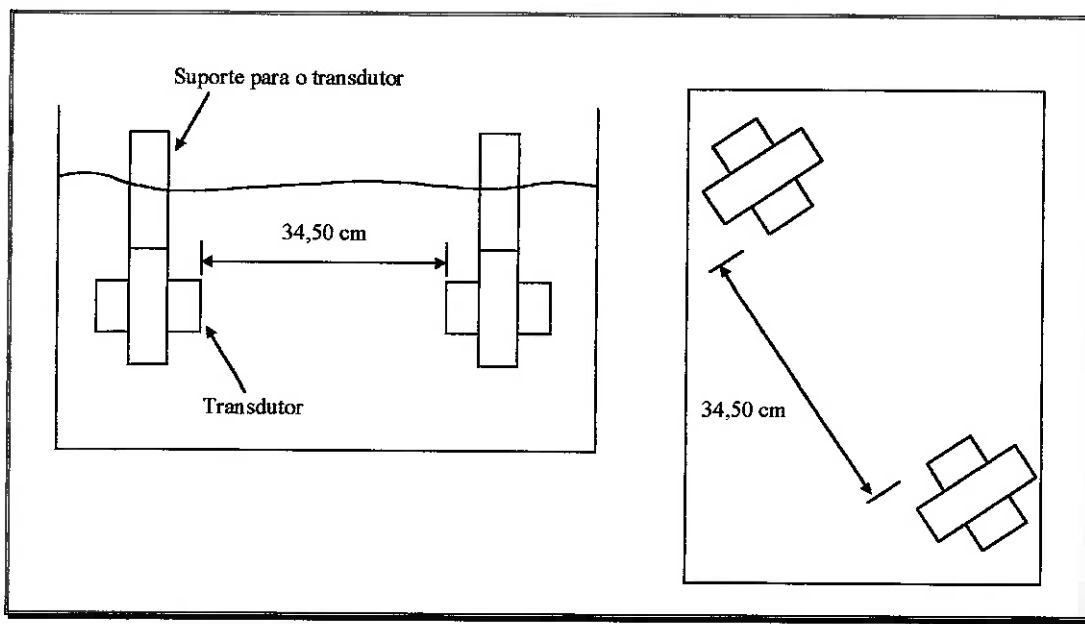


Figura 11.11. - Disposição dos transdutores para o segundo experimento

Assim, o sinal amostrado foi o seguinte:

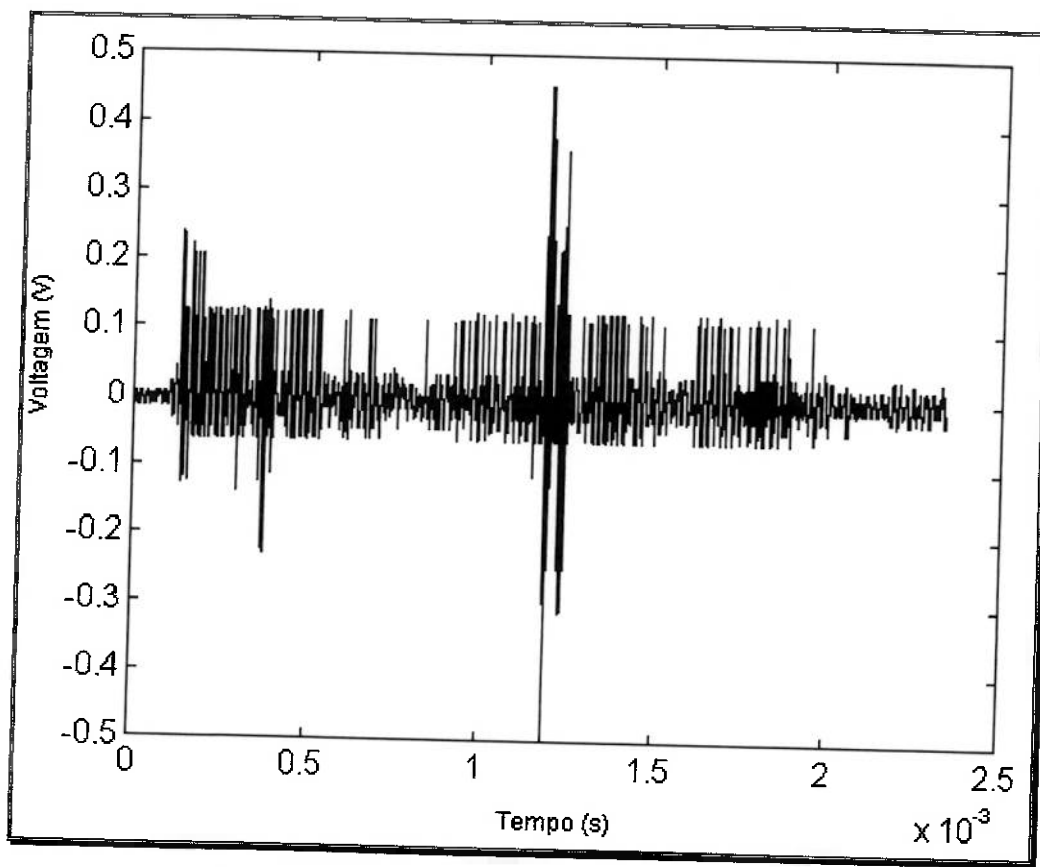


Figura 11.12. - Sinal amostrado no terceiro experimento

E, aplicando-se o mesmo procedimento, obteve-se os seguintes dados:

Medida	Distância (m)
1	0,3383
2	0,3387
3	0,3391
4	0,3390
5	0,3388
6	0,3388
7	0,3388
8	0,3389
Média	0,3389
Desvio	0,0001

Tabela 5 – Distâncias medidas para o terceiro experimento

Observa-se que a distância calculada, para os experimentos realizados, está muito próxima da real, indicando que o sistema possui uma

boa acurácia. Já o pequeno valor de desvio, na ordem de 2 a 3 décimos de milímetro, indica uma boa repetibilidade para o mesmo.

11.3 Testes do tratamento analógico

Colocando o veículo móvel para realizar a medida de distância pelo modo analógico, foram feitas várias medidas, com os transdutores dispostos segundo a figura a seguir:

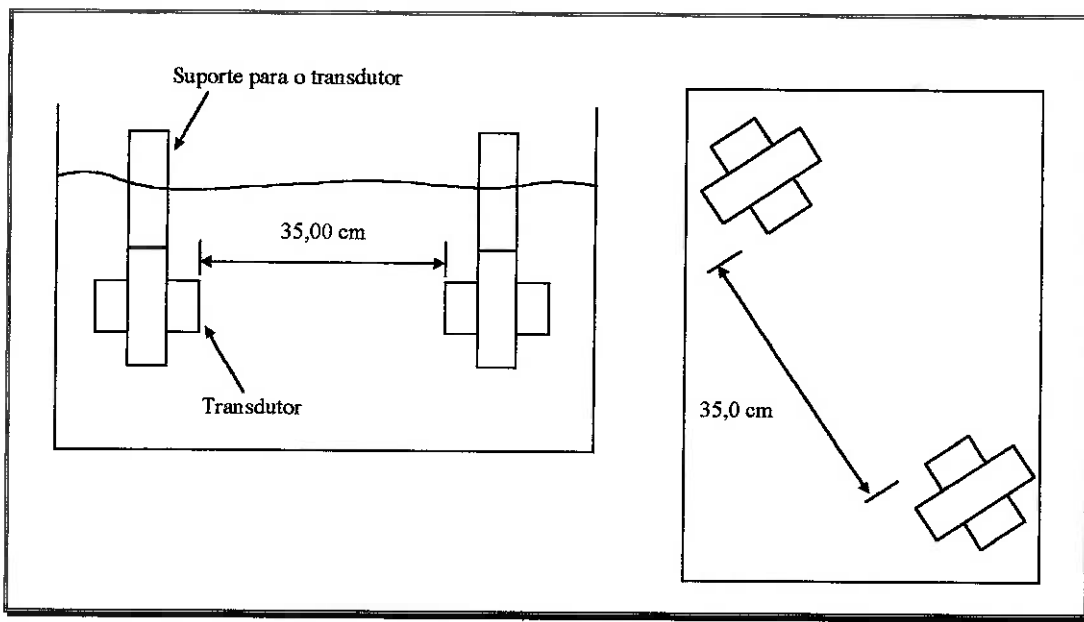


Figura 11.13. - Disposição dos transdutores para o teste analógico

E assim sendo, os dados obtidos foram:

Medida	Saída em Hexadecimal	Distância (m)
1	09e3015c00	0,3963
2	0a90746f80	0,4235
3	09e3015c00	0,3963
4	0b2deac1c0	0,4481
5	09dea41180	0,3956
6	09e2379880	0,3962
7	0b214b4b00	0,4461
8	0bba9b9a80	0,4701
9	0b3411cf0	0,4491
10	0acd8b43c0	0,4331

Média	0,4254
Desvio	0,0279

Tabela 6 - Distâncias medidas para o teste analógico

Outro teste realizado, foi o seguinte:

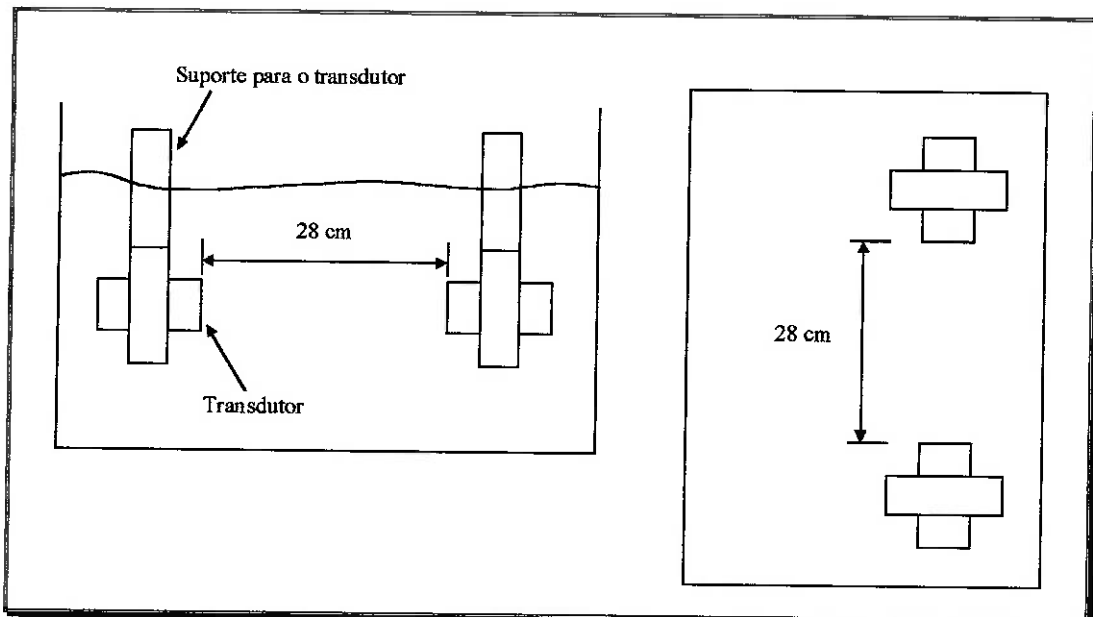


Figura 11.14. – Disposição dos transdutores para o segundo teste analógico

E os resultados obtidos foram:

Medida	Saída em Hexadecimal	Distância (m)
1	0871dc4780	0,3385
2	0813fbafc0	0,3238
3	0813fbafc0	0,3238
4	08e34d2780	0,3563
5	086e2da240	0,3380
6	0870f765c0	0,3383
7	08748aecc0	0,3389
8	088d787f80	0,3428
9	081958fa40	0,3246
10	08756fce80	0,3391

Média	0,3364
Desvio	0,0101

Tabela 7 – Distâncias medidas para o segundo teste analógico

Pelos resultados obtidos, e observações no osciloscópio, observou-se que a verificação da freqüência do sinal realizada pelo PIC pode trazer erros para a medida da distância. Isto ocorre, pela maneira pela qual o PIC faz esta verificação, que consiste na cronometragem do tempo necessário para que o sinal em questão tenha quatro bordas de subida. Como a onda de resposta analisada no circuito do veículo móvel tem um formato ruim (ver figuras 11.4. e 11.5.), é provável que haja distorções na freqüência de alguns trechos do sinal fornecido pelo detector de limiar. Assim, através de observações com o osciloscópio, constatou-se que isto realmente ocorreu para os dois experimentos, acarretando um erro de 3,25 cm, devido a não consideração de cinco bordas de subida (quatro períodos) do sinal recebido. Deste modo, corrigindo-se este erro, os resultados seriam os seguintes:

Medida	Distância (m)
1	0,3638
2	0,3910
3	0,3638
4	0,4156
5	0,3631
6	0,3637
7	0,4136
8	0,4376
9	0,4166
10	0,4006
Média	0,3929
Desvio	0,0279

Tabela 8 – Distâncias corrigidas para o primeiro teste analógico

Medida	Distância (m)
1	0,3060
2	0,2913
3	0,2913
4	0,3238
5	0,3055
6	0,3058
7	0,3064
8	0,3103
9	0,2921
10	0,3066
Média	0,3039
Desvio	0,0101

Tabela 9 – Distâncias corrigidas para o segundo teste analógico

12. Conclusões

Através dos testes realizados e de observações feitas ao longo do projeto do protótipo, chegou-se a várias conclusões:

Primeiramente, para aplicações práticas, há a necessidade de se utilizar um sistema que controle o ganho nas etapas de amplificação dos circuitos de recepção do veículo móvel e do alvo fixo. Isto é preciso devido à necessidade de um ganho mínimo para que o sinal possa excitar tanto o tratamento digital como o analógico e, por outro lado, o ganho não pode ser alto o suficiente para que os amplificadores operacionais atinjam a faixa de saturação. Porém, neste trabalho houve a necessidade de se adequar o ganho manualmente para uma dada distância a ser medida.

Uma outra observação está nas ondas recebidas pelos transdutores dos dois circuitos, que são notavelmente diferentes. Isto ocorre devido a freqüência de excitação dos transdutores. Como se sabe, os dois transdutores foram projetados para funcionar a uma freqüência de 150 kHz, logo, o sinal de recepção do transdutor do veículo móvel, que é excitado a uma freqüência de 170 kHz, apresenta uma forma de onda muito mais distorcida que a do transdutor do alvo fixo, que é excitado por um onda com freqüência de 150 kHz.

Outra constatação importante está relacionada aos problemas em se detectar o sinal corretamente utilizando o comparador de tensão LM311. Isto provém do formato da onda de resposta, recebida pelos circuitos de recepção, que possui um primeiro pulso menor que os demais, de modo que o limiar programado no LM311 possa não detectar este pulso. Caso isto ocorra, existirá um erro na medição do sinal da ordem de 9 mm. Este com certeza é um dos grandes problemas do tratamento analógico.

Um outro problema do tratamento analógico, é a verificação da freqüência recebida pelo PIC dos circuitos. Como o sinal de resposta não tem uma forma adequada, principalmente na recepção do veículo móvel, os primeiros pulsos detectados pelo LM311 podem apresentar uma freqüência

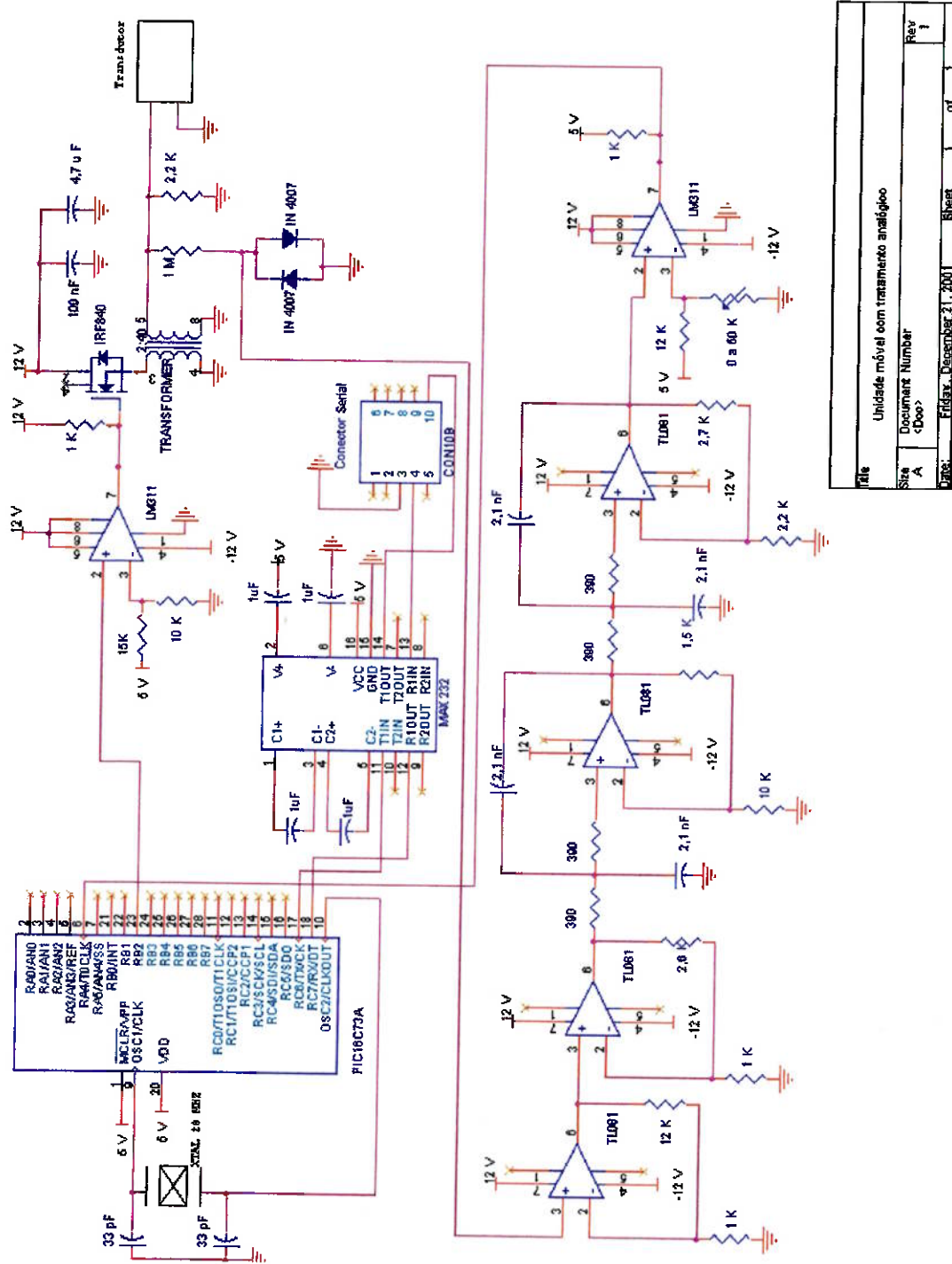
diferente da esperada, fazendo com que o PIC desconsidere cinco ou seis bordas de subida do sinal de resposta, ou seja, quatro ou cinco pulsos (períodos), proporcionando um erro de aproximadamente 3,25 cm na medição da distância.

Com relação ao teste realizado para a unidade móvel possuindo tratamento digital, os grandes erros provavelmente provém do circuito de recepção do alvo fixo, que possui tratamento analógico, podendo apresentar erros de “perdas” de pulsos pelo detector de limiar, da ordem de 9 mm (ver figura 8.9). Os erros de verificação de freqüência neste circuito são menos freqüentes que no veículo móvel, devido a forma da onda recebida, que é visivelmente mais adequada para o tratamento de sinal analógico. Já para a unidade móvel, uma provável fonte de erro é o sinal de referência, que foi determinado a partir de uma aquisição experimental. Este método não garante que o ponto real de início da resposta seja o ponto de início da referência obtida.

Outro problema dos testes realizados com o tratamento digital, foi o tempo de transição dos dados adquiridos pela placa A/D para o PC para que a correlação dos sinais seja efetuada. Porém para aplicações reais, o processamento da correlação deve ser realizado no próprio circuito, com os dados obtidos diretamente do A/D, de modo a se eliminar este tempo devido a comunicação serial.

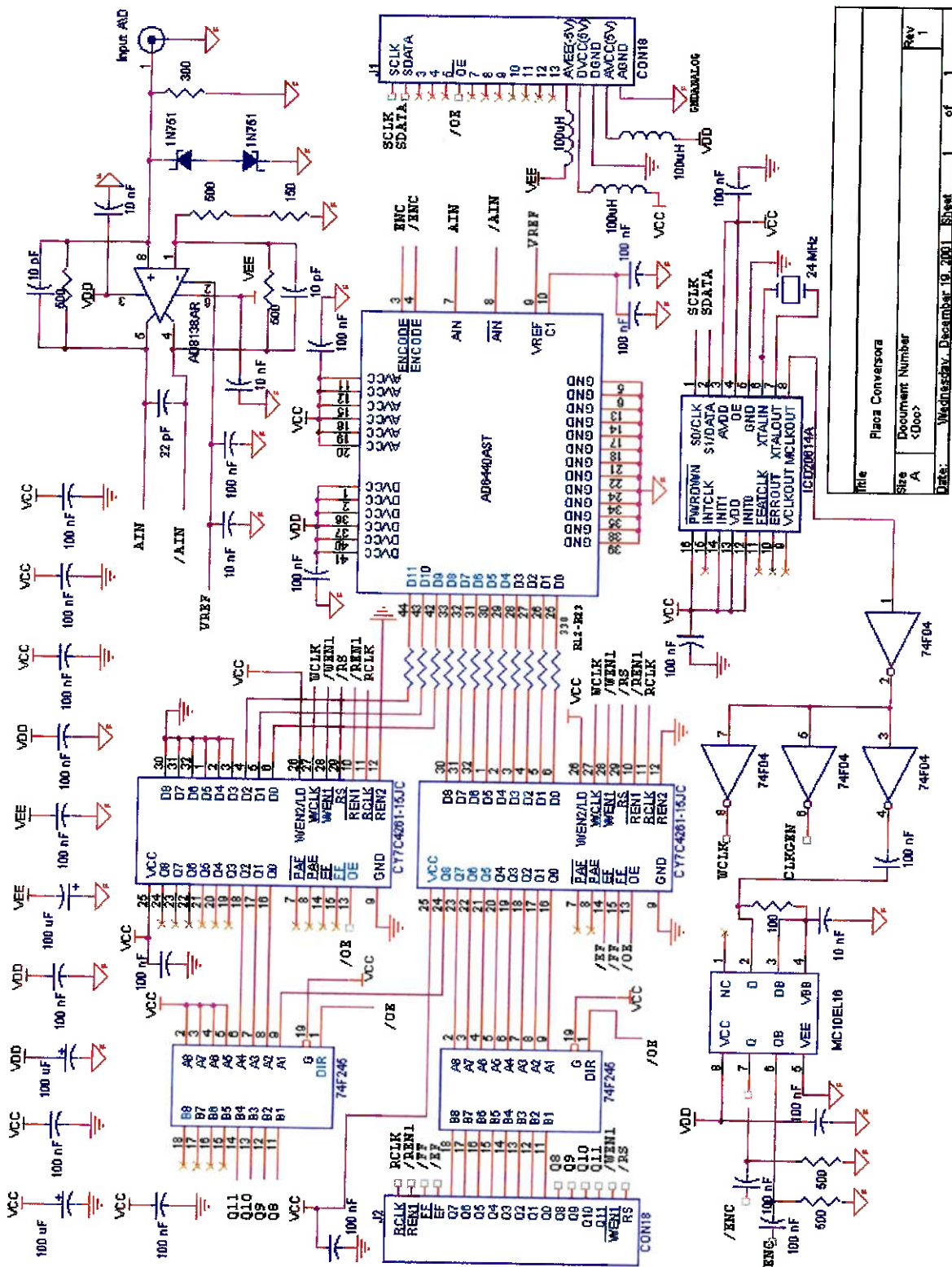
Resumindo, os dados obtidos nos testes foram satisfatórios, apresentando um maior acurácia e precisão no tratamento digital, como já era esperado. Com certeza, se for implementado um método de se realizar o tratamento digital nos circuitos do veículo móvel e do alvo fixo, a acurácia deverá ser bem mais satisfatória.

Anexo A – Projeto do circuito do veículo móvel com tratamento analógico de sinais

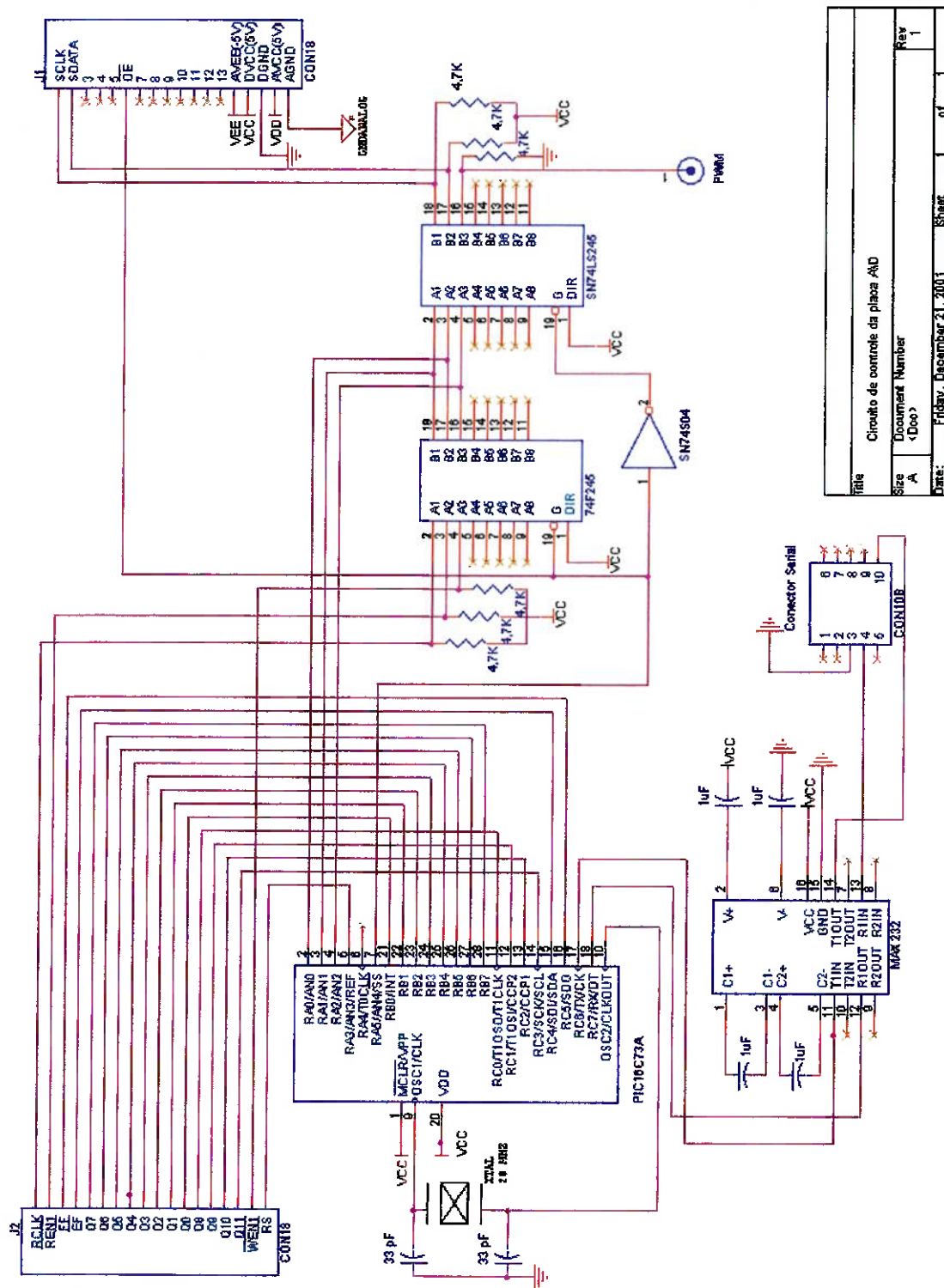


Anexo B – Projeto do circuito do veículo móvel com tratamento digital de sinais

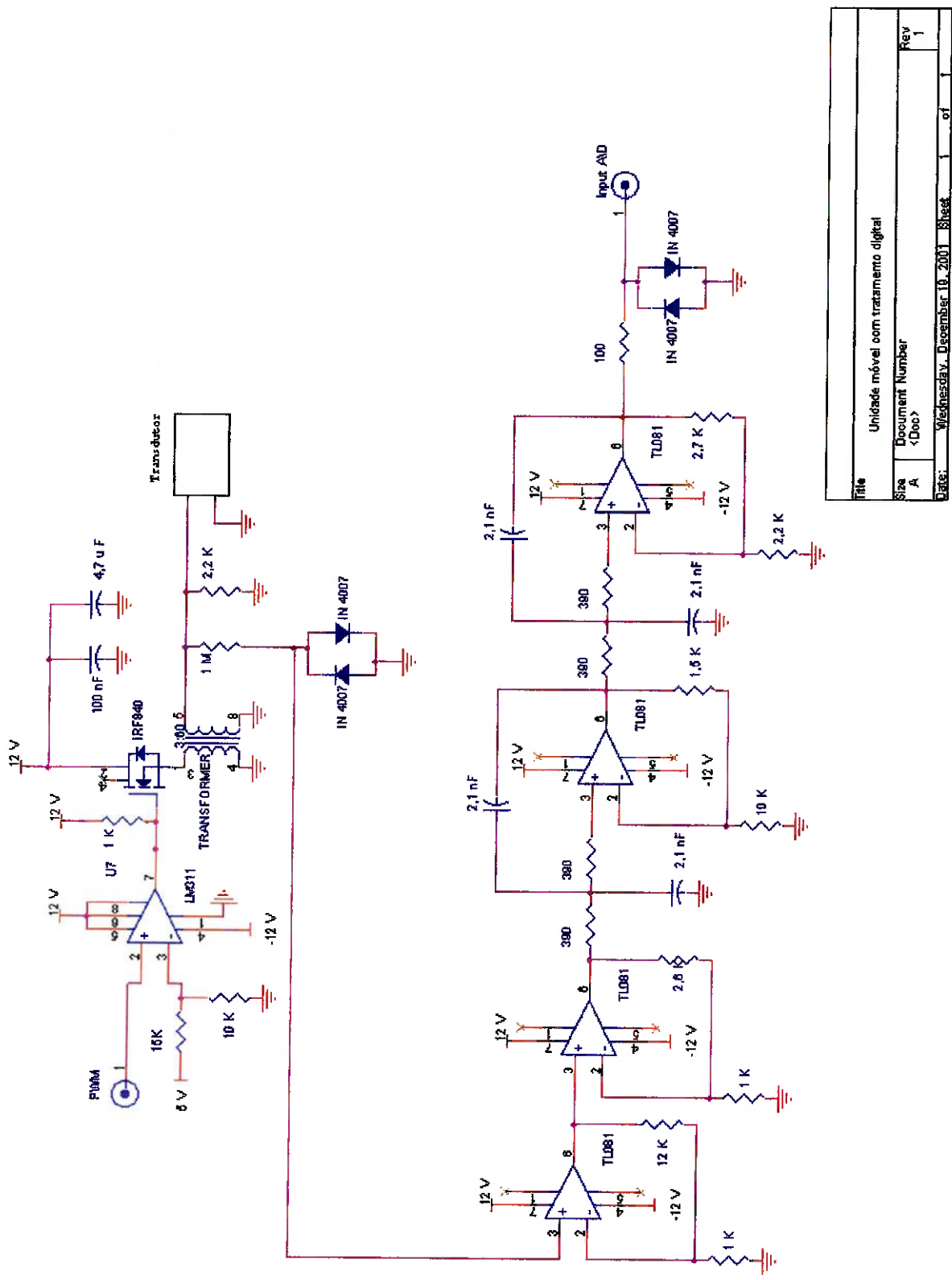
B.1. Placa Digitalizadora



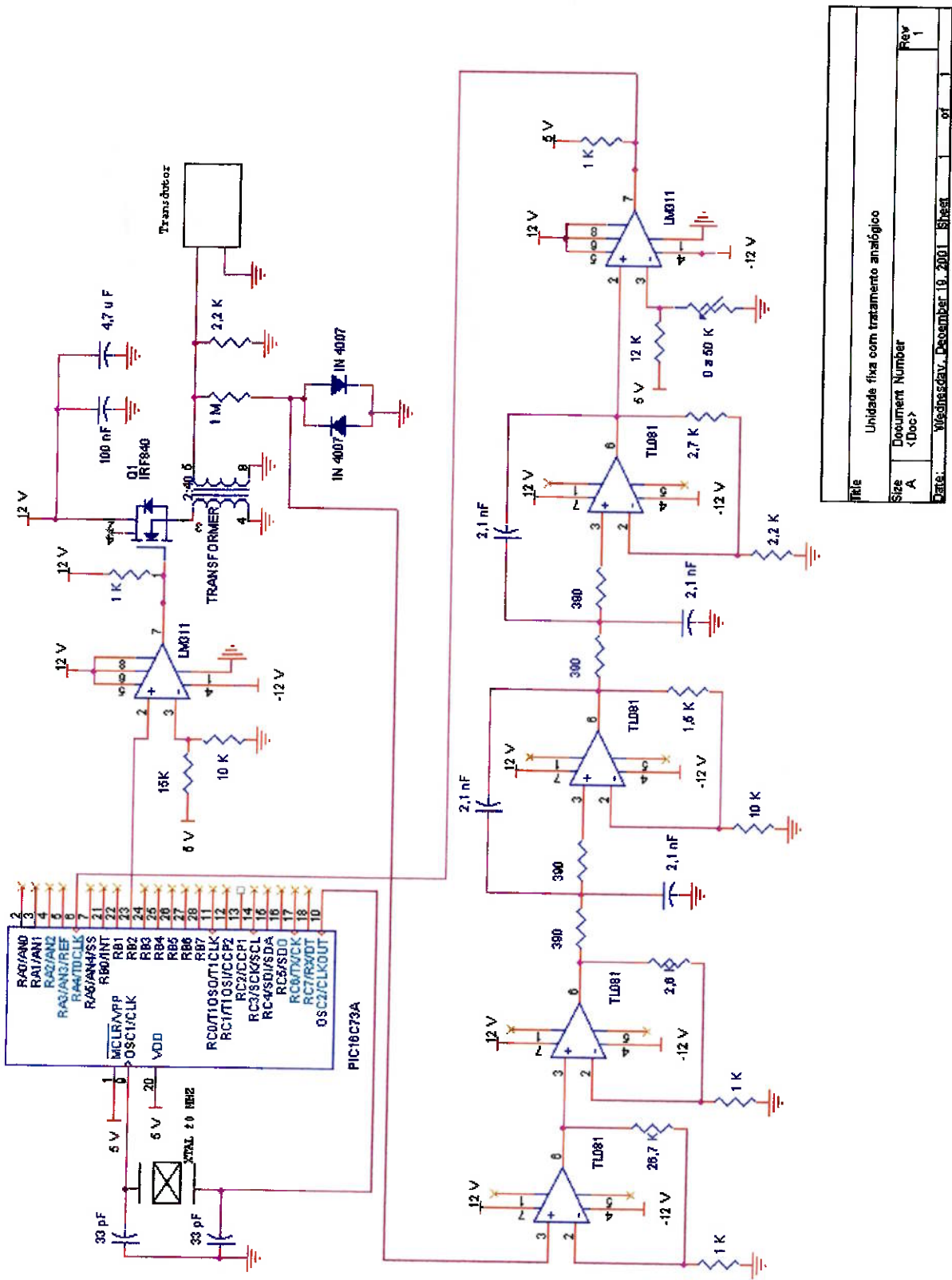
B.2. Controle da Placa Digitalizadora



B.3. Circuito do Veículo Móvel Com Tratamento Digital de Sinais



Anexo C - Projeto do circuito do alvo fixo



Anexo D – Listagem do programa do PIC para o veículo móvel com tratamento digital de sinais

; Circuito do PIC com tratamento digital
 ; O PIC controla a placa de digitalização e a emissão da unidade móvel
 ; Os dados da memória FIFO são transmitidos via serial para o PC e o cálculo
 ; da distância feito no mesmo
 ; Pinos de leitura de dados: PORTB e pinos 0 a 3 do PORTC,
 ; totalizando 12bits.
 ; Pino 3 PORTA: reset da FIFO.
 ; Pino 0 PORTA: pino de dados (Sdata) para programação do
 ; clock gen e REN1
 ; (habilitação da leitura da FIFO)
 ; Pino 1 PORTA: clock (SCLK) para se programar o clock gen.
 ; Pino 2 PORTA: pino que produzirá o pwm e WEN1 (habilita a escrita da FIFO)
 ; Pino 5 PORTA: pino de controle do compartilhamento dos 3 pinos anteriores
 ; Pino 4 PORTC: empty flag (indica se a fifo está vazia)
 ; Pino 5 PORTC: full flag (indica se a FIFO está cheia)

```

list p=16c73b
include <p16c73b.inc>

;***** MACROS *****
;Envia byte para o PC

sndbt macrobyte
  bsf STATUS,RP0; Bank 1
  btfss TXSTA,TRMT
  goto $-1 ; Espera até liberação de TXREG
  bcf STATUS,RP0; Bank 0
  movlw byte
  movwf TXREG ; Envia byte
  bsf STATUS,RP0; Bank 1
  btfsc TXSTA,TRMT
  goto $-1 ; Espera até limpar o flag
  bcf STATUS,RP0; Bank 0
endm
;Envia conteúdo de um registrador para o PC

sndrg macroregister
  bsf STATUS,RP0; Bank 1
  btfss TXSTA,TRMT
  goto $-1 ; Espera até liberação de TXREG
  bcf STATUS,RP0; Bank 0
  movf register,0
  movwf TXREG ; Envia registrador
  bsf STATUS,RP0; Bank 1
  btfsc TXSTA,TRMT
  goto $-1 ; Espera até limpar o flag
  bcf STATUS,RP0; Bank 0

```

```

        endm
;*****
;Recebe byte do PC

rcvbt    macroendereço
        btfss  PIR1,RCIF ; Espera dado
        goto  $-1
        movf  RCREG,0
        movwf  endereço ; Salva byte recebido no endereço
        endm

;***** Registradores Utilizados - Bank 0 - 20h a 7Fh *****
CBLOCK 0X21

        word1 ; byte menos significativo para a programação do clock
        word2
        word3 ; byte mais significativo para a programação do clock
        word ; utilizada para armazenar cada um dos bytes anteriores
              ; durante a programação
        unlocked; constante para realizar o destravamento durante a
              ; programação do clock
        aux ; utilizada para apontar os endereços de word1, 2 e 3
        bit ; utilizado na função clock para armazenar o número
              ; de bits em um byte (8)
        dad ; utilizada na função clock para armazenar quantos
              ; bytes são necessários para realizar a programação
        cont ; func. delay (representa o tempo de atraso)
        comp ; utilizado para indicar se a programação do clock
              ; será a default (diferente de 1) ou se será
              ; definida pelo usuário (igual a 1)
        lsb  ; armazena o byte menos significativo da
              ; leitura da fifo
        msb  ; armazena o byte mais significativo da leitura
              ; da fifo
        TEMPO0 ; variável temporária

;Para a geração do trem de pulsos
        th      ; th*3+5=número de ciclos em 1 (PWM)
        tl      ; tl*3+4=número de ciclos em 0 (PWM)
        TRAINL ; número de pulsos
        th1     ; utilizados para armazenar valores de
        tl1     ; th, tl e TRAINL durante o pwm
        TRAINL1

ENDC

;***** PROGRAMA PRINCIPAL *****
org 0x00 ; Define endereço base no vetor de inicio 0x00
reset
        goto start ; Vai para o inicio do programa
        org 0x04

```

start

;***** Programações Default dos timers e módulos CCP *****

; Programação do Timer0 - Controla o tempo de espera entre um trem
; de pulso e outro no modo teste

```
bcf STATUS,RP0 ; Bank 0
bcf INTCON,T0IE; Desarma interrupção
bcf INTCON,T0IF; Limpa flag de overflow
bsf STATUS,RP0 ; Bank 1
movlw B'11101000' ; Palavra de programação
movwf OPTION_REG ; Programa palavra de controle
; (sem começar contagem)
```

;Programação da PORTA

```
bsf STATUS,RP0 ; banco 1
bcf INTCON,GIE ; desabilita a chave geral das interrupções.

movlw B'0000000' ; apenas o pino PORTA,4 foi configurado
; como entrada
movwf TRISA
movlw 0xFF ; todos os pinos como entrada
movwf TRISB
movlw B'00000111' ; transforma os pinos do PORTA como
; entradas digitais
movwf ADCON1
movlw B'10111111' ; apenas o pino de transmissão serial é saída.
movwf TRISC
```

;***** Constantes - valores default *****

```
bcf STATUS,RP0 ; Bank 0
bcf PORTA,2 ; limpa a saída do PORTA pwm (OE=1)
bsf PORTA,5 ; habilita os pinos 0, 1 e 2 do PORTA para
; prog. clock(0 e 1) e pwm (2)
bsf PORTA,3 ; desativa reset
bsf PORTA,0 ; desabilita a leitura
bcf PORTA,1 ; coloca o SCLK em zero (OE=0).
```

```
movlw 0x04
movwf th ; tempo em high: 3*4+5=17 (número de ciclos)

movlw 0x04
movwf tl ; tempo em low: 3*4+4=16 (número de ciclos),
; portanto período:33

movlw 0x08 ;
movwf TRAINL ; número de pulsos desejados
```

; programa o clock para 7 MHz, utilizando-se um clock de referência de 24 MHz

```
movlw 0x96
movwf word1
```

```

movlw 0x65
movwf word2
movlw 0x64
movwf word3

movlw      0x02 ; coloca um valor diferente de 1 em comp,
; necessário para a função clock
movwf      comp
call clock ; programa clock com o valor default

limpar a FIFO
call limpa

```

***** Inicialização da USART *****

```

bsf      STATUS,RP0; Bank1
movlw    0x20 ; Baud rate = 9600 bps
movwf    SPBRG
bcf      TXSTA,TX9 ; Transmissão de 8 bits
bcf      TXSTA,TXEN; Habilita transmissão
bcf      TXSTA,SYNC; Modo Assíncrono
bcf      TXSTA,BRGH; Baixa velocidade
bcf      PIE1,TXIE ; Desarma interrupções de transmissão
bcf      PIE1,RCIE ; Desarma interrupções de recepção
bcf      STATUS,RP0; Bank 0
bsf      RCSTA,SPEN; Habilita porta serial
bcf      RCSTA,RX9 ; Recepção de 8 bits
bsf      RCSTA,CREN; Habilita recepção

```

***** Inicializacao da Comunicacao *****

```
bcf      STATUS,RP0; Bank 0
```

; Sequencia de inicio de comunicacao

```
In_com bcf      RCSTA,CREN; Desabilita recepção
        bsf      RCSTA,CREN; Habilita recepção
                    ; (P/ evitar travamento da recepcao)
```

```
btfss  PIR1,RCIF ; Espera pelo sinal do PC
goto   $-1      ; Se o sinal não chegou, testa novamente
```

```
movf   RCREG,0      ; Leitura do sinal
movwf  TEMP0 ; Armazenamento temporário
```

```
movlw  0xAA ; Sinal de inicializacao esperado
subwf TEMP0,0 ; Realiza comparação por subtração
btfss  STATUS,Z ; Segue em frente se recebeu o sinal correto
goto   In_com ; Se o sinal não é o esperado, continua esperando
```

;Resposta ao PC se recebeu sinal correto (no inicio ou no reinicio)

```
Recom btfss  PIR1,TXIF
      goto  $-1      ; Espera até liberação de TXREG
      movlw  0xBB ; Sinal de resposta
      movwf  TXREG ; Envia resposta ao PC
```

```

;***** Loop principal - leitura de comandos *****
bcf STATUS,RP0; Bank 0

Loop bcf RCSTA,CREN; Desabilita recepção
      bsf RCSTA,CREN; Habilita recepção
                  ; (P/ evitar travamento da recepcao)

w_com btfss PIR1,RCIF ; Loop de espera por um comando
      goto w_com ; Se um comando não chegou, testa novamente

      movf RCREG,0      ; Leitura do comando
      movwf TEMP0 ; Armazenamento temporário

      movlw 0x47      ; Código ASCII do comando G (realizar localização)
      subwf TEMP0,0 ; Realiza comparação por subtração
      btfss STATUS,Z ; Testa o resultado da operação
      goto $+3 ; Se o result. não é nulo, verif. o próximo comando
      call LOCATE ; Se o resultado é nulo, executa localização
      goto Loop ; Volta ao início do Loop e espera novo comando

      movlw 0x56      ; Código ASCII do comando V
                  ; (verificar parametros)
      subwf TEMP0,0 ; Realiza comparação por subtração
      btfss STATUS,Z ; Testa o resultado da operação
      goto $+3 ; Se o result. não é nulo, verif. o próximo comando
      call VERIFY ; Se o resultado é nulo, envia parametros
      goto Loop ; Volta ao início do Loop e espera novo comando

      movlw 0x54      ; Código ASCII do comando T (teste de emissão)
      subwf TEMP0,0 ; Realiza comparação por subtração
      btfss STATUS,Z ; Testa o resultado da operação
      goto $+3 ; Se o result. não é nulo, verif. o próximo comando
      call TESTE ; Se o resultado é nulo, inicia teste
      goto Loop ; Volta ao início do Loop e espera novo comando

      movlw 0x52      ; Código ASCII do comando R (ler FIFO)
      subwf TEMP0,0 ; Realiza comparação por subtração
      btfss STATUS,Z ; Testa o resultado da operação
      goto $+3 ; Se o result. não é nulo, verif. o próximo comando
      call ler ; Se o resultado é nulo, le fifo
      goto Loop ; Volta ao início do Loop e espera novo comando

      movlw 0xAA      ; Código de reinicializacao
      subwf TEMP0,0 ; Realiza comparação por subtração
      btfss STATUS,Z ; Testa o resultado da operação
      goto $+2 ; Se o result. não é nulo, verif. o próximo comando
      goto Recom ; Envia resposta de reinicializacao

      movlw 0x46      ; Código ASCII do comando F (programa clock)
      subwf TEMP0,0 ; Realiza comparação por subtração
      btfss STATUS,Z ; Testa o resultado da operação
      goto $+5 ; Se o result. não é nulo, verif. o próximo comando
      movlw 0x01
      movwf comp
      call clock ; Se o resultado é nulo, executa programação do clock
      goto Loop ; Volta ao início do Loop e espera novo comando

```

```

movlw      0x4C    ; Código ASCII do comando L (limpar FIFO)
subwf TEMP0,0 ; Realiza comparação por subtração
btfs STATUS,Z ; Testa o resultado da operação
goto $+3      ; Se o result. não é nulo, verif. o próximo comando
call limpa    ; Se o resultado é nulo, limpar FIFO
goto Loop     ; Volta ao início do Loop e espera novo comando

goto Loop     ; Volta ao início do Loop e espera novo comando

```

***** ROTINAS DE EXECUÇÃO DOS COMANDOS *****
LOCATE ; Realiza localização e envia resposta

; realiza pwm

```

movf TRAINL,0
movwf TRAINL1
movf tl,0
movwf tl1
movf th,0
movwf th1

```

pwm

```

bsf PORTA,2
decfsz th1
goto $-1
nop
movf tl,0
movwf tl1
movf th,0
movwf th1
bcf PORTA,2
decfsz tl1
goto$-1
nop
decfsz TRAINL1
goto pwm

```

; espera a oscilação do transdutor, após o término do trem de pulsos, terminar

```

bsf STATUS,RP0 ; Bank 1
movlw B'11000000' ; Palavra de programação prescaler 1:2
movwf OPTION_REG ; Programa palavra de controle
; (sem começar contagem)
bcf STATUS,RP0 ; Bank 0
clrf TMR0 ; limpa timer
bcf INTCON,T0IF ; limpa bit de estouro

```

;Espera pelo fim do trem e pára os pulsos
btfs INTCON,T0IF ;
goto \$-1 ; Se Timer0 não estourar, continua no loop

; escreve na FIFO

bsf PORTA,2 ;desabilita a escrita
nop
bcf PORTA,5 ;habilita para a escrita e leitura

```

call limpa ; limpa a FIFO antes de enche-la
bcf PORTA,2 ; habilita a escrita

escrever ; espera a memoria ficar cheia
btfsc PORTC,5
goto escrever

bsf PORTA,2 ; desabilita a escrita

bcf PORTA,5 ; habilita o pino RA0 como REN1 e RA1 como RCLK
bcf PORTA,1 ; sincronização com o RCLK, a fim de que o
              ; EMPTY FLAG seja setado
bcf PORTA,1

bsf PORTA,5 ; habilita para pwm e programação do clock
nop
bcf PORTA,2 ; limpa PORTA do pwm

sndbt 0x50
sndbt 0x4F
sndbt 0x4B
sndbt 0x00

return
*****
; le a FIFO
*****
;

ler

bsf PORTA,2 ; desabilita a escrita na FIFO.
bcf PORTA,5 ; habilita o pino RA0 como REN1 e RA1 como
              ; RCLK e RA2 como WEN1
bcf PORTA,0 ; habilita a leitura

leitura

bsf PORTA,1 ; realiza o clock da leitura (RCLK)
bcf PORTA,1
movf PORTB,0
movwf lsb ; armazena em lsb o byte menos significativo dos dados.
movf PORTC,0
movwf msb ; armazena em msb o byte mais significativo dos dados.
movlw B'00001111' ; realiza operação and, pois apenas
                  ; os primeiros 4 bits interessam.
andwf msb,1

; realiza protocolo de comunicação com o PC:
; O PIC envia um dado e o PC verifica se este é valido ou não. Se a primeira opção ocorrer o
; PIC envia o próximo dado, se não ele envia
; o dado novamente.

envia
  sndbt 0x4E ; prepara para enviar resposta numérica
  sndbt 0x02
  sndrg lsb

```

```
    sndrg msb

    rcvbt aux ; byte de teste

; Espera sinal de dado válido do PC (0xCC)

    movlw      0xCC    ; Código de acerto
    subwf aux,0  ; Realiza comparação por subtração
    btfss  STATUS,Z ; Testa o resultado da operação
    goto  envia    ; Se o result. não é nulo, verif. o próximo comando

    btfsc PORTC,4 ; realiza a leitura até a memoria esvaziar
    goto leitura

; desativa leitura

    bsf PORTA,0 ; desabilita a leitura
    bsf PORTA,5 ; habilita a programação do clock e pwm.
    bcf PORTA,2

; retorna para o loop principal

    return
```

```
*****
;          Programa clock
*****
```

clock

```
    movlw      0x01    ; verifica se o programação será feita pelo usuário,
; ou se será a default.
    subwf comp,0
    btfss  STATUS,Z
    goto  main
    rcvbt word1
    rcvbt word2
    rcvbt word3
```

main

```
; configuração das constantes a serem utilizadas

    movlw 0x08
    movwf bit
    movlw 0x03
    movwf dad
    movlw 0x05
    movwf unlocked
    bcf  PORTA,1
```

```
*****
;          destrava
*****
```

destrava

```

bsf PORTA,0
call delay
bsf PORTA,1
call delay
bcf PORTA,1
decfsz unlocked,1
goto destrava

call delay
bcf PORTA,0
call delay
bsf PORTA,1
call delay

```

```
*****
;                                         Start Bit
*****
```

```

bsf PORTA,1
bcf PORTA,0
call delay
bcf PORTA,1
call delay
bsf PORTA,1
call delay

```

```
*****
;                                         Escreve os dados
*****
```

```

movlw 0x20
movwf aux ; aux: variável que indicará os endereços
           ; das palavras a serem programada (word1, word2, word3).

```

dados

```

bsf PORTA,1
call delay
incf aux,1
movf aux,0
movwf FSR
movf INDF,0
movwf word

```

bits

```

;btfss PORTA,4
;goto main

movlw 0x01
xorwf word,1
btfs word,0
goto $+2
goto $+3
bsf PORTA,0
goto $+2

```

```
bcf PORTA,0
call delay
bcf PORTA,1
call delay
btfsC word,0
goto $+2
goto $+3
bcf PORTA,0
goto $+2
bsf PORTA,0
call delay
bsf PORTA,1
call delay
mf word,1
decfsz bit,1
goto $+2
goto $+2
goto bits

movlw 0x08
movwf bit

decfsz dad,1
goto dados

;***** Stop bits *****
;***** Stop bits *****
;***** Stop bits *****

bsf PORTA,1
bsf PORTA,0
call delay
bcf PORTA,1
call delay
bsf PORTA,1
call delay
bcf PORTA,1
bcf PORTA,0

sndbt 0x50 ; código de inicialização
sndbt 0x4F ; 'O'
sndbt 0x4B ; 'K'
sndbt 0x00 ; null

return

;***** limpa a FIFO *****
;***** limpa a FIFO *****
;***** limpa a FIFO *****

limpa
bcf PORTA,3 ; reseta a fifo
bsf PORTA,3 ; desativa o reset

return

;***** VERIFY ;Envia os parametros programados *****
;***** VERIFY ;Envia os parametros programados *****
;***** VERIFY ;Envia os parametros programados *****
```

```
; envia a palavra de programação do clock
sndbt 0x4E ; prepara para enviar resposta numérica
sndbt 0x03
sndrg word3
sndrg word2
sndrg word1

; envia status da FIFO

btfs PORTC,4
goto verifica
btfs PORTC,5
goto erro
goto vazio

verifica

btfs PORTC,5
goto erro
goto cheio

erro

sndbt 0x50 ; código de palavra
sndbt 0x65 ; 'E'
sndbt 0x52 ; 'R'
sndbt 0x52 ; 'R'
sndbt 0x6F ; 'O'
sndbt 0x00 ; 'null'

goto env_tl

cheio

sndbt 0x50 ; código de palavra
sndbt 0x63 ; 'C'
sndbt 0x48 ; 'H'
sndbt 0x65 ; 'E'
sndbt 0x49 ; 'I'
sndbt 0x6F ; 'O'
sndbt 0x00 ; 'null'

goto env_tl

vazio

sndbt 0x50 ; código de palavra
sndbt 0x56 ; 'V'
sndbt 0x61 ; 'A'
sndbt 0x5A ; 'Z'
sndbt 0x49 ; 'I'
sndbt 0x6F ; 'O'
sndbt 0x00 ; 'null'

;Retorna ao Loop principal
return
*****
;TESTE ;Realiza teste de emissão
```

```

sndbt 0x50 ; código de palavra
sndbt 0x54 ; 'T'
sndbt 0x65 ; 'e'
sndbt 0x73 ; 's'
sndbt 0x74 ; 't'
sndbt 0x65 ; 'e'
sndbt 0x20 ; ''
sndbt 0x49 ; 'l'
sndbt 0x6E ; 'n'
sndbt 0x69 ; 'i'
sndbt 0x63 ; 'c'
sndbt 0x69 ; 'i'
sndbt 0x61 ; 'a'
sndbt 0x64 ; 'd'
sndbt 0x6F ; 'o'
sndbt 0x00 ; 'null'

```

;Programação do Timer0 para medição do período de repetição

tstcon

```

bsf STATUS,RP0; Bank 1
movlw 0xE5 ; Palavra de programação, prescaler 1:64
movwf OPTION_REG ; Programa palavra de controle
bcf OPTION_REG,T0CS; Liga Timer0
bcf STATUS,RP0; Bank 0

;Medição do intervalo
clrf TMR0 ; Limpa Timer0
bcf INTCON,T0IF ; Limpa flag de overflow
btfs INTCON,T0IF ;
goto $-1 ; Espera Timer0 estourar

```

; realiza pwm

```

movf TRAINL,0
movwf TRAINL1
movf tl,0
movwf tl1
movf th,0
movwf th1

```

pwm1

```

bsf PORTA,2
decfsz th1
goto $-1
nop
movf tl,0
movwf tl1
movf th,0
movwf th1

```

```

bcf PORTA,2
decfsz tl1
goto $-1
nop
decfsz TRAINL1
goto pwm1

btfs PIR1,RCIF ; Testa se recebeu comando de parada
goto tstcon ; Continua no teste se não recebeu nenhum comando

movf RCREG,0 ; Leitura do comando
movwf TEMP0 ; Armazenamento temporário

movlw 0x5A ; Código ASCII do comando Z (Encerrar teste)
subwf TEMP0,0 ; Realiza comparação por subtração
btfs STATUS,Z ; Testa o resultado da operação
goto tstcon ; Continua com o teste se não recebeu comando
; de parada

sndbt 0x50 ; código de palavra
sndbt 0x54 ; 'T'
sndbt 0x65 ; 'e'
sndbt 0x73 ; 's'
sndbt 0x74 ; 't'
sndbt 0x65 ; 'e'
sndbt 0x20 ; ''
sndbt 0x45 ; 'E'
sndbt 0x6E ; 'n'
sndbt 0x63 ; 'c'
sndbt 0x65 ; 'e'
sndbt 0x72 ; 'r'
sndbt 0x72 ; 'r'
sndbt 0x61 ; 'a'
sndbt 0x64 ; 'd'
sndbt 0x6F ; 'o'
sndbt 0x00 ; 'null'

return ; Encerra o teste

;*****
; Função para realizar um delay durante a programação do clock

delay
  movlw 0x05
  movwf cont
  decfsz cont,1
  goto $-1

  return

end

```

Anexo E – Listagem do programa do PIC da unidade móvel para tratamento analógico de sinais

; Programa do PIC da unidade móvel com tratamento analógico

; Realiza a emissão, cronometra o tempo até a chegada do sinal de resposta e calcula a distância,
; enviando este valor para o PC.

;Pino de saída do trem de pulsos: RB2 pino 23

;Pino de entrada: RA4 - pino 06

;O PIC analisa a frequência do sinal de entrada deste pino e responde se for o sinal
; de resposta esperado.

```
list p=16c73b
include <p16c73b.inc>

;***** MACROS *****
;Multiplicação - 1 byte x 1 byte

mpy    macromultplr,multipd,rlow,rhigh,count,temp

    clrf rlow
    clrf rhigh
    movf multplr,0
    movwf temp
    movlw 0x8
    movwf count
    movf multipd,0
    bcf STATUS, C ; Clear carry bit
    ; Loop de multiplicação
    rf temp,1
    btfsc STATUS, C
    addwf rhigh,1
    rf rhigh,1
    rf rlow,1
    decfsz count,1
    goto $-6

    endm
;***** 
;Envia byte para o PC

sndbt macrobyte

    bsf STATUS,RP0; Bank 1
    btfss TXSTA,TRMT
    goto $-1 ; Espera até liberação de TXREG
    bcf STATUS,RP0; Bank 0
    movlw byte
    movwf TXREG ; Envia byte
    bsf STATUS,RP0; Bank 1
    btfsc TXSTA,TRMT
    goto $-1 ; Espera até limpar o flag
    bcf STATUS,RP0; Bank 0

    endm
```

```

;*****  

;Envia conteúdo de um registrador para o PC

sndrg  macroregister

    bsf  STATUS,RP0; Bank 1
    btfss TXSTA,TRMT
    goto $-1 ; Espera até liberação de TXREG
    bcf  STATUS,RP0; Bank 0
    movf register,0
    movwf TXREG ; Envia registrador
    bsf  STATUS,RP0; Bank 1
    btfsc TXSTA,TRMT
    goto $-1 ; Espera até limpar o flag
    bcf  STATUS,RP0; Bank 0

    endm

;*****  

;Recebe byte do PC

rcvbt  macroendereço

    btfss PIR1,RCIF ; Espera dado
    goto $-1

    movf RCREG,0
    movwf endereço ; Salva byte recebido no endereço

    endm

;***** Registradores Utilizados - Bank 0 - 20h a 7Fh *****
;Para o cálculo da distância (3 bytes X 3 bytes)
VSOUND0  equ 0x30 ;
VSOUND1  equ 0x31 ;
VSOUND2  equ 0x32 ;Vel. do som com resolução de 24 bytes (0.1 mm/s)

TIME0    equ 0x40 ;LSB do tempo cron. no Timer1 (resolução de 200 ns)
TIME1    equ 0x41 ;MSB do tempo cron. no Timer1
TIME2    equ 0x42 ;Número de overflows do Timer1

RESP0    equ 0x50
RESP1    equ 0x51
RESP2    equ 0x52
RESP3    equ 0x53
RESP4    equ 0x54
RESP5    equ 0x55 ;Resposta da multiplicação (6 bytes)

X0      equ 0x60
X1      equ 0x61
Y0      equ 0x62
Y1      equ 0x63
Y2      equ 0x64
Z0      equ 0x65
Z1      equ 0x66
Z2      equ 0x67
W0      equ 0x68
W1      equ 0x69
W2      equ 0x6A

```

```

P0      equ 0x6B
P1      equ 0x6C ;Termos da soma final (registradores auxiliares)

TEMPO0   equ 0x6D
TEMPO1   equ 0x6E
TEMPO2   equ 0x6F
TEMPO3   equ 0x45
TEMP     equ 0x46
CONT     equ 0x47 ;Variáveis temporárias e contadores

aux      equ 0x73 ;contador de tempo para descobrir a freq. do sinal de entrada

;Para a geração do trem de pulsos

status_temp  equ 0x74 ;armazena temporariamente o valor do status (para a inter.)
w_temp       equ 0x75 ;armazena temporariamente o valor do work (para a inter.)

th          equ 0x70; th*3+5=número de ciclos em 1 (PWM)
tl          equ 0x71; tl*3+4=número de ciclos em 0 (PWM)
TRAINL      equ 0x72;número de pulsos
th1         equ 0x73; utilizados para armazenar valores de th, tl e TRAINL durante
tl1         equ 0x76; o pwm.
TRAINL1     equ 0x77

;***** PROGRAMA PRINCIPAL *****
org 0x00 ; Define endereço base no vetor de inicio 0x00
reset
    goto start ; Vai para o inicio do programa

; interrupção do timer1, necessário para incrementar o terceiro byte da cronometragem
org 0x04 ; inicio da interrupção

; salva w e status do programa principal
movwf w_temp
swapf STATUS,0
movwf status_temp

incf TIME2,1 ; adiciona 1 no byte 3
btfsc STATUS,C ; se estourar este byte a distância é maior que 100 m (erro)
goto erro
bcf PIR1,TMR1IF ; limpa o flag de interrupção do TIMER1
movlw 0x01 ; verifica se o Timer 0 é maior ou igual a 1
subwf TMR0,0
btfss STATUS,C
goto $+7
movlw 0x04 ; verifica se o Timer 0 é menor ou igual a 4.
subwf TMR0,0
btfsc STATUS,C
goto $+3

movlw 0x17 ; compensação de aux devido à ocorrência da interrupção
addwf aux,1

; recupera w e status

```

```

swapf status_temp,0
movwf STATUS
swapf w_temp,1
swapf w_temp,0

retfie ; retorna da interrupção

```

start

```

;***** Constantes - valores default *****
bcf STATUS,RP0 ; Bank 0

movlw 0x04
movwf th ; tempo em high: 3*4+5=17 (número de ciclos)

movlw 0x04
movwf tl ; tempo em low: 3*4+4=16 (número de ciclos), portanto
;período:33

movlw 0x08 ;
movwf TRAINL ; número de pulsos desejados

movlw 0xC0
movwf VSOUND0

movlw 0xE1
movwf VSOUND1

movlw 0xE4
movwf VSOUND2 ; Velocidade do som (1500.0000 m/s)

```

;***** Programações Default dos PORTS *****

;Programação da PORTA

```

bsf STATUS,RP0; Bank 1
movlw B'00000111'
movwf ADCON1 ; habilita o portA como valor digital
bsf TRISA,4 ; habilita o pino como entrada

```

;***** Inicialização da USART *****

```

bsf STATUS,RP0; Bank1
movlw 0x20 ; Baud rate = 9600 bps
movwf SPBRG
bcf TXSTA,TX9 ; Transmissão de 8 bits
bcf TXSTA,TXEN; Habilita transmissão
bcf TXSTA,SYNC; Modo Assíncrono
bcf TXSTA,BRGH; Baixa velocidade
bcf PIE1,TXIE ; Desarma interrupções de transmissão
bcf PIE1,RCIE ; Desarma interrupções de recepção
bcf STATUS,RP0; Bank 0
bsf RCSTA,SPEN; Habilita porta serial
bcf RCSTA,RX9 ; Recepção de 8 bits
bsf RCSTA,CREN; Habilita recepção

```

;***** Inicializacao da Comunicacao *****

```

bcf STATUS,RP0; Bank 0

In_com ; Sequencia de inicio de comunicacao
bcf RCSTA,CREN; Desabilita recepção
bsf RCSTA,CREN; Habilita recepção (P/ evitar travamento da recepcao)

btfs PIR1,RCIF ; Espera pelo sinal do PC
goto $-1 ; Se o sinal não chegou, testa novamente

movf RCREG,0 ; Leitura do sinal
movwf TEMP0 ; Armazenamento temporário

movlw 0xAA ; Sinal de inicializacao esperado
subwf TEMP0,0 ; Realiza comparação por subtração
btfs STATUS,Z ; Segue em frente se recebeu o sinal correto
goto In_com ; Se o sinal não é o esperado, continua esperando

Recom ; Resposta ao PC se recebeu sinal correto (no inicio ou no reinicio)
btfs PIR1,TXIF
goto $-1 ; Espera até liberação de TXREG
movlw 0xBB ; Sinal de resposta
movwf TXREG ; Envia resposta ao PC

***** Loop principal - leitura de comandos *****
bcf STATUS,RP0; Bank 0

Loop bcf RCSTA,CREN; Desabilita recepção
bsf RCSTA,CREN; Habilita recepção (P/ evitar travamento da recepcao)

w_com btfs PIR1,RCIF ; Loop de espera por um comando
goto w_com ; Se um comando não chegou, testa novamente

movf RCREG,0 ; Leitura do comando
movwf TEMP0 ; Armazenamento temporário

movlw 0x47 ; Código ASCII do comando G (realizar localização)
subwf TEMP0,0 ; Realiza comparação por subtração
btfs STATUS,Z ; Testa o resultado da operação
goto $+3 ; Se o result. não é nulo, verif. o próximo comando
call LOCATE ; Se o resultado é nulo, executa localização
goto Loop ; Volta ao início do Loop e espera novo comando

movlw 0x53 ; Código ASCII do comando S (verificar parametros)
subwf TEMP0,0 ; Realiza comparação por subtração
btfs STATUS,Z ; Testa o resultado da operação
goto $+3 ; Se o result. não é nulo, verif. o próximo comando
call VERIFY ; Se o resultado é nulo, envia parametros
goto Loop ; Volta ao início do Loop e espera novo comando

movlw 0x54 ; Código ASCII do comando T (teste de emissão)
subwf TEMP0,0 ; Realiza comparação por subtração
btfs STATUS,Z ; Testa o resultado da operação
goto $+3 ; Se o result. não é nulo, verif. o próximo comando
call TESTE ; Se o resultado é nulo, inicia teste
goto Loop ; Volta ao início do Loop e espera novo comando

movlw 0x41 ; Código ASCII do comando A (teste do pino)
subwf TEMP0,0 ; Realiza comparação por subtração
btfs STATUS,Z ; Testa o resultado da operação
goto $+3 ; Se o result. não é nulo, verif. o próximo comando

```

```

call TST_PIN      ; Se o resultado é nulo, realiza teste
goto Loop        ; Volta ao início do Loop e espera novo comando

movlw 0xAA      ; Código de reinicializacao
subwf TEMP0,0 ; Realiza comparação por subtração
btfs STATUS,Z ; Testa o resultado da operação
goto $+2      ; Se o result. não é nulo, verif. o próximo comando
goto Recom    ; Envia resposta de reinicializacao

movlw 0x56      ; Código ASCII do comando V (prog. velocidade)
subwf TEMP0,0 ; Realiza comparação por subtração
btfs STATUS,Z ; Testa o resultado da operação
goto $+3      ; Se o result. não é nulo, verif. o próximo comando
call SET_V    ; Se o resultado é nulo, programa velocidade
goto Loop        ; Volta ao início do Loop e espera novo comando

goto Loop        ; Volta ao início do Loop e espera novo comando

```

***** ROTINAS DE EXECUÇÃO DOS COMANDOS *****
LOCATE ; Realiza localização e envia resposta

;Programação do Timer1 - Cronometragem do tempo

```

bcf STATUS,RP0 ; Bank 0
clrf TMR1L ; Limpa Timer1
clrf TMR1H ; Limpa Timer1
clrf TIME2 ; Limpa o contador de overflows
bcf PIR1,TMR1IF; Limpa flag de overflow
movlw 0x00      ; Palavra de controle
movwf T1CON ; Programa palavra de controle (sem ligar)
bsf STATUS,RP0 ; Bank 1
bcf INTCON,7 ; desabilita a chave geral das interrupções
bcf PIE1,TMR1IE; desabilita interrupção
bcf STATUS,RP0 ; Bank 0

```

; realiza pwm

```

movf TRAINL,0
movwf TRAINL1
movf tl,0
movwf tl1
movf th,0
movwf th1
bsf T1CON,0 ; início da cronometragem

```

pwm

```

bsf PORTA,2
decfsz th1
goto $-1
nop
movf tl,0
movwf tl1
movf th,0
movwf th1
bcf PORTA,2

```

```

decfsz      tl1
goto$-1
nop
decfsz      TRAINL1
goto  pwm

; espera a oscilação do transdutor, após o término do trem de pulsos, terminar

bsf  STATUS,RP0 ; Bank 1
movlw  B'11000000' ; Palavra de programação prescaler 1:2
movwf  OPTION_REG ; Programa palavra de controle (sem começar
;contagem)
bcf  STATUS,RP0 ; Bank 0
clrf TMR0 ; limpa timer
bcf  INTCON,T0IF ; limpa bit de estouro

;Espera pelo fim do trem e pára os pulsos
btfss INTCON,T0IF ;
goto $-1           ; Se Timer0 não estourar, continua no loop

; Programa Timer 0 para realizar a diferenciação do eco

bcf  STATUS,RP0 ; Bank 0
bcf  INTCON,T0IF; Limpa flag de overflow
bsf  STATUS,RP0 ; Bank 1
movlw  B'10101000' ; Palavra de programação
movwf  OPTION_REG ; Programa palavra de controle

; Realiza a diferenciação entre o eco e o sinal a ser recebido

bcf  STATUS,RP0; Bank 0
movlw 0x00
movwf aux

inicio

    clrf TMR0 ; limpa Timer0
    movlw  0xA4
    movwf  aux

espera

    btfss TMR0,0      ; espera o sinal externo ativar o clock
    goto espera ;
; através de aux cronometra-se o número de ciclos executados na freq. do PIC, até que
;a 3 borda de subida
;      do clock externo ocorra

    movlw 0x06

    bcf  STATUS,C

verifica

    addwf aux,1
    btfsc STATUS,C
    goto inicio
    btfss TMR0,2
    goto verifica

    bcf  STATUS,C
    movlw 0xF7 ; verifica se a freq. é menor que 180 khz e maior que 165

```

```
subwf aux,0
btfss STATUS,C
goto inicio

bcf T1CON,TMR1ON ; Termina cronometragem
movf TMR1L,0 ; armazena valor menos significativo do timer em TIME0
movwf TIME0
movf TMR1H,0 ; armazena valor mais significativo do timer em TIME1
movwf TIME1

; realização da compensação

movlw 0x10 ; compensação do segundo byte
subwf TIME1,1
movlw 0xD7 ; compensação do primeiro byte
subwf TIME0,1

;Executa multiplicação
;***** A multiplicação é feita pela decomposição de cada número em bytes *
;***** Os números a serem multiplicados (VSOUND e TIME) possuem 3 bytes cada*
;***** O resultado possui 6 bytes *
;***** Vários testes foram feitos. Multiplicação OK *
;***** No de ciclos : ~729 ciclos (145,8 us) *
;***** A resposta da multiplicação é em 10e-8 mm e é a distância entre *
;***** as unidades *

mpy VSOUND2,TIME2,X0,X1,CONT,TEMP
mpy VSOUND0,TIME0,P0,P1,CONT,TEMP

clrf Y1
clrf Y2
mpy VSOUND2,TIME1,TEMP0,TEMP1,CONT,TEMP
mpy TIME2,VSOUND1,TEMP2,TEMP3,CONT,TEMP
movf TEMP0,0
addwf TEMP2,0
movwf Y0
btfsc STATUS,C; testa o bit carry
incf Y1,1
movf TEMP1,0
addwf TEMP3,0
btfsc STATUS,C; testa o bit carry
incf Y2,1
addwf Y1,1

clrf W1
clrf W2
mpy VSOUND1,TIME0,TEMP0,TEMP1,CONT,TEMP
mpy VSOUND0,TIME1,TEMP2,TEMP3,CONT,TEMP
movf TEMP0,0
addwf TEMP2,0
movwf W0
btfsc STATUS,C; testa o bit carry
incf W1,1
movf TEMP1,0
addwf TEMP3,0
btfsc STATUS,C; testa o bit carry
incf W2,1
addwf W1,1
```

```
clrf Z1
clrf Z2
mpy VSOUND2,TIME0,TEMP0,TEMP1,CONT,TEMP
mpy VSOUND0,TIME2,TEMP2,TEMP3,CONT,TEMP
movf TEMP0,0
addwf TEMP2,0
movwf Z0
btfsC STATUS,C; testa o bit carry
incf Z1,1
movf TEMP1,0
addwf TEMP3,0
btfsC STATUS,C; testa o bit carry
incf Z2,1
addwf Z1,1
mpy VSOUND1,TIME1,TEMP0,TEMP1,CONT,TEMP
movf TEMP0,0
addwf Z0,1
btfsS STATUS,C; pula se o carry for 1
goto $+5 ; se o carry=0, não incrementar os outros bytes
movlw 0x01
addwf Z1,1
btfsC STATUS,C
incf Z2,1
movf TEMP1,0
addwf Z1,1
btfsC STATUS,C
incf Z2,1

;Soma dos termos encontrados
clrf RESP2
clrf RESP3
clrf RESP4
clrf RESP5 ; Limpa os registradores de resposta

movf P0,0
movwf RESP0 ; Primeiro byte do resultado

movf W0,0
addwf P1,0
movwf RESP1 ; Segundo byte do resultado
btfsC STATUS,C; testa o bit carry
incf RESP2,1 ; incrementa o terceiro byte

movf W1,0
addwf Z0,0
addwf RESP2,1 ; terceiro byte do resultado
btfsC STATUS,C; testa o bit carry
incf RESP3,1 ; incrementa o quarto byte

movf W2,0
addwf Z1,0
addwf RESP3,1
btfsC STATUS,C; testa o bit carry
incf RESP4,1 ; incrementa o quinto byte
movf Y0,0
addwf RESP3,1 ; completa a soma do quarto byte
btfsC STATUS,C; testa o bit carry
incf RESP4,1 ; incrementa o quinto byte
```

```

movf Z2,0
addwf Y1,0
addwf RESP4,1
btfsC STATUS,C; testa o bit carry
incf RESP5,1      ; incrementa o sexto byte
movf X0,0
addwf RESP4,1      ; completa a soma do quinto byte
btfsC STATUS,C; testa o bit carry
incf RESP5,1      ; incrementa o sexto byte

movf X1,0
addwf RESP5,1
movf Y2,0
addwf RESP5,1      ; completa a soma do sexto byte (operação completa)

;Envia resposta via canal serial
sndbt 0x4E ; código de número
sndbt 0x06 ; número de bytes do número
sndrg RESP0 ; primeiro byte da resposta
sndrg RESP1 ; segundo byte da resposta
sndrg RESP2 ; terceiro byte da resposta
sndrg RESP3 ; quarto byte da resposta
sndrg RESP4 ; quinto byte da resposta
sndrg RESP5 ; sexto byte da resposta

;Retorna ao Loop principal
return

;Mensagem de erro - resposta não recebida
erro
  sndbt 0x50 ; código de palavra
  sndbt 0x45 ; 'E'
  sndbt 0x72 ; 'r'
  sndbt 0x72 ; 'r'
  sndbt 0x6F ; 'o'
  sndbt 0x00 ; 'null'

;Retorna a preparação dos timers
goto Loop

;*****  

VERIFY ;Envia velocidade do som programada

;Velocidade do som
sndbt 0x4E
sndbt 0x03
sndrg VSOUND2
sndrg VSOUND1
sndrg VSOUND0

;Retorna ao Loop principal
return

;*****  

TESTE ;Realiza teste de emissão

sndbt 0x50 ; código de palavra
sndbt 0x54 ; 'T'

```

```

sndbt 0x65 ; 'e'
sndbt 0x73 ; 's'
sndbt 0x74 ; 't'
sndbt 0x65 ; 'e'
sndbt 0x20 ; ''
sndbt 0x49 ; 'l'
sndbt 0x6E ; 'n'
sndbt 0x69 ; 'i'
sndbt 0x63 ; 'c'
sndbt 0x69 ; 'i'
sndbt 0x61 ; 'a'
sndbt 0x64 ; 'd'
sndbt 0x6F ; 'o'
sndbt 0x00 ; 'null'

```

; Programação do Timer 0

pgd

```

bcf STATUS,RP0 ; Bank 0
bcf INTCON,T0IE; Desarma interrupção
bcf INTCON,T0IF; Limpa flag de overflow
bsf STATUS,RP0; Bank 1
movlw B'11101000' ; Palavra de programação
movwf OPTION_REG ; Programa palavra de controle

```

; Realiza a diferenciação entre o eco e o sinal a ser recebido

```

bcf STATUS,RP0; Bank 0
movlw 0x00
movwf aux

```

inicio1

```

clrf TMR0 ; limpa Timer0
movlw 0xA4
movwf aux

```

espera1

```

btfs TMR0,0 ; espera o sinal externo ativar o clock
goto espera1 ;

```

; através de aux cronometra-se o número de ciclos executados na freq. do PIC, até que
;a 3 borda de subida
; do clock externo ocorra

```
movlw 0x06
```

```
bcf STATUS,C
```

verifica1

```

addwf aux,1
btfsc STATUS,C
goto inicio1
btfss TMR0,2
goto verifica1

```

```

bcf STATUS,C
movlw 0xF7 ; verifica se a freq. é menor que 180 khz e maior que 165

```

```

subwf aux,0
btfs STATUS,C
goto inicio1

tstcon  nop
;Programação do Timer0 para medição do período de repetição
bsf STATUS,RP0; Bank 1
movlw 0xE5 ; Palavra de programação 1:64
movwf OPTION_REG ; Programa palavra de controle
bcf OPTION_REG,T0CS; Liga Timer0
bcf STATUS,RP0; Bank 0

;Medição do intervalo
clrf TMR0 ; Limpa Timer0
bcf INTCON,T0IF ; Limpa flag de overflow
btfs INTCON,T0IF ;
goto $-1 ; Espera Timer0 estourar

; realiza pwm

movf TRAINL,0
movwf TRAINL1
movf tl,0
movwf tl1
movf th,0
movwf th1

pwm1

bsf PORTA,2
decfsz th1
goto $-1
nop
movf tl,0
movwf tl1
movf th,0
movwf th1
bcf PORTA,2
decfsz tl1
goto$-1
nop
decfsz TRAINL1
goto pwm1

btfs PIR1,RCIF ; Testa se recebeu comando de parada
goto pgd ; Continua no teste se não recebeu nenhum comando

movf RCREG,0 ; Leitura do comando
movwf TEMP0 ; Armazenamento temporário

movlw 0x5A ; Código ASCII do comando Z (Encerrar teste)
subwf TEMP0,0 ; Realiza comparação por subtração
btfs STATUS,Z ; Testa o resultado da operação
goto pgd ; Continua com o teste se não recebeu comando de parada

sndbt 0x50 ; código de palavra
sndbt 0x54 ; 'T'

```

```
    sndbt 0x65  ; 'e'  
    sndbt 0x73  ; 's'  
    sndbt 0x74  ; 't'  
    sndbt 0x65  ; 'e'  
    sndbt 0x20  ; ''  
    sndbt 0x45  ; 'E'  
    sndbt 0x6E  ; 'n'  
    sndbt 0x63  ; 'c'  
    sndbt 0x65  ; 'e'  
    sndbt 0x72  ; 'r'  
    sndbt 0x72  ; 'r'  
    sndbt 0x61  ; 'a'  
    sndbt 0x64  ; 'd'  
    sndbt 0x6F  ; 'o'  
    sndbt 0x00  ; 'null'  
  
    return      ; Encerra o teste
```

```
*****  
SET_V ;Programa nova velocidade do som
```

```
    rcvbt VSOUND0  
    rcvbt VSOUND1  
    rcvbt VSOUND2
```

```
;Confirmação à unidade de comando  
    sndbt 0x50  ; código de palavra  
    sndbt 0x4F  ; 'O'  
    sndbt 0x4B  ; 'K'  
    sndbt 0x00  ; 'null'
```

```
    return
```

```
*****  
end
```

Anexo F – Programa do PIC para a unidade fixa

;Programa do PIC - sistema de localização - Unidade Fixa

;Pino de entrada: RA4 - pino 06

;O PIC analisa a frequência do sinal de entrada deste pino e responde se for o sinal de resposta esperado.

;A resposta é composta de um tempo de espera determinado e um trem de pulsos com período, largura de pulso e duração

;programados. O tempo de espera é necessário para que a unidade móvel esteja pronta para receber o sinal de resposta. Tempo de espera 256*64 ciclos de máquina

;

;Pino de saída do trem de pulsos: RB2 pino 23

;

;Valores de período, largura de pulso e duração do trem devem ser modificados no programa

```
list p=16c73b
include <p16c73b.inc>
```

;***** Registradores Utilizados - Bank 0 - 20h a 7Fh *****

;Para a geração do trem de pulsos

```
TRAINL      equ 0x22 ;número de pulsos
aux         equ 0x21 ;contador de tempo para descobrir a freq. do sinal de entrada
```

;***** PROGRAMA PRINCIPAL *****

```
org 0x00 ; Define endereco base no vetor de inicio 0x00
reset
    goto start ; Vai para o inicio do programa
```

```
org 0x04 ; Endereco de inicio do codigo do usuario
```

start

;***** Programações Default do timer *****

```
;Programação do Timer0 - Controla o comprimento do trem
bcf  STATUS,RP0 ; Bank 0
bcf  INTCON,T0IE; Desarma interrupção
bcf  INTCON,T0IF; Limpa flag de overflow
bsf  STATUS,RP0 ; Bank 1
movlw  B'10101000' ; Palavra de programação
movwf  OPTION_REG ; Programa palavra de controle
```

;***** Loop de Espera *****

```
bsf  STATUS,RP0; Bank 1
```

```
bsf TRISA,4 ; habilita o pino como entrada
bcf TRISB,2 ; habilita pino como saída
```

```
bcf  STATUS,RP0; Bank 0
```

inicio

```

    clrf  TMR0    ; limpa Timer0
    clrf  aux

espera
    btfss TMR0,0      ; espera o sinal externo ativar o clock
    goto espera ;

; através de aux cronometra-se o número de ciclos executados na freq. do PIC, até que
;a 3 borda de subida
;      do clock externo ocorra
    movlw 0x06

    bcf  STATUS,C
verifica
    addwf aux,f
    btfsc STATUS,C
    goto inicio
    btfss TMR0,2
    goto verifica

    bcf  STATUS,C
    movlw 0x61 ; verifica se a freq. é menor que 158 khz
    subwf aux,0
    btfss STATUS,C
    goto inicio
    movlw 0x6F ; verifica se a freq. é maior ou igual a 135 khz
    subwf aux,0
    btfsc STATUS,C
    goto inicio
    call RESPOSTA
    goto start
***** ROTINA DE EXECUÇÃO DO COMANDO *****
; Espera um tempo determinado (256*64*2e-7 segundos) e envia o sinal de resposta
RESPOSTA

;Para teste de emissão
    bsf  STATUS,RP0; Bank 1
    movlw  'B'11100011' ; Palavra de programação 1:16
    movwf  OPTION_REG ; Programa palavra de controle
    bcf  OPTION_REG,T0CS; Liga Timer0
    bcf  STATUS,RP0; Bank 0

    clrf  TMR0      ; Limpa Timer0
    bcf  INTCON,T0IF ; Limpa flag de overflow
    btfss INTCON,T0IF ;
    goto $-1          ; Espera Timer0 estourar

    movlw  0x08
    movwf  TRAINL

pwm
    bsf  PORTB,2
    nop
    nop
    nop
    nop

```


Anexo G – Programa de interface com o PIC - Unidade de Comando (PC), para o tratamento analógico de sinal

- * A unidade de comando envia comandos ao PIC e espera por confirmações ou respostas.
- * É verificada a validade de cada comando. São enviados ao PIC somente comandos válidos.
- * A sintaxe de cada comando é a seguinte:
 - * (letra do comando)<argumento - se necessário> (sem espaço em branco)
- * Para o comando G (ordem para localização), a resposta esperada é a distância em milímetros entre a unidade móvel e a fixa.
- * Para o comando S (verificar parâmetros), a resposta esperada é uma lista de parâmetros numa ordem pré-estabelecida.
- * O comando I (inicialização) realiza a reinicialização da comunicação em caso de reset do PIC.
- * O comando T (modo de teste), aciona o modo de teste, isto é, espera por valores de distância enviados pelo PIC regularmente.
- * Para os demais comandos, é esperada a confirmação 'OK'.
- * O comando é enviado para o PIC como uma palavra de até 32 bits, que consiste de comando (8 bits - código ASCII) e argumento (até 24 bits).
- * Quando a maioria dos comandos é executada, uma resposta do PIC é esperada. Se a resposta não chega num certo intervalo de tempo, o programa julga que ocorreu um erro.

*/

```
#include<stdio.h>
#include<string.h>
#include<dos.h>
#include<conio.h>

/* DEFINICOES */
#define ESPERA 2600000/* No. limite de iterações de espera */

/* VARIAVEIS GLOBAIS */
int PORT; /* Endereço da porta serial escolhida */

/* ROTINAS */
void InicializaPorta(void)
/* Prepara a porta serial para comunicação */
{
    outp(PORT + 3, 0x00); /* Limpa DLAB - Acesso ao IER */
    outp(PORT + 1, 0x00); /* Desabilita interrupções */
    outp(PORT + 3, 0x80); /* Seta DLAB - Acesso ao Divisor Latch */
    outp(PORT + 0, 0x0C); /* Set Baud rate - Divisor Latch Low Byte */
    /*          0x03 = 38,400 BPS */
    /*          0x01 = 115,200 BPS */
    /*          0x02 = 57,600 BPS */
    /*          0x06 = 19,200 BPS */
    /*          -> 0x0C = 9,600 BPS */
    /*          0x18 = 4,800 BPS */
    /*          0x30 = 2,400 BPS */
    outp(PORT + 1, 0x00); /* Set Baud rate - Divisor Latch High Byte */
    outp(PORT + 3, 0x03); /* 8 Bits, Sem paridade, 1 Stop Bit */
    outp(PORT + 2, 0xC7); /* FIFO Control Register */
}
```

```

        outp(PORT + 4, 0x0B); /* Seta DTR, RTS, e OUT2 */  

    }  

int Espera_Transmissor(void)  

/* Espera o buffer de transmissão esvaziar */  

{  

    long int i; /* Contador */  

    /* Espera até que o flag Data Ready esteja setado */  

    for(i=0;i<ESPERA && ((inp(PORT+5)/32)%2)==0;i++);  

    if(i<ESPERA)  

        return 1; /* Transmissor preparado */  

    else  

        return 0; /* Algum erro ocorreu */  

}  

int Espera_Dado(void)  

/* Espera que o dado esteja disponível para leitura da porta */  

{  

    long int i; /* Contador */  

    for(i=0;i<ESPERA && (inp(PORT+5)%2)==0;i++);  

    if (i<ESPERA)  

        return 1; /* Dado preparado */  

    else  

        return 0; /* time out - dado não chegou */  

}  

void Recebe_Resposta(void)  

/* Recebe uma resposta do PIC segundo as seguintes regras:  

 - Uma resposta em ASCII deve ser precedida pelo código 0x50 e deve  

 se encerrar com o código 0x00  

 - Uma resposta numérica deve ser precedida pelo código 0x4E e pelo  

 número de bytes da resposta  

*/  

int i;  

int flagR;  

short word;  

int cont;  

short resposta[30];  

flagR=Espera_Dado();  

if(flagR==0)  

    printf("\nNão há resposta\n");  

else  

{  

    word=inp(PORT);  

    if(word==0x50)  

    {  

        for(i=0;word!=0x00&&flagR==1;i++)  

        {  

            flagR=Espera_Dado();  

            word=inp(PORT);  

            resposta[i]=word;  

        }  

        if(flagR==1)  

        {  

            i=0;  

        }
    }
}

```

```
    printf("\n");
    while (resposta[i]!=0x00)
    {
        printf("%c",resposta[i]);
        i++;
    }
    printf("\n");
}
else
    printf("\nFormato dos dados recebidos e invalido\n");
/* Do if */
else
    if(word==0x4E)
    {
        flagR=Espera_Dado();
        if(flagR==0)
            printf("\nFormato dos dados recebidos e invalido\n");
        else
        {
            cont=inp(PORT);
            for(i=0;i<cont&&flagR==1;i++)
            {
                flagR=Espera_Dado();
                resposta[i]=inp(PORT);
            }
            if(flagR==0)
                printf("\nFormato dos dados recebidos e invalido\n");
            else
            {
                printf("\n");
                for(i=0;i<cont;i++)
                {
                    if(resposta[i]<16)
                        printf("0"); /* Correcao da impressao */
                    printf("%x",resposta[i]);
                }
                printf("\n");
            }
        }
    }
    /* Do if */
    else
        printf("\nFormato dos dados recebidos e invalido\n");
    /* Do else */
/* Da funcao */

void Envia_Mensagem(char mensagem[])
/* Envia um vetor de tamanho definido ao PIC.
   O tamanho do vetor esta contido na posicao '0'.
   O PIC deve interpretar os dados.
*/
{
    int tamanho;
    int i;
    int flagR;

    flagR=1;
    tamanho=mensagem[0];
    i=1;
    while((i<=tamanho)&&(flagR==1))
    {
        flagR=Espera_Transmissor();
```

```

        outp(PORT,mensagem[i]);
        i++;
    }
    if(tamanho<1)
        printf("\nFormato de dados invalido\n");
    else
        if(flagR==0)
            printf("\nProblemas na transmissao de dados. Transmissor nao libera\n");
}

void locate(void)
/* Envia ordem de realizar a localizacao e espera pelo valor da distancia */
{
    char mensagem[30];

    mensagem[0]=1; /* Tamanho da mensagem */
    mensagem[1]=0x47; /* Codigo da letra de comando - G */

    Envia_Mensagem(mensagem);

    printf("\nDistancia (em 10e-8mm em hexadecimal): ");
    Recebe_Resposta();
}

void help(void)
/* Exibe lista de comandos */
{
    printf("\nLISTA DE COMANDOS:");
    printf("\nComando\t\t\tSintaxe\t\tUnidade\n");
    printf("-----");
    printf("\nLocalizar\t\tG\t\t-");
    printf("\nProgramar velocidade\tV<velocidade>\t10e-1mm/s");
    printf("\nProgramar periodo\tP<periodo>\tNo. de ciclos");
    printf("\nProgramar largura\tW<largura>\tNo. de ciclos");
    printf("\nProgramar comprimento\tL<comprimento>\tNo. de ciclos");
    printf("\nReiniciar comunicacao\t\t\t-");
    printf("\nLer Pino\t\tA\t\t-");
    printf("\nVerificar parametros\tS\t\t-");
    printf("\nTeste: recepcao-emissao\tT\t\t-");
    printf("\nTeste: emissao\tB\t\t-");
    printf("\nAjuda\t\t\t\t\t\t\t-");
    printf("\nSair do programa\tQ\t\t-");
    printf("\n\nOBSERVAÇÕES:\n");
    printf("1. Não use espaço em branco\n");
    printf("2. Use letras maiúsculas ou minúsculas\n");
    printf("3. Não use ponto flutuante\n");
}

void setvelocity(char comando[])
/* Programa velocidade do som (em 10e-1mm/s) */
{
    int i ; /* contador */
    long int V ; /* velocidade do som em 10^(-1)mm/s */
    char mensagem[30];

    mensagem[0]=4; /* Tamanho da mensagem */
    for(i=1,V=0;i<strlen(comando);i++)
        V=(V)*10+(comando[i]-48);
    if((V<3000000)||(V>16777215))
        printf("\nArgumento fora da faixa permitida");
    else
    {

```

```
        mensagem[1]=0x56; /* codigo da letra de comando */
        mensagem[2]=V%(0x100); /* LSB da velocidade */
        V=V/(0x100);
        mensagem[3]=V%(0x100);
        V=V/(0x100);
        mensagem[4]=V%(0x100); /* MSB da velocidade */
        Envia_Mensagem(mensagem);

        Recebe_Resposta();

    }/* end else */

}

void Verifica_Parametros(void)
{ /* Imprime velocidade do som, periodo, largura de pulso e comprimento do
   trem programados no PIC
 */
    char mensagem[30];

    mensagem[0]=1; /* Tamanho da mensagem */
    mensagem[1]=0x53; /* Codigo da letra de comando - S */

    Envia_Mensagem(mensagem);

    printf("\nVelocidade: ");
    Recebe_Resposta();

}

void Teste(void)
{ /* Controla o modo de teste */
    char ch;

    outp(PORT,0x54);
    Recebe_Resposta();
    for(ch=27;)
    {
        if(kbhit()) ch=getch();
        if(ch==27)
        {
            outp(PORT,0x5a); /*Mensagem para encerrar o teste*/
            Recebe_Resposta();
        }
    }
}

***** PROGRAMA PRINCIPAL *****/
void main (void)
{
    /* Variáveis */
    char comando[10]; /* Comando do usuário */
```

```
int flag; /* Indicador geral */
int p; /* No. da porta de comunicação */
int inicio; /* Códigos de inicio */
int inicializado; /* Indica inicialização da comunicação */
char ch;

/* Inicializações das variáveis */
comando[0]=00;
inicio=0;
ch=0;
inicializado=0;

printf("\n\n Programa de comando do PIC - Comunicação Serial\n\n");

for(;inicializado==0;) /* Loop de inicialização */
{
    p=0;
    for(p!=1 && p!=2 && p!=3 && p!=4;)
    {
        printf("\nPorta de comunicação (1,2,3,4): ");
        scanf("%d",&p);
    }
    if(p==1) PORT=0x3f8;
    if(p==2) PORT=0x2f8;
    if(p==3) PORT=0x3e8;
    if(p==4) PORT=0x2e8;

    printf("\nEndereço: %x\n",PORT);

    InicializaPorta(); /* Preparação da porta serial */

    /* Inicialização da comunicação */
    Espera_Transmissor();
    outp(PORT,0xAA); /* Envia código de inicio */
    flag=Espera_Dado();
    inicio=inp(PORT);
    if(flag==1&&inicio==0xBB)
    {
        printf("\nComunicação inicializada com sucesso\n");
        inicializado=1;
    }
    else
        printf("\nFalha na inicialização da comunicação\n");
}/* Fim do loop de inicialização */

/* Loop Principal */
while((comando[0]!='q')&&(comando[0]!='Q'))
{
    outp(PORT + 2 , 0xC7); /* Limpa os FIFO's da porta serial */
    flag=0;
    printf("\nReady: "); /* Prompt */
    scanf("%s",comando);
    if((comando[0]=='G')||(comando[0]=='g'))
    {
        locate(); /* Ordem para localização */
        flag=1; /* Seta flag de passagem */
    }
    if((comando[0]=='S')||(comando[0]=='s'))
    {
        Verifica_Parametros();
```

```
        flag=1; /* Seta flag de passagem */
    }
    if((comando[0]=='T')||(comando[0]=='t'))
    {
        Teste(); /* Inicia modo de teste */
        flag=1; /* Seta flag de passagem */
    }

    if((comando[0]=='I')||(comando[0]=='i'))
    {
        Espera_Transmissor();
        outp(PORT,0xAA); /* Envia codigo de inicio */
        flag=Espera_Dado();
        inicio=inp(PORT);
        if(flag==1&&inicio==0xBB)
        {
            printf("\nComunicacao reinicializada\n");
            inicializado=1;
        }
        else
            printf("\nFalha na comunicacao\n");
        flag=1; /* Seta flag de passagem */
    }

    if (comando[0]=='?')
    {
        help(); /* Mostra lista de comandos */
        flag=1;
    }

    if((comando[0]=='V')||(comando[0]=='v'))
    {
        setvelocity(comando);/* Programa veloc. do som */
        flag=1;
    }

    if((comando[0]=='Q')||(comando[0]=='q'))
        flag=1;

    if (flag==0) /* Se nao houve nenhum comando valido */
        printf("\nComando inexistente. Digite ? para ajuda\n");

    } /* Fim do while */

} /* Fim do main */
```

Anexo H – Programa de interface com o PIC - Unidade de Comando (PC), para o tratamento digital de sinais

/* Programa de testes da placa A/D

- * O PC envia comandos ao PIC e espera por
 - * confirmacoes ou respostas.
- * E verificada a validade de cada comando. Sao enviados ao PIC
 - * somente comandos validos.
- * Para o comando V (verificar status), a resposta esperada
 - * e a palavra de programacao atual e o status das FIFOs.
- * O comando I (inicializacao) realiza a reinicializacao da comunicacao
 - * em caso de reset do PIC.
- * Para os demais comandos, e esperada a confirmacao 'OK'.
- * Quando a maioria dos comandos e executada, uma resposta do PIC e
 - * esperada. Se a resposta nao chega num certo intervalo de tempo,
 - * o programa julga que ocorreu um erro.

*/

```
#include<stdio.h>
#include<string.h>
#include<dos.h>
#include<conio.h>

/* DEFINICOES */
#define ESPERA 2600000/* No. limite de iteracoes de espera */

/* VARIAVEIS GLOBAIS */
int PORT;           /* Endereco da porta serial escolhida */

/* ROTINAS */
void InicializaPorta(void)
/* Prepara a porta serial para comunicacao */
{
    outp(PORT + 3, 0x00); /* Limpa DLAB - Acesso ao IER          */
    outp(PORT + 1, 0x00); /* Desabilita interrupcoes          */
    outp(PORT + 3, 0x80); /* Seta DLAB - Acesso ao Divisor Latch */
    outp(PORT + 0, 0x0C); /* Set Baud rate - Divisor Latch Low Byte */
    /*          0x03 = 38,400 BPS          */
    /*          0x01 = 115,200 BPS         */
    /*          0x02 = 57,600 BPS          */
    /*          0x06 = 19,200 BPS          */
    /*          -> 0x0C = 9,600 BPS        */
    /*          0x18 = 4,800 BPS          */
    /*          0x30 = 2,400 BPS          */
    outp(PORT + 1, 0x00); /* Set Baud rate - Divisor Latch High Byte */
    outp(PORT + 3, 0x03); /* 8 Bits, Sem paridade, 1 Stop Bit */
    outp(PORT + 2, 0xC7); /* FIFO Control Register           */
    outp(PORT + 4, 0x0B); /* Seta DTR, RTS, e OUT2           */
}

int Espera_Transmissor(void)
/* Espera o buffer de transmissao esvaziar */
{
    long int i;           /* Contador */

```

```

/* Espera ate que o flag Data Ready esteja setado */
for(i=0;i<ESPERA && ((inp(PORT+5)%2)==0;i++);

if(i<ESPERA)
    return 1; /* Transmissor preparado */
else
    return 0; /* Algum erro ocorreu */
}

int Espera_Dado(void)
/* Espera que o dado esteja disponivel para leitura da porta */
{
    long int i; /* Contador */

    for(i=0;i<ESPERA && (inp(PORT+5)%2)==0;i++);

    if (i<ESPERA)
        return 1; /* Dado preparado */
    else
        return 0; /* time out - dado nao chegou */
}

void Recebe_Resposta(void)
/* Recebe uma resposta do PIC segundo as seguintes regras:
 - Uma resposta em ASCII deve ser precedida pelo codigo 0x50 e deve
 se encerrar com o codigo 0x00
 - Uma resposta numerica deve ser precedida pelo codigo 0x4E e pelo
 numero de bytes da resposta
*/
int i;
int flagR;
int word;
int cont;
int resposta[30];

flagR=Espera_Dado();
if(flagR==0)
    printf("\nNao ha resposta\n");
else
{
    word=inp(PORT);
    if(word==0x50)
    {
        for(i=0;word!=0x00&&flagR==1;i++)
        {
            flagR=Espera_Dado();
            word=inp(PORT);
            resposta[i]=word;
        }
        if(flagR==1)
        {
            i=0;
            printf("\n");
            while (resposta[i]!=0x00)
            {
                printf("%c",resposta[i]);
                i++;
            }
            printf("\n");
        }
    }
}

```

```
        }
    else
        printf("\nFormato dos dados recebidos e invalido\n");
/* Do if */
else
if(word==0x4E)
{
    flagR=Espera_Dado();
    if(flagR==0)
        printf("\nFormato dos dados recebidos e invalido\n");
    else
    {
        cont=inp(PORT);
        for(i=0;i<cont&&flagR==1;i++)
        {
            flagR=Espera_Dado();
            resposta[i]=inp(PORT);
        }
        if(flagR==0)
            printf("\nFormato dos dados recebidos e invalido\n");
        else
        {
            printf("\n");
            for(i=0;i<cont;i++)
            {
                if(resposta[i]<16)
                    printf("0"); /* Correcao da impressao */
                printf("%x",resposta[i]);
            }
            printf("\n");
        }
    }
/* Do if */
else
    printf("\nFormato dos dados recebidos e invalido\n");
/* Do else */
/* Da funcao */
void Envia_Mensagem(int mensagem[])
{/* Envia um vetor de tamanho definido ao PIC.
   O tamanho do vetor esta contido na posicao '0'.
   O PIC deve interpretar os dados.
*/
    int tamanho;
    int i;
    int flagR;

    flagR=1;
    tamanho=mensagem[0];
    i=1;
    while((i<=tamanho)&&(flagR==1))
    {
        flagR=Espera_Transmissor();
        outp(PORT,mensagem[i]);
        i++;
    }
    if(tamanho<1)
        printf("\nFormato de dados invalido\n");
    else
        if(flagR==0)
```



```
Envia_Mensagem(mensagem);
Recebe_Resposta();

}

void Read(void)
/* Le as FIFOs e grava num arquivo texto */
{
    int mensagem[2];
    int cont;
    int flag;
    int flag1;
    int flag2;
    int flag3;
    int lsb;
    int msb;
    int word1;
    int word2;
    int word;
    FILE *fp;

    mensagem[0]=1;           /* Tamanho da mensagem */
    mensagem[1]=0x52;        /* Código da letra de comando - R */
    Envia_Mensagem(mensagem);

    /* Abre o arquivo */
    fp=fopen("dados.txt","w");

    cont=0x00;
    flag=1;
    flag1=1;
    /* Loop de leitura */
    while(cont<=0x5000 && flag1==1)
    {

        flag1=1;
        flag2=1;
        flag3=1;
        while(flag1==1&&flag2==1&&flag3==1)
        {
            flag1=Espera_Dado();
            word1=inp(PORT);
            flag2=Espera_Dado();
            word2=inp(PORT);
            if(word1==0x4E && word2==0x02 && flag1==1 && flag2==1)
                flag3=0;
        }

        if(flag3==0)
        {
            flag=Espera_Dado();
            if(flag==1)
            {
                lsb=inp(PORT);
            }
            flag=Espera_Dado();
            if(flag==1 && flag1==1 && flag2==1)
            {
                msb=inp(PORT);
                word=0x100*msb+lsb;
            }
        }
    }
}
```

```
        fprintf(fp,"%d",word);
    }
    fprintf(fp,"\n");
    cont++;
    Espera_Transmissor();
    outp(PORT,0xCC);
}
else
{
    Espera_Transmissor();
    outp(PORT,0xDD);
}
}
/* Fecha o arquivo */
fclose(fp);
}

void Teste(void)
/* Controla o modo de teste */
char ch;

outp(PORT,0x54);
Recebe_Resposta();
for(;ch!=27;)
{
    if(kbhit()) ch=getch();
    if(ch==27)
    {
        outp(PORT,0x5a); /*Mensagem para encerrar o teste*/
        Recebe_Resposta();
    }
}

void verify(void)
/* Verifica palavra de programacao e status das FIFOs, valores de tl, th e TRAINL */
int mensagem[30];

mensagem[0]=1; /* Tamanho da mensagem */
mensagem[1]=0x56; /* Codigo da letra de comando - V */

Envia_Mensagem(mensagem);

printf("\nPalavra de programacao: ");
Recebe_Resposta();

printf("\nStatus das FIFOs: ");
Recebe_Resposta();

}

***** PROGRAMA PRINCIPAL *****/
void main (void)
{
    /* Variaveis */
    char comando[10]; /* Comando do usuario */

```

```

int flag; /* Indicador geral */
int p; /* No. da porta de comunicacao */
int inicio; /* Codigos de inicio */
int inicializado; /* Indica inicializacao da comunicacao */
char ch;

/* Inicializacoes das variaveis */
comando[0]=0;
inicio=0;
ch=0;
inicializado=0;

printf("\n\n Programa de testes da placa AD\n\n");

for(;inicializado==0;) /* Loop de inicializacao */
{
    p=0;
    for(;p!=1 && p!=2 && p!=3 && p!=4;)
    {
        printf("\nPorta de comunicacao (1,2,3,4): ");
        scanf("%d",&p);
    }
    if(p==1) PORT=0x3f8;
    if(p==2) PORT=0x2f8;
    if(p==3) PORT=0x3e8;
    if(p==4) PORT=0x2e8;

    printf("\nEndereco: %x\n",PORT);

    InicializaPorta(); /* Preparacao da porta serial */

    /* Inicializacao da comunicacao */
    Espera_Transmissor();
    outp(PORT,0xAA); /* Envia codigo de inicio */
    flag=1;
    inicializado=0;
    while(flag==1&&inicio!=0xBB)
    {
        flag=Espera_Dado();
        inicio=inp(PORT);
    }
    if(flag==1)
    {
        printf("\nComunicacao OK\n");
        inicializado=1;
    }
    else
        printf("\nFalha na comunicacao\n");
}

/* Fim do loop de inicializacao */

/* Loop Principal */
while((comando[0]!='q')&&(comando[0]!='Q'))
{
    outp(PORT + 2, 0xC7); /* Limpa os FIFO's da porta serial */
    flag=0;
    printf("\n>> "); /* Prompt */
    scanf("%s",comando);
    if((comando[0]=='l')||(comando[0]=='i'))
    {
}

```

```
Espera_Transmissor();
outp(PORT,0xAA); /* Envia codigo de inicio */
flag=1;
inicio=0;
while(flag==1&&inicio!=0xBB)
{
    flag=Espera_Dado();
    inicio=inp(PORT);
}
if(flag==1)
{
    printf("\nComunicacao reinicializada\n");
    inicializado=1;
}
else
    printf("\nFalha na comunicacao\n");
flag=1; /* Seta flag de passagem */
}
if((comando[0]=='F')||(comando[0]=='f'))
{
    setfrequency();
    flag=1; /* Seta flag de passagem */
}
if((comando[0]=='R')||(comando[0]=='r'))
{
    Read(); /* Realiza leitura das FIFOs */
    flag=1; /* Seta flag de passagem */
}
if((comando[0]=='V')||(comando[0]=='v'))
{
    verify(); /* Verifica Status */
    flag=1;
}
if((comando[0]=='G')||(comando[0]=='g'))
{
    locate(); /* Realiza amostragem de dados */
    flag=1;
}
if((comando[0]=='L')||(comando[0]=='l'))
{
    limpar(); /* Limpa FIFOs */
    flag=1;
}

if((comando[0]=='T')||(comando[0]=='t'))
{
    Teste(); /* Inicia modo de teste */
    flag=1; /* Seta flag de passagem */
}

if (comando[0]=='?')
{
    help(); /* Mostra lista de comandos */
    flag=1;
}
if((comando[0]=='Q')||(comando[0]=='q'))
    flag=1;
```

```
if (flag==0) /* Se nao houve nenhum comando valido */
    printf("\nComando inexistente. Digite ? para ajuda\n");
}
/* Fim do while */
} /* Fim do main */
```

Anexo I – Programa de correlação de sinais utilizando a Transformada Rápida de Fourier (FFT)

```
clear all
close all

tam=1/(7000000); % tempo de amostragem utilizado

% sinal de refererencia

% Cria o sinal de referência a partir do sinal de resposta proveniente
% da unidade móvel,
% cuja aquisição foi realizada através da placa AD.

% carrega o arquivo txt criado pelo software de comunicação serial.

load dados1.txt
sinal=dados1';
[n,m]=size(sinal);
cont=1;

% Inversão do bit mais significativo

for cont=1:m
    if sinal(cont)<2048
        sinal(cont)=sinal(cont)+2048;
    else
        sinal(cont)=sinal(cont)-2048;
    end
    cont=cont+1;
end

% Correção de offset e escala
sinal=sinal/4095*2;
sinal=sinal-1;
ref=sinal(12040:12550); % o sinal de referência é obtido visualmente a
                           %partir do sinal de resposta
[n,mr]=size(ref);
ts=0:tam:(m-1)*(tam);
tsr=ts(12040:12550);
plot(tsr,ref,'b');

% dados da placa AD

load dados.txt
sinal=dados';
[n,m]=size(sinal);
cont=1;

% Inversão do bit mais significativo
for cont=1:m
    if sinal(cont)<2048
        sinal(cont)=sinal(cont)+2048;
    else
        sinal(cont)=sinal(cont)-2048;
    end
```

```
cont=cont+1;
end

% Correção de offset e escala
sinal=sinal/4095*2;
sinal=sinal-1;

ts=0:tam:(m-1)*(tam);
figure
plot(ts,sinal,'b');

% realiza correlação

S = fft(sinal, 32*1024); % transformada de fourier do sinal. Usa-se 32 bytes, pois a taxa de amostragem do sinal % amostrado deve ser pelo menos duas vezes maior que a freqüência do sinal original.
R = fft(ref,32*1024);% transformada de fourier do sinal de referência
COR=S .* conj(R); % efetua correlação
cor = ifft(COR); % transformada inversa de Fourier
plot(abs(cor))
acor = abs(cor);
[linha,coluna]=size(acor);
maior(3)=acor(1);

% determinação dos três maiores pontos da curva

for i=1:coluna
    if acor(i)>maior(3)
        maior(3)=acor(i);
        ponto(1)=i*tam;
    else
        if acor(i)>maior(2);
            maior(2)=acor(i);
            ponto(2)=i*tam;
        else
            if acor(i)>maior(1);
                maior(1)=acor(i);
                ponto(3)=i*tam;
            end
        end
    end
end
end

p=polyfit(ponto,maior,2); % realiza a interpolação de segunda ordem % dos três maiores pontos
ponto_corr=-p(2)/(2*p(1));%determinação do máximo da curva interpolada

% cálculo da distância, realizando os descontos necessários devido aos % atrasos existentes nos microcontroladores das unidades

vsound=1400;
distancia=(vsound*(ponto_corr-(4232-788)*(1/5000000))/2
```

Referências Bibliográficas

1. Kino, Gordon S. – ***Acoustic waves: Devices, imaging and analog signal processing*** - Prentice-Hall – 1987
2. Kinsler, Lawrence E. [et al] - ***Fundamentals of Acoustics*** - 3rd ed. - New York - Wyley - 1982
3. ***Datasheet da família pic16cXX*** – fornecido pela Microchip Technology - Contém detalhes do uso do PIC e de sua programação.
4. Flannery, B. P.; Press, W. H.; Teukolsky, S. A.; Vetterling, W. T. ***Numerical Recipes in C: The Art of Scientific Computing***. 2 ed. Cambridge.
5. Malvino A. P. – ***Eletrônica***, Makron Books, 4^a edição, 1997, volumes I e II.
6. Shorrock, G.; Woodward, B. A Multiple Function Sonar Rangefinder for Divers. ***Ultrasonics***, p. 16-24, Jan. 1984.

Bibliografia Recomendada

1. ***Manual de instruções do compilador Pacific C*** – download do site da internet www.htsoft.com
2. ***Manual de instruções do MPLAB*** – fornecido pela Microchip Technology
3. De Sousa, D. J. - ***Desbravando o PIC***, - Erica, 2^a edição, 2000.